

Tehniium

REVISTĂ LUNARĂ EDITATĂ DE C.G. AL U.T.C.

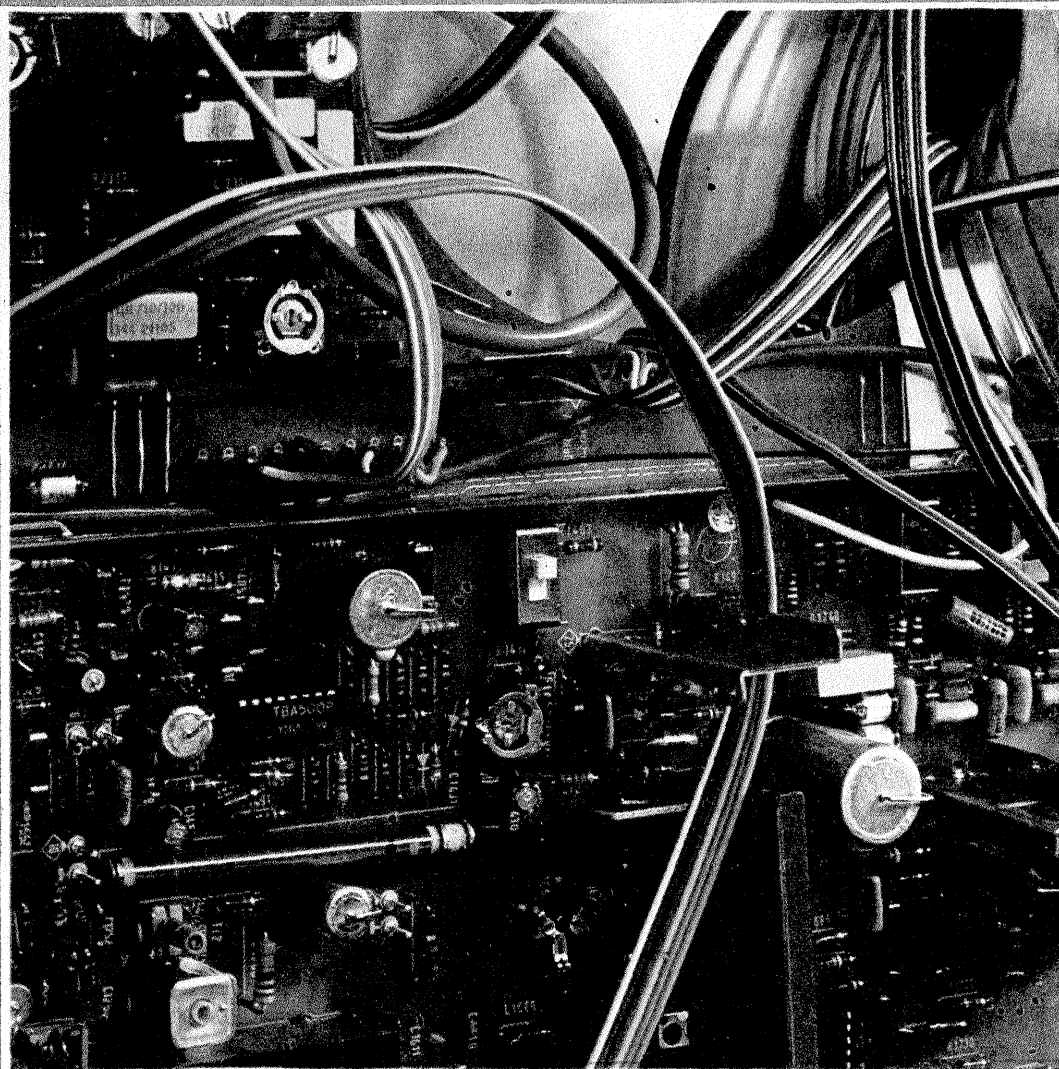
ANUL XIX — NR. 220

3/89

CONSTRUCȚII PENTRU AMATORI

SUMAR

- AUTODOTARE** pag. 2—3
Receptor
- INIȚIERE ÎN RADIOELECTRONICĂ** pag. 4—5
Alimentator pentru trenulețe electrice
Arbitru electronic
- CQ-YO** pag. 6—7
Extensii hard/soft pentru L/B 881
Filtru CW-SSB
- AUTOMATIZĂRI** pag. 8—9
Teleprogramator pentru TV-ELCROM
Convertor analogic-numeric
Telecomandă pentru magnetofonul ROSTOV-105
- HI-FI** pag. 10—11
Egalizor parametric
Conservarea înregistrărilor magnetice
- TV-DX** pag. 12—13
Recepția în banda SHF
- INFORMATICĂ** pag. 14—15
Calculatorul electronic între două generații
Interfață ZX-printer pentru HC-85
- ATELIER** pag. 16—17
Aprindere electronică cu senzor magnetic
Etaje RF de putere
- CITITORII RECOMANDĂ** pag. 18—19
Sursă stabilizată
Zar electronic
Centrifugă de laborator
TRABANT: pornirea electronică
Protejarea pieselor contra coroziunii
- FOTOTEHNICĂ** pag. 20—21
Cum este construit MINOLTA 7000
Rețete de virare
- REVISTA REVISTELOR** pag. 22
Oscilator
Semnalizator
TBA820
PA-250W
Regulator
- LA CEREREA CITITORILOR** pag. 23
Antenă TV FIF-UIF
Audiție în căști
- SERVICE** pag. 24
Casetofonul B 303



RECEPȚIA ÎN BANDA SHF

(CITIȚI ÎN PAG. 12—13)

RECEPTOR

I. DUMITRU

Practicarea unui sport tehnico-aplicativ de genul radioamatorismului impune utilizarea unei aparaturi electronice, adecvate scopului, care de cele mai multe ori se realizează chiar de radioamatori. Cluburilor din diverse instituții le oferim schemele de principiu ale unui receptor de trafic apt a lucra în modurile AM, CW și SSB.

Principiul de funcționare este următorul: un receptor de bază ce lucrează între 5 și 5,5 MHz are atașate un mixer, un amplificator IF de 455 kHz (sau 500 kHz), un etaj detector și amplificatorul de audiofrecvență.

La acest receptor se cuplează un convertor prevăzut cu un oscilator comandat cu cuarț și care transpune benzile de radioamatori în banda 5—5,5 MHz.

Benzile recepționate sînt: 3,5—4 MHz; 7—7,5 MHz; 14—14,5 MHz; 21—21,5 MHz; 28—28,5 MHz și 28,5—29 MHz. Schema bloc a receptorului complet este prezentată în figura 1.

Primul etaj îl formează convertorul receptorului de 5—5,5 MHz începînd cu mixerul care are ca element principal un tranzistor MOS-FET tip 40673.

La acest mixer semnalul este aplicat prin bobinele L1—L2 la o poartă, iar semnalul de la oscilatorul VFO (5,455—5,955 MHz) la cealaltă poartă. Frecvența intermediară rezultată este de 455 kHz și se aplică circuitului MF1 și apoi filtrului mecanic. Prin mici modificări ale oscilatorului se poate utiliza și un filtru de 500 kHz de tipul EMF500. Urmează apoi primul amplificator de frecvență intermediară și un circuit integrat de tip CA3005. Acest etaj este supus controlului automat al amplificării prin tensiunea ce se aplică la terminalul 12. Următorul etaj IF este un circuit CA3012 nesupus controlului amplificării (fig. 2). Semnalul IF este disponibil la ieșirea transformatorului MF3 și aplicat detectorului de produs și etajului AGC prin intermediul unui etaj cu tranzistor FET (fig. 3).

Etajul detector comportă două tranzistoare BC108. Din colectorul celor două tranzistoare, printr-un filtru trece-jos, semnalul AF rezultat este aplicat preamplificatorului cu BC107 și apoi circuitului integrat TAA611A.

La recepția AM comutatorul întrerupe alimentarea etajului BFO și pune la masă baza unui tranzistor din modulator.

Oscilatorul BFO are un tranzistor BC108 și un transformator IF-455 kHz. Frecvența sa este reglabilă cu ajutorul diodei varicap (D) de tipul BB109 ce primește tensiune de 9 V de pe potențiometrul de 22 kΩ. Amplitudinea semnalului BFO care se aplică detectorului este stabilită din potențiometrul de 10 kΩ.

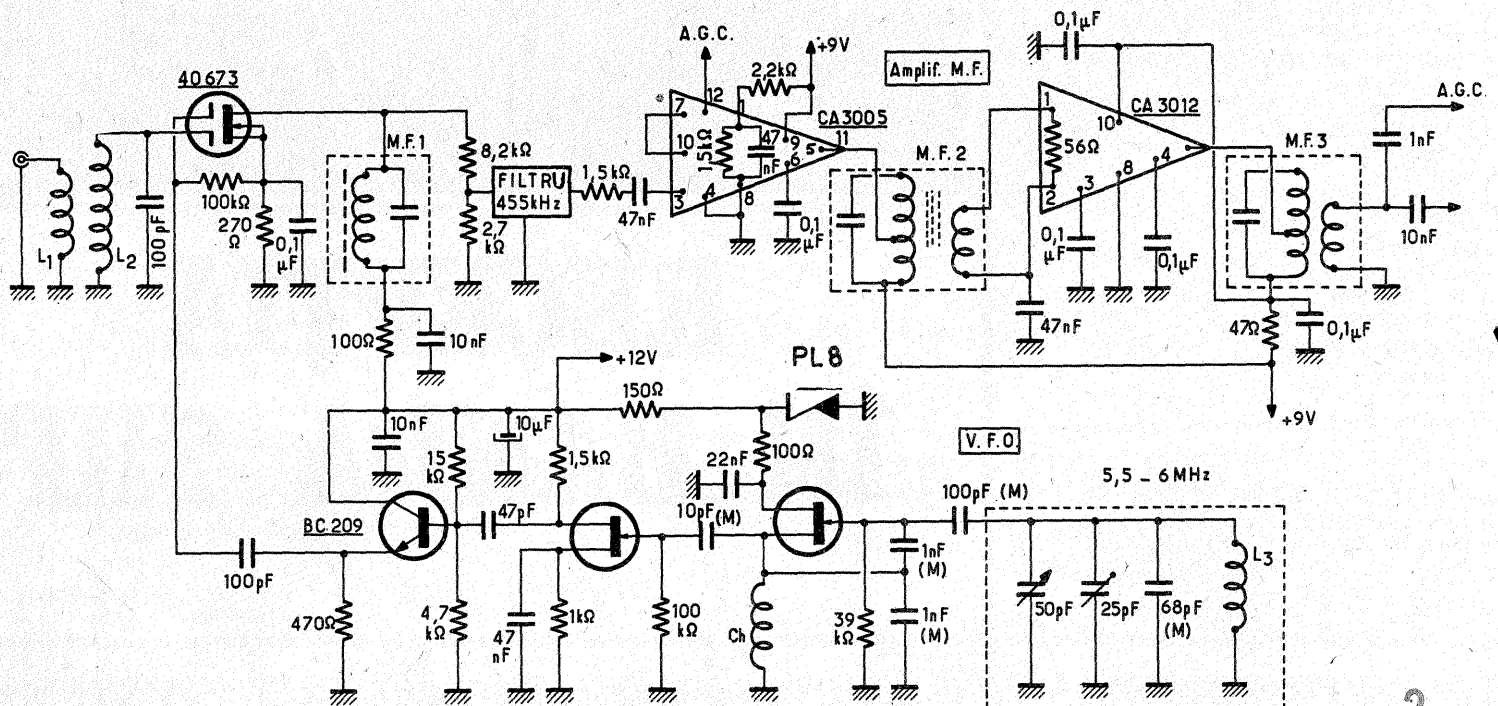
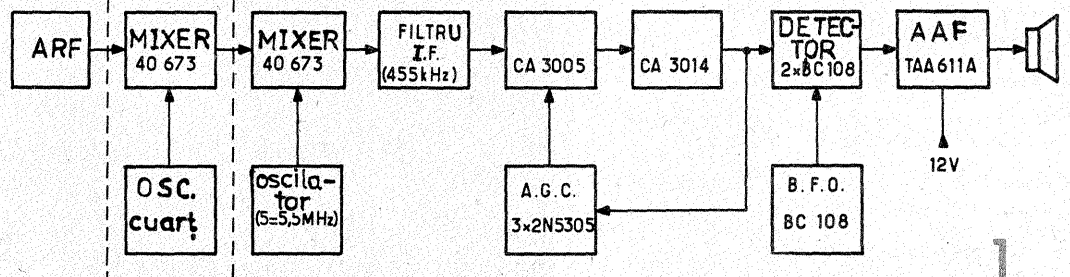
Etajul VFO este o parte esențială

TABELUL 1

BOBINA	BANDA MHz	SPIRE	DIAMETRUL mm	CuEm Ø mm	LUNGIME mm	CUPLAJ SPIRE	CAPACITATE pF
L5 = L10	3,5	23	18	0,4	9,5	2	200
L6 = L11	7	16	18	0,5	16	1 1/2	75
L7 = L12	14	12	18	0,8	19	1	
L8 = L13	21	10	12	0,5	10	1	
L9 = L14	28,5	8	12	0,5	8	1	

TABELUL 2

BOBINA	BANDA MHz	SPIRE	DIAMETRUL CARCASEI	CuEm Ø mm	LUNGIME mm	CUPLAJ SPIRE	CAPACITATE pF	CRISTAL MHz
L17	3,5	18	8	0,5	9	L22 = 3	150	9
L18	14 MHz	15	8	0,5	8	L23 = 2	75	12,5
L19	7 MHz	14	8	0,6	9	L24 = 1	50	16
L20	21 MHz	12	8	0,8	10	L25 = 1	33	23
L21	28,5 MHz	12	8	0,8	10	L26 = 1	20	23,5



a receptorului și acest etaj este echipat cu un tranzistor cu efect de câmp BF256 în montaj Colpitts. Alimentarea cu tensiune a acestui etaj este stabilizată, iar condensatoarele sînt cu dielectric mică (M). Bobina L3 are 27 de spire din CuEm 0,6, cu diametrul 10 mm, bobinate pe o carcasă fără miez magnetic. După oscilator urmează două etaje, unul cu BF254 și celălalt cu BC209. Acordul oscilatorului se face cu un condensator de 50 pF.

Oscilatorul trebuie să fie realizat rigid mecanic cu tensiunea bine stabilizată de o diodă Zener PL8 selecționată pentru tensiunea 8,2–8,4 V.

Convertorul are rolul de a transpune toate frecvențele (3,5–30 MHz) în ecartul de intrare 5–5,5 MHz al receptorului propriu-zis.

Schema electrică a acestui convertor este prezentată în figura 5. Aici preamplificatorul are un tranzistor FET (BF256) cu circuite acordate în drenă.

Semnalul amplificat este apoi aplicat mixerului cu tranzistorul 40673 (MOSFET dublă poartă).

Tot la acest mixer sosesc și semnalele de la oscilator local pilotat cu cuarț. În acest oscilator sînt montate 5 cristale de cuarț și tranzistorul FET BF254.

De remarcat că există un singur cristal pentru benzile de 3,5 MHz și 14 MHz.

Etajul amplificator RF este de tipul cu poarta la masă, pe sursă aplicînd semnalul de la antenă printr-un filtru oprește-banda acordat în mijlocul benzii de 5–5,5 MHz. Cuplajul între bobinele din drenă și cele din poarta mixerului se face inductiv printr-o buclă de cuplaj. Pentru simplificarea desenului nu toate bobinele au fost figurate. Transformatorul IF de la ieșirea mixerului are 42 de spire din CuEm 0,25 bobinate pe o carcasă cu diametrul de 8 mm cu miez de ferită; cuplajul L16 are 6 spire bobinate peste L15.

Oscilatorul pilotat cu cuarț este alimentat cu tensiune stabilizată de 9 V.

Pentru benzile de 3,5 și 14 MHz cristalul are frecvența de rezonanță de 9 MHz.

Tensiunea de la oscilator este aplicată unui etaj separator aperiodic și apoi unui etaj repetor pe emitor.

Amplitudinea semnalului de la oscilator aplicată pe poarta mixerului este de 1,5–2 V.

În figura 4 este prezentată schema părții AGC și S-metru. De la ieșirea amplificatorului IF (CA3012) o parte a semnalului de 455 kHz este aplicată etajului Darlington 2N5305. Valoarea tensiunii de intrare este controlată cu un potențiomtru de 10 kΩ și redresată cu două diode OA91 ce au la ieșire condensatoare de diverse valori ca să se obțină diverse constante de timp. Tensiunea redresată este aplicată la două amplificatoare de curent continuu.

De la primul amplificator se ia tensiunea AGC pentru CA3005. Al doilea amplificator de curent continuu servește pentru comanda S-metrului.

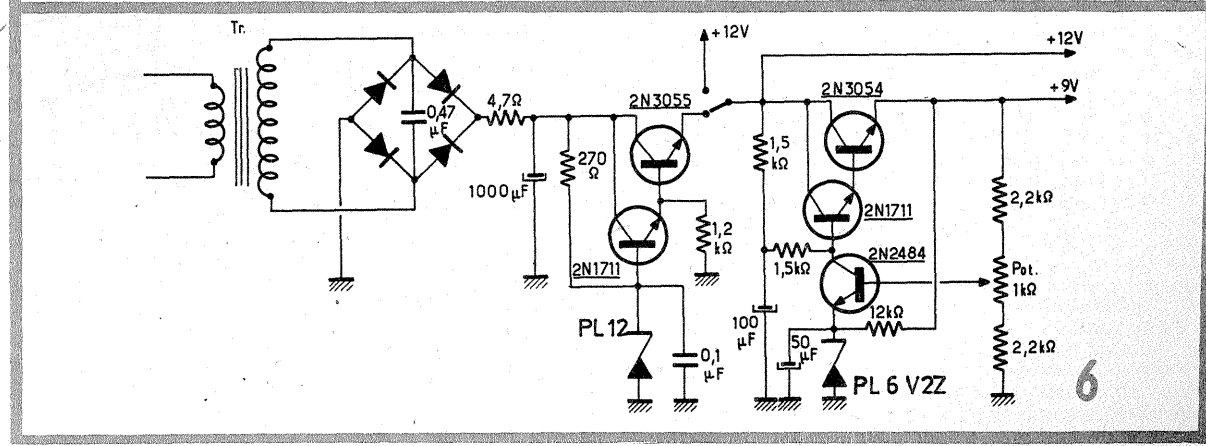
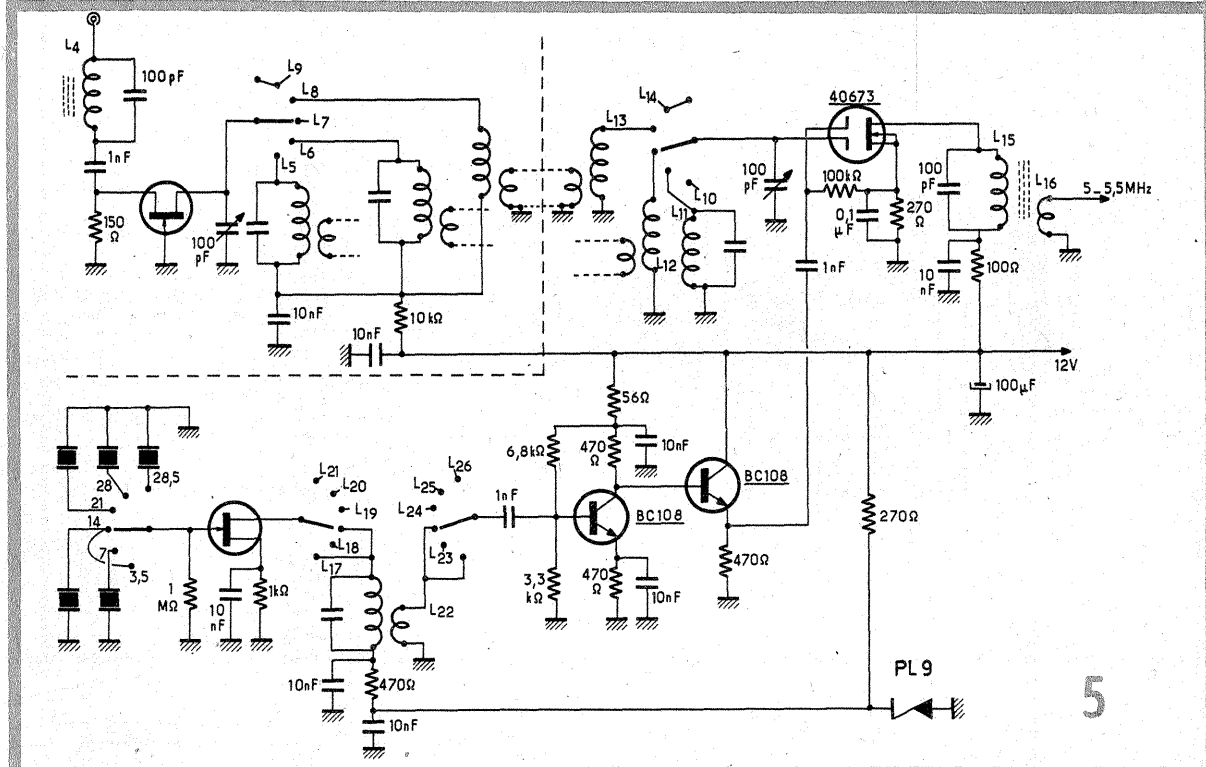
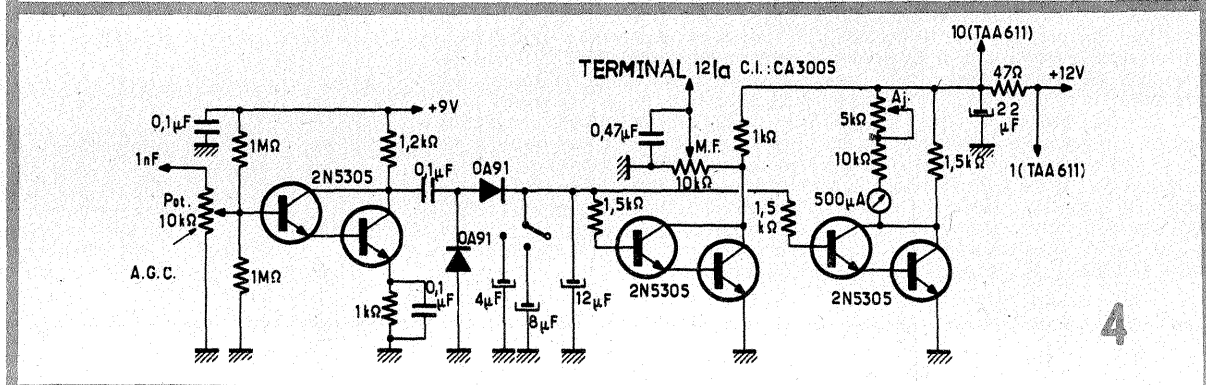
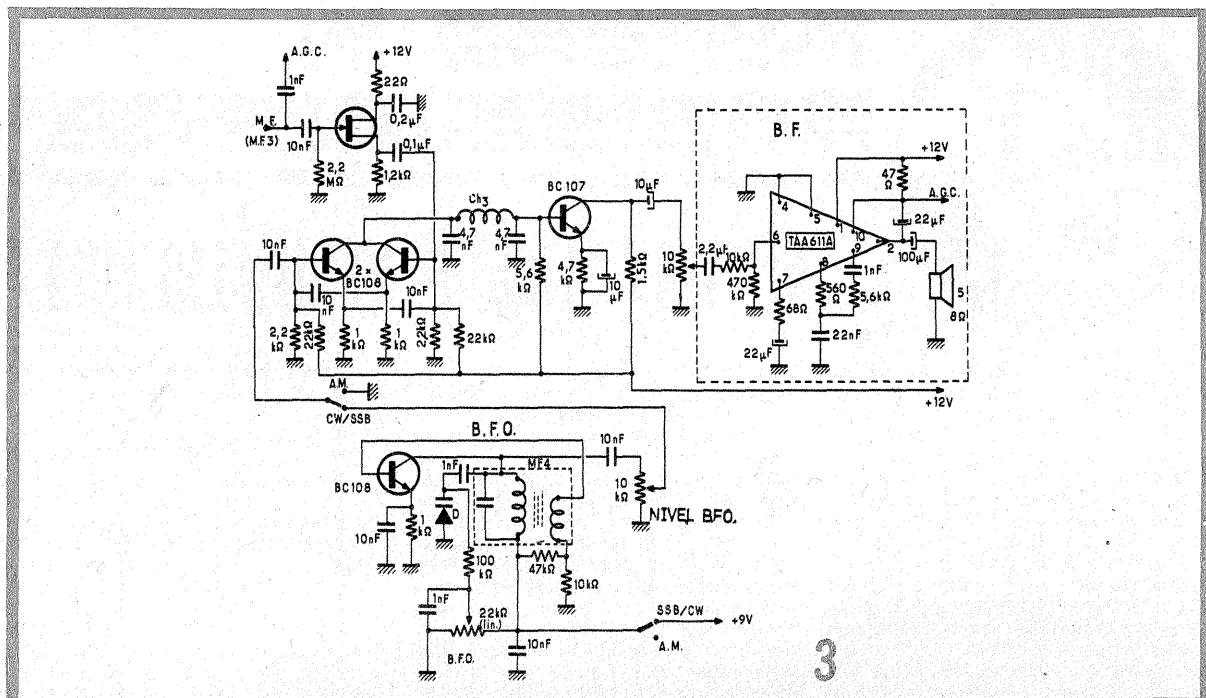
Alăturat se prezintă tabele cu valorile și caracteristicile bobinelor de RF și de la oscilator cu cuarț. Bobinele L2 = L4 = L15 au câte 42 de spire CuEm 0,2 bobinate pe carcasă cu diametrul de 8 mm, prevăzută cu miez magnetic.

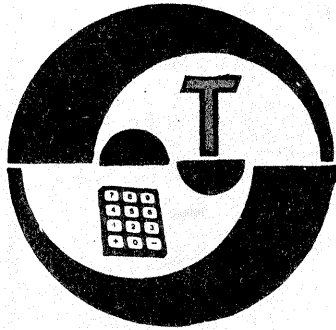
Bobinele L1 = L16 au câte 6 spire din fir de cupru 0,2–0,25 izolat cu plastic și bobinate peste L2, respectiv peste L15.

Elementele notate Ch sînt șocuri de radiofrecvență.

Alimentatorul conține un transformator care în secundar furnizează o tensiune de 12–15 V. Această tensiune este aplicată unei punți redresoare 3PM 0,5, pe condensatorul de 1000 μF tensiunea ajungînd la 16–20 V.

Primul stabilizator electronic furnizează 12 V. Tensiunea din baza tranzistorului 2N1711 este stabilizată cu o diodă Zener PL12 (fig. 6).





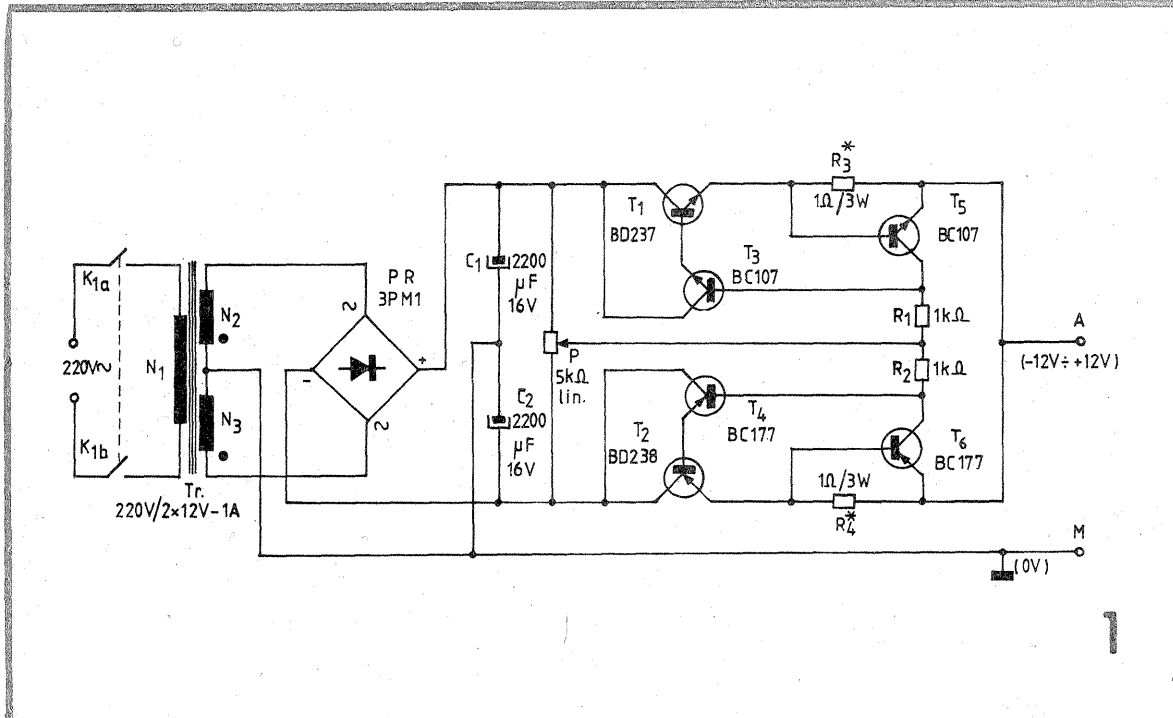
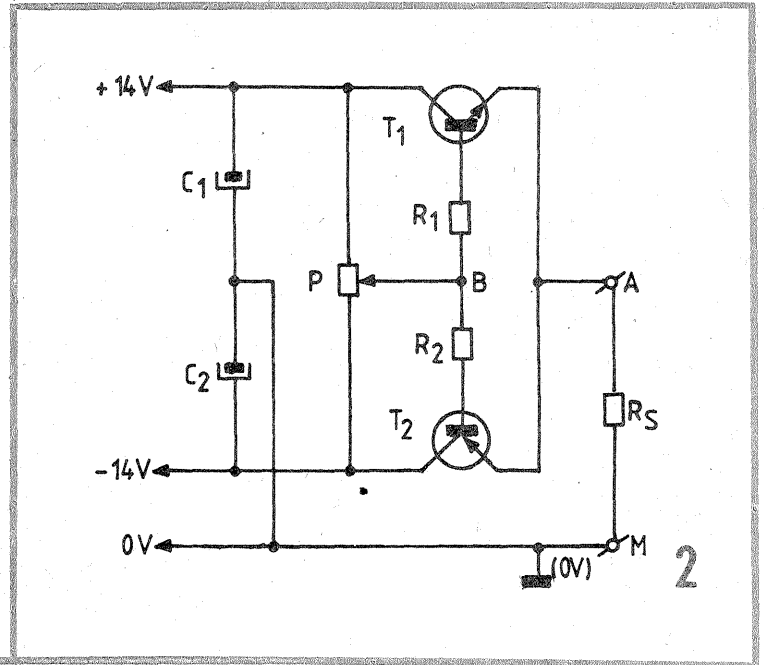
INIȚIERE ÎN RADIOELECTRONICĂ

ALIMENTATOR PENTRU TRENULEȚE ELECTRICE

Pasionații rețelelor de căi ferate mai devreme sau mai târziu, la concluzia că trebuie să-și construiască un alimentator special destinat acestui scop. Alimentarea trenulețelor electrice se face, de regulă, cu tensiune continuă orientativ între 6 V și 12 V, curentul maxim consumat menținându-se sub 1 A. Ea poate fi asigurată provizoriu de la un redresor simplu (transformator de rețea cu înfășurare secundară adecvată, punte redresoare și condensator de filtraj), sau chiar de la un set de baterii înseriate. Aceste soluții improvizate prezintă însă multe neajunsuri practice, printre care menționăm: dificultatea introducerii unui reglaj continuu de viteză (tensiune); necesitatea unui comutator suplimentar pentru inversarea sensului de rulare (inversarea polarității la șine); riscul permanent al deteriorării sursei în caz de scurtcircuitare accidentală a șinelor (destul de probabilă, de fapt, prin căderea locomotivei la curbe, la denivelări pe traseu etc.); scăderea supărătoare a vitezei

țiometrului. P. „Prețul” acestui avantaj incontestabil îl constituie dublarea numărului de componente din blocul regulator de tensiune plus protecție la scurtcircuit, ca și a numărului de spire din secundarul transformatorului de rețea.

După cum se observă, montajul folosește o schemă de redresare bialternantă cu punte de diode (PR) și transformator cu priză mediană în secundar, Tr. Cele două înfășurări secundare N_2 și N_3 , identice și bobinate în același sens, se vor dimensiona fiecare pentru cca 10–12 V, la un curent maxim de cel puțin 1 A. Punctul median se leagă la masă și va constitui borna de ieșire de referință, M. Cele două tensiuni redresate sînt filtrate cu condensatoarele C_1 și C_2 , obținându-se în plusul lui C_1 o tensiune pozitivă de cca +14 V față de masă și, respectiv, în minusul lui C_2 o tensiune de cca -14 V față de masă. Valorile exacte ale acestor tensiuni depind de numerele de spire N_2 și N_3 din secundar, ca și de căderile de pe diodele punții.



tranzistoare nu poate conduce, deci tensiunea la bornele consumatorului R_S (conectat între A și M) este nulă. Într-adevăr, prin R_S ambele emitoare sînt puse la masă, iar bazele tranzistoarelor sînt și ele la masă în această situație.

Să presupunem acum că am deplasat cursorul potențiometrului „în sus” față de poziția mediană. Punctul B primește astfel potențial pozitiv în raport cu masa, ceea ce permite intrarea în conducție a tranzistorului T_1 , de tip npn (baza sa devine „mai pozitivă” ca emitorul). Tranzistorul T_2 rămîne în continuare blocat deoarece, fiind de tip pnp, necesită pentru intrarea în conducție o polarizare negativă a bazei în raport cu emitorul. În consecință, la ieșire se obține potențial pozitiv în raport cu masa, mai precis potențialul punctului B „reperat” de tranzistorul T_1 , diminuat puțin prin căderea de cca 0,65 V pe joncțiunea sa bază-emitor.

Pentru o deplasare a cursorului „în jos” față de poziția mediană, lucrurile se inversează, de data aceasta intrînd în conducție T_2 și

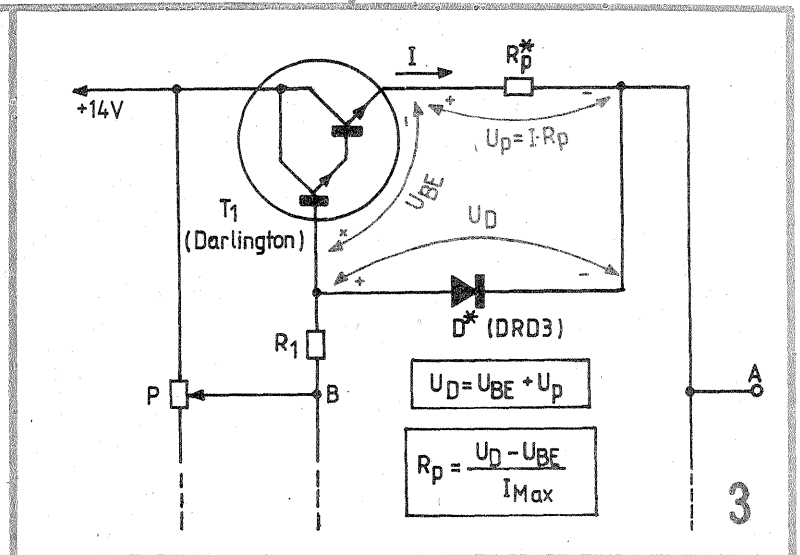
la încărcarea suplimentară a garniturii sau atunci cînd sursei improvizate i se mai încredințează și alimentarea unor accesorii procurate sau confecționate ulterior. Nici nu mai menționăm aici inconvenientele bine cunoscute ale soluției de alimentare de la baterii.

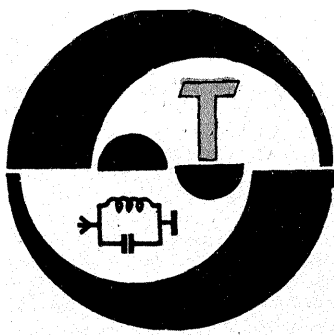
Așadar, celor care doresc să depășească etapa provizoriei le propunem alături de schema special concepută pentru alimentarea trenulețelor electrice (fig. 1), preluată cu unele modificări după revista „Radio” (U.R.S.S.) nr. 7/1988 și care vine să completeze numeroasele variante prezentate de revista „Tehnum” pe această temă.

Particularitatea schemei constă în faptul că elimină comutatorul de inversare a sensului (polarității), asigurînd această funcție — simultan cu reglarea continuă a vitezei — prin manevrarea unui singur poten-

Pentru a urmări mai ușor funcționarea montajului, în figura 2 s-a produs simplificat blocul celor două regulatoare „complementare”, renunțînd deocamdată la elementele care asigură protecția la scurtcircuit (R_3 — T_5 , respectiv R_4 — T_6). De asemenea, grupurile Darlington complementare (T_1 — T_3 și T_2 — T_4) au fost figurate ca tranzistoare simple, T_1 și T_2 .

Tensiunea totală obținută prin însumarea celor două tensiuni de +14 V și -14 V este aplicată la bornele potențiometrului liniar P, din al cărui cursor se polarizează bazele tranzistoarelor T_1 și T_2 , prin intermediul rezistențelor de limitare R_1 și R_2 . Atunci cînd cursorul lui P se află exact în mijloc, potențialul punctului B este nul în raport cu masa. Cum emitoarele lui T_1 și T_2 sînt legate împreună la borna de ieșire A, observăm că nici unul din





EXTENSII HARD/SOFT PENTRU L/B 881

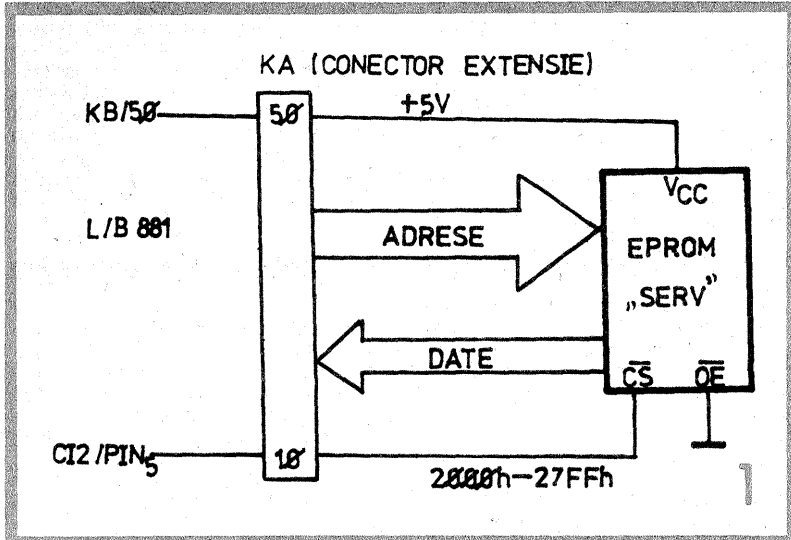
Ing. IULIUS SÜLI, YOZIS

Destul de răspândit în rândul radioamatorilor, microcalculatorul L/B 881 oferă interesante utilități în activitatea specific radioamatoricească și nu numai aici.

În mod normal salvarea și încărcarea programelor se fac pe/de pe casetă la o viteză de cca 2000 bauds cu o fiabilitate destul de ridicată. Transferul unui kiloByte durează cca 13 secunde, timp care în situații specifice (trafic radio, con-

o constituie existența decodurului de EPROM-uri (selector) notat cu C12 (CDB442).

Va trebui deci să aducem la conectorul KA semnalele de selectare pentru activarea funcției CS la EPROM-uri și tensiunea de alimentare a acestora de +5 V. Practic, pentru extensia cu un EPROM de 2 kByte (2716, K573RF2) se va face conexiunea de la pinul 5 al C12 și contactul 10 de la KA și contactul



cursuri, manevrarea antenelor, în timp real ș.a.) poate deveni prohibitiv.

O soluție comodă pentru evitarea reincărcării repetate a programelor care sînt des utilizate o reprezintă transferarea acestora în EPROM-uri montate ca o extensie a memoriei realizată peste conectorul de extensie KA.

Analizînd planul de alocare a memoriei în varianta folosirii sistemului de operare clasic Sys VI. 6, care ocupă 8 kByte de la adresa 0h în sus, spațiul de la adresa 2000h la 3fffh potînd fi folosit pentru EPROM-urile utilizatorului. O facilitate în plus

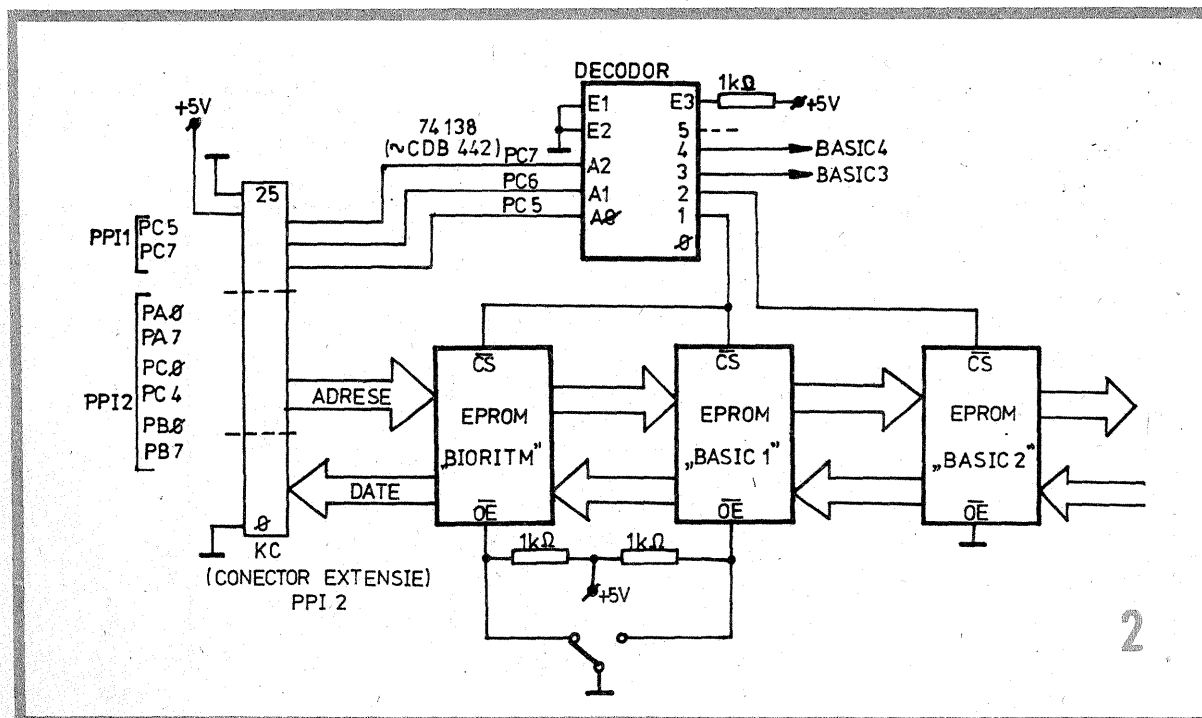
50 de la conectorul KB la contactul 50 de la conectorul de placă KA.

EPROM-ul se montează pe o placă de circuit imprimat, care, la rîndul ei, va fi montată pe o priză multiplă corespunzătoare cu conectorul KA. În situația cînd există montat conectorul extern BUS, se va decupla priza multiplă a acestuia de pe KA, în locul ei cuplîndu-se priza de extensie cu EPROM-ul.

Menționez că modificările făcute nu afectează electronica plăcii.

În acest EPROM (2000h — 27ffh) se pot încărcă și eventuale programe de deservire gen SERV (disponibil pe casetă), care să asi-

f600	cd da f6 21 cc f7 cd d5 02 21 4e f7 cd d0 f6 c3
f610	7c f6 21 92 f7 cd d0 f6 c3 9e f6 3e 82 d3 73 0e
f620	08 3e 01 32 e6 f7 cd 62 f6 11 00 00 2a e2 f7 7a
f630	07 07 07 07 d3 72 7b d3 70 db 71 77 13 23 7b fe
f640	00 c2 2f f6 0d c2 2f f6 0e 08 3a e4 f7 3d 3d 32
f650	e4 f7 ca bf f6 3a e6 f7 3c 32 e6 f7 cd 62 f6 c3
f660	2f f6 e5 21 76 f6 23 3d c2 66 f6 7e 07 07 07 07
f670	d3 62 cd 7d 00 e1 c9 02 04 06 08 ff 3e 03 32 e5
f680	f7 06 02 cd 07 f7 7d 21 77 f6 06 04 be ca 9e f6
f690	23 05 c2 8c f6 c3 00 f6 32 e4 f7 c3 12 f6 3e 05
f6a0	32 e5 f7 06 04 cd 07 f7 22 e2 f7 c3 1b f6 04 2a
f6b0	35 ff 2b 22 35 ff 7e fe 3a c8 36 20 c3 07 f7 21
f6c0	b4 f7 cd 4e 00 3e 01 32 0b ff cd db 01 c3 7b f6
f6d0	7e b7 c8 cd cd 01 23 c3 d0 f6 cd ac 01 cd 9e 01
f6e0	cd 45 00 c9 1a cd 1b 02 fe 2c c0 13 c3 e4 f6 21
f6f0	00 00 44 cd e4 f6 13 fe 2c c8 cd 63 00 d8 29 29
f700	29 29 4f 09 c3 f3 f6 cd db 01 fe 13 ca 7b f6 cd
f710	1b 02 fe 30 d2 22 f7 fe 08 ca ae f6 cd 7d 00 c3
f720	07 f7 fe 47 d2 1c f7 cd cd 01 05 c2 07 f7 cd db
f730	01 fe 08 ca 19 f7 fe 2c c2 2e f7 cd cd 01 2a 35
f740	ff 3a e5 f7 2b 3d c2 44 f7 eb cd ef f6 c9 0d 0a
f750	20 20 20 20 54 72 61 6e 73 66 65 72 20 64 65 6c
f760	61 2e 2e 2e 45 58 54 45 4e 53 49 45 2e 2e 2e 0a
f770	0d 20 4e 75 6d 61 72 20 64 65 20 4b 42 79 74 65
f780	20 20 20 28 30 32 2c 30 34 2c 2e 2e 30 38 29 20
f790	3a 00 0d 20 41 64 72 65 73 61 20 52 41 4d 2d 73
f7a0	74 61 72 74 20 28 34 30 30 30 68 20 26 20 75 70
f7b0	29 20 3a 00 20 73 20 66 20 69 20 72 20 73 20 69
f7c0	20 74 20 2e 2e 2e 43 48 41 20 21 00 20 20 20 20
f7d0	20 20 20 20 20 20 20 20 20 20 62 79 20 79 6f 32 69
f7e0	73 00 ff ff ff ff ff ff ff ff ff ff ff ff ff ff
f7f0	ff ff ff ff ff ff ff ff ff ff ff ff ff ff ff ff



publicat în revista „Radio“ nr. 1, 2 și 3 din 1985 și adaptat pentru L/B 881, având în această formă cca 8 kByte, folosesc o cartelă cu 4 + 1 EPROM-uri 2716 (4 pentru BASIC și 1 pentru BIORITM), fiind prevăzută și o selectare manuală cu un comutator montat chiar pe cartelă.

Schema-bloc a configurației hardware este prezentată în figura 2.

Conectarea între L/B 881 și cartelă se face prin interfața paralelă notată cu PPI2 (8255) pentru transferul propriu-zis și prin PPI1 (8255) portul C (PC4 — PC7) pentru selectare.

Alocarea porturilor se face astfel (PPI2):

— generarea adreselor: PA0 la PA7 și PC0 la PC4;

— transferul datelor: PB0 la PB7.

Programul de transfer EXTENS permite selectarea a maximum 8 EPROM-uri; varianta de față selectează prin soft 4 EPROM-uri 2716.

Realizarea practică presupune existența pe placa L/B 881 a C146, adică PPI2, și a unui conector de extensie peste portul paralel opțional (derivat din conectorul de placă KC). Acest conector se recomandă a fi montat pe peretele lateral stâng al cutiei microcalculatorului și va trebui să aibă minimum 25 de contacte (11 pentru adrese, 8 la date, 3 la selectare și 3 la alimentare — 2 pentru masă și 1 pentru +5 V). Priza conectorului se montează pe cutie, iar fișa conectorului pe cartela de EPROM-uri. Este recomandabil ca

EPROM-urile să fie montate pe socluri de o calitate cât mai bună.

Cablarea cartelei se poate face fie prin wrapping, fie cu sirmă de conexiune de 0,25—0,30 mm, izolată cu masă plastică termorezistentă.

Softul aferent EXTENS este prezentat alăturat sub formă de cod obiect în două blocuri de 256 Byte. Lansarea se face cu comanda gf600 (cr), apoi programul solicită introducerea numărului de kByte de transferat (02 la 08) și a adresei de start din RAM unde se dorește transferarea (în hexa).

Terminatorul parametrilor introduși este virgula (,) și nu (cr).

Transferul celor 8 kByte durează cca o secundă (inclusiv cele 4 sem-

nale sonore...), reincărcarea făcându-se rapid și fiabil.

Consumul cartelei este minim, deoarece EPROM-urile consumă semnificativ numai când sînt selectate, unicul consumator al cartelei rămînînd circuitul integrat decodor.

Programul EXTENS permite transferarea datelor în RAM numai în intervalul de adrese 4000h la f5ffh și asta numai în pași întregi de cite 2 kByte.

Desigur, varianta de față poate fi extinsă, cu modificările de rigoare în hard și soft, și la o cartelă echipată cu EPROM-uri de 4 kByte (2732); capacitatea de transfer se dublează, făcînd posibilă și încărcarea rapidă a BASIC-ului extins L/B 881.

FILTRU CW-SSB

Student BOGDAN ANDRONIC, YO3-2122 BU

Calitatea semnalelor recepționate în traficul de radioamator se îmbunătățește în mare măsură și prin prelucrarea adecvată a acestora în domeniul audio.

Schema propusă în figura 1 conține două filtre separate pentru emisiuni CW și SSB urmate de un compresor de dinamică ALC.

Filtrul pentru SSB este realizat cu două celule elementare de filtru activ (FTJ) cu caracteristică de tip Butterworth de ordinul doi, conectate în cascadă (AO1—AO2). Valorile componentelor au fost calculate pentru o frecvență de tăiere $f_c = 3$ kHz, considerînd un factor de calitate $Q = 0,707$. Din rapoartele R2/R1 și R8/R7 rezultă că acest etaj amplifică suplimentar semnalul filtrat cu 6 dB (de două ori) pentru a compensa atenuarea produsă de rezistențele R28 și R31.

Apoi semnalul se aplică filtrului de CW (FTB) realizat cu două celule de amplificator neinversor, avînd ca buclă de reacție o rețea dublu T, care are proprietatea de a-și mări foarte

mult impedanța la frecvența proprie (AO3—AO4). Valorile componentelor corespund unei frecvențe centrale $f = 1$ kHz, constanta de rețea fiind $K = 0,5$. Pentru frecvența de 800 Hz valorile componentelor se înlocuiesc astfel: $R13 = R14 = R20 = R21 = 2$ k Ω și $R15 = R22 = 1$ k Ω . Rezistențele R9 și R16 compensează amplificarea foarte mare care apare la frecvența centrală.

În continuare semnalul pătrunde prin rezistorul R23 în etajul ALC în care este redresat cu dublare de tensiune, filtrat și aplicat bazei tranzistorului T, ceea ce are ca efect modificarea rezistenței sale dintre emitor și colector (REC) în funcție de mărirea acestui semnal.

Din schemă se observă că amplitudinea semnalului la borna D depinde de raportul R28/REC. Astfel, semnalele slabe vor fi culese practic neatenuate (tranzistorul „nu se deschide“), pe cînd semnalele puternice vor fi șuntate la masă de REC, care se micșorează corespunzător.

Designul, reglajul automat al amplificării se poate face și în etajul de FI prin exploatarea fenomenului arătat în cadrul acestui etaj (de exemplu, la un tranzistor în montaj EC avînd baza polarizată cu divizor rezistiv, conexiunea EC din ALC se va monta în paralel cu rezistorul dintre bază și masă etc.).

Pragul de la care începe limitarea se stabilește cu potențiometrul R29 montat pe panoul frontal.

Dacă se respectă strict valorile componentelor, rețelele dublu T (în special) introduc corecții foarte puternice, iar unele exemplare de amplificatoare operaționale pot intra în autooscilație. Dacă se constată această tendință, se intervine prin ușoara dezechilibrare (amorsare) a rețelilor prin mărirea valorii rezistențelor R15 și R22 spre 1 k Ω , iar pentru $f = 800$ Hz spre 1,5 k Ω .

Uneori este necesar ca C23 să fie șuntat cu un rezistor cu valoarea de cîteva megaohmi.

Rezultate foarte bune se obțin prin înlocuirea amplificatoarelor operaționale cu cinci exemplare individuale mai performante (LM108.

ROB3100 etc.), dar gabaritul montajului crește corespunzător.

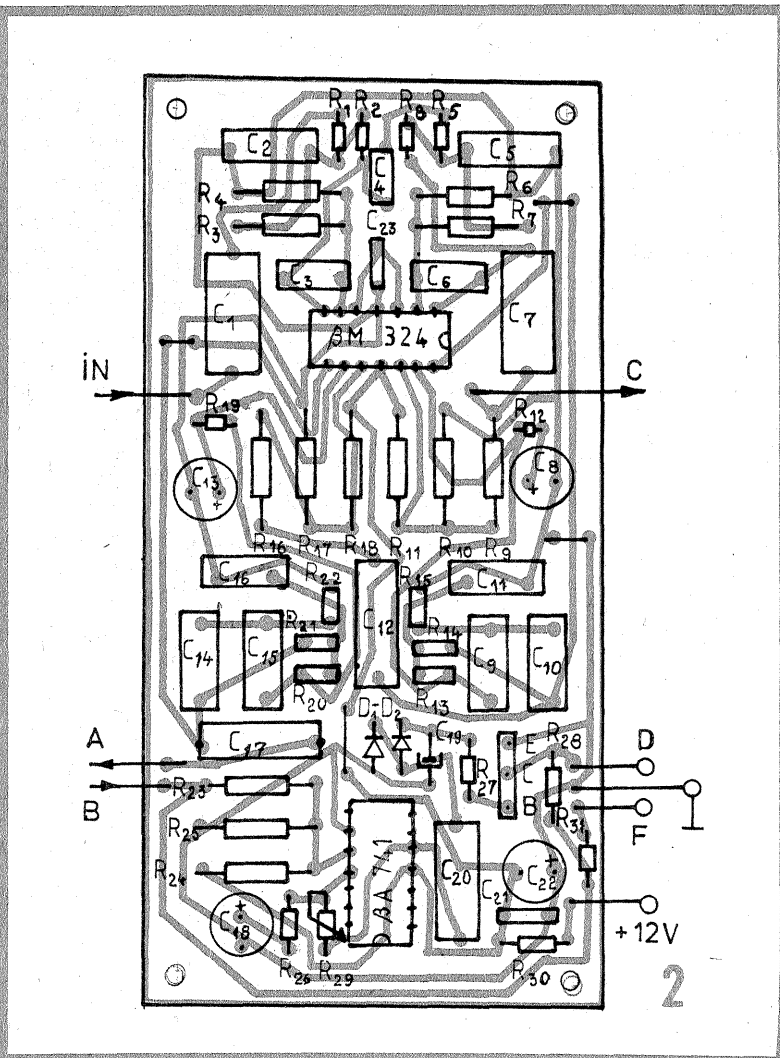
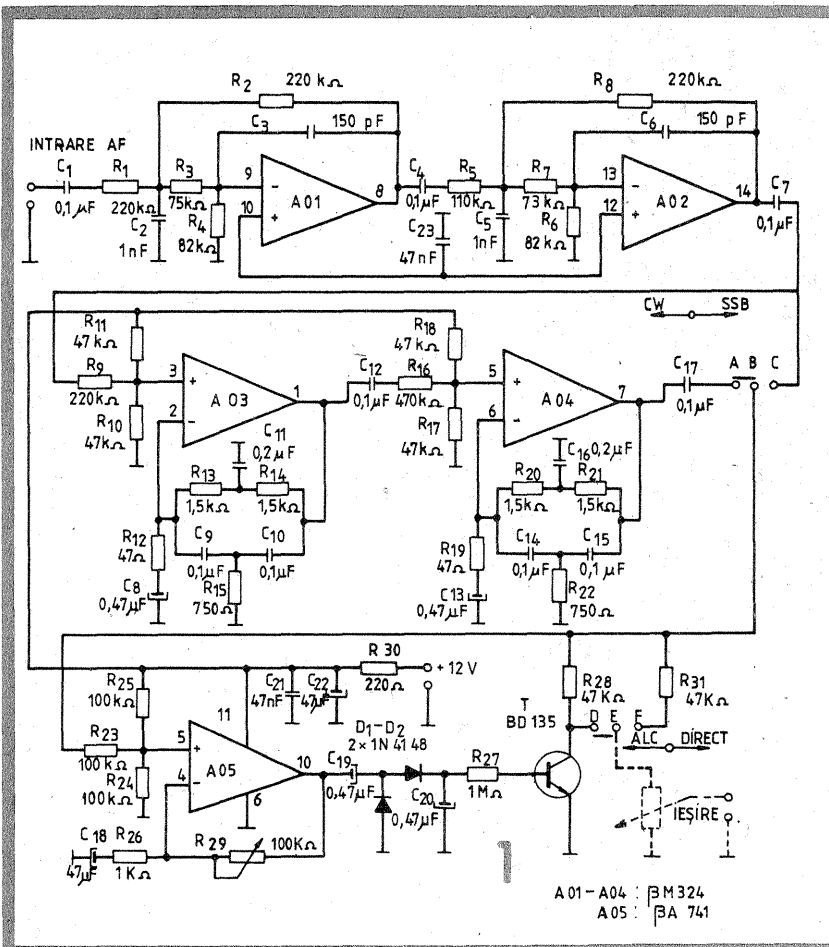
A fost preferat tranzistorul BD 135 în locul celor din seria BC deoarece are frecvența de tăiere mai mică și anihilează astfel foarte bine recepția parazită a posturilor locale de radiodifuziune, chiar în cazul în care montajul nu se ecranează.

În figura 2 se arată modul de poziționare a pieselor pe circuitul imprimat cu vedere dinspre piste de cupru, piesele fiind plantate pe partea opusă (scara 1:1).

Cei care doresc să construiască numai blocul de filtre pot realiza acest lucru prin secționarea cablajului imprimat deasupra punctelor A și D.

BIBLIOGRAFIE

1. Giugudean M. s.a., Circuite integrate liniare. Aplicații, Timișoara, 1986.
2. Băluță Gh., Mihăescu I. s.a., Practica electronistului amator, București, 1984.
3. Colecția revistei „Tehnum“, 1985—1988.



TELEPROGRAMATOR PENTRU TV „ELCROM”

Ing. VICTOR DAVID

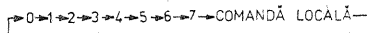
1. PREZENTARE GENERALĂ

Receptoarele TV color „ELCROM”, produse de Întreprinderea „Electronica”, sînt prevăzute cu un programator electronic. La apăsarea uneia dintre tastele acestui programator se realizează acordul circuitelor din selector prin comutarea tensiunii varicap, precum și comutarea pe banda TV corespunzătoare.

Teleprogramatorul propus oferă posibilitatea de a comanda de la distanță starea programatorului, fără însă a împiedica programarea de la tastatura proprie a receptorului TV, atunci cînd se dorește acest lucru. Comanda teleprogramatorului se realizează prin impulsuri transmise pe un canal de transmitere oarecare, lăsat la alegerea constructorului (cablu, unde radio, lumină, infraroșu etc.).

În continuare este prezentată varianta cea mai simplă, deci și cea mai ieftină, a telecomenzii prin cablu bifilar obișnuit. Această variantă are avantajul alimentării din receptorul TV, precum și cel al imunității perfecte la perturbații.

În esență, teleprogramatorul este un numărator în inel. Fiecare nou impuls de numărare determină avansul cu un pas în ciclul indicat în figura 1:



Cum fiecare cifră are semnificația unui program TV distinct, rezultă că programul dorit poate fi selectat fie prin acționarea repetată a unui comutator fără reținere, legat prin cablu cu teleprogramatorul amplasat în interiorul receptorului TV (telemandă), fie de la tastatura existentă (comandă locală).

2. MODUL DE FUNCȚIONARE

Schema electrică a teleprogramatorului (fig. 2) conține un bistabil RS realizat cu porțile P1, P2, destinat formării impulsurilor de numărare, un numărator programabil CI2 și un multiplexor analogic CI3 cu rol de decodificare.

Funcționarea în regim de telecomandă înseamnă trimiterea tensiunii de +12 V pe una din căile O₀, ..., O₇

spre programatorul receptorului TV. În această situație, comenzile date prin tastatura locală nu au efect. Prioritatea telecomenzii este semnalizată prin aprinderea lui LED1.

În starea „8” (1000) a număratorului, multiplexorul analogic este blocat prin comanda INHIBIT = 1. Programatorul, rămas cu ultima celulă selectată, poate fi acum controlat prin tastele proprii.

Un nou impuls aplicat număratorului readuce dispozitivul în regim de telecomandă și selectează prima celulă a programatorului, deoarece reacția realizată cu porțile P3, P4 determină resetarea număratorului la trecerea în starea „9” (1001).

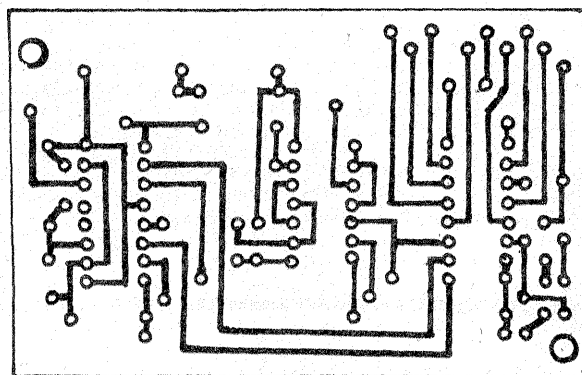
La pornirea receptorului TV, datorită grupului R4—C2, în numărator se încarcă cuvîntul 1000 de pe intrările I_D, I_C, I_B, I_A, deci se realizează preselecția regimului de comandă locală. Se observă că circuitul de prioritate intern al programatorului selectează prima celulă. La deconectarea alimentării, condensatorul C2 se descarcă rapid pe bara de alimentare prin dioda D2.

3. INDICAȚII CONSTRUCTIVE

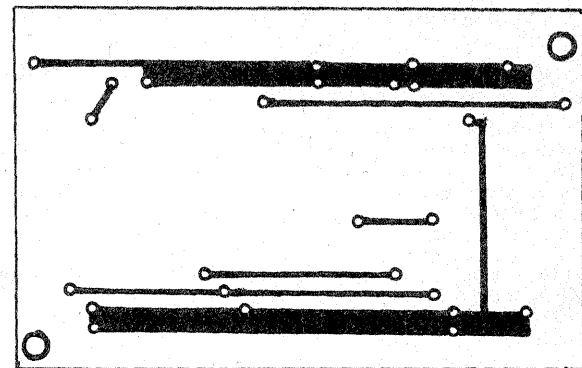
Figura 3 prezintă cablajul imprimat la scara 1:1 și dispunerea componentelor. Pe placă nu au fost montate componentele Re1, C1 și R1 care se amplasează separat. Releul electromagnetic Re1 este de orice tip, alimentat la 12 Vc.c., cu contacte NI+ND, avînd un curent de anclanșare de cel mult 50 mA. Pentru rezistența R1 se alege valoarea maximă care permite anclanșarea sigură a releului. Condensatorul C1 elimină comutările parazite.

Conexiunile modului teleprogramator cu alimentarea de +12 V și cu tastele SB1.1, ..., SB1.8 din TV sînt prezentate în figura 2. Simbolurile din paranteze sînt cele preluate din schema electrică a TV „ELCROM”.

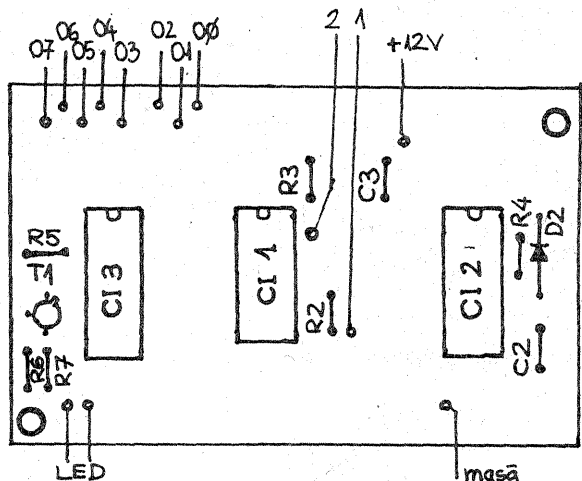
Modulul încarcă sursa de +12 V cu mai puțin de 1 mA cînd LED1 este stins. Pe durata dării comenzilor se adaugă consumul releului electromagnetic, aceasta neafectînd funcționarea vreunui bloc din receptorul TV.



a)



b)



c)

Fig. 3: Cablajul imprimat pentru teleprogramator
a) fața fără componente; b) fața cu componente;
c) dispunerea componentelor pe cablaj.

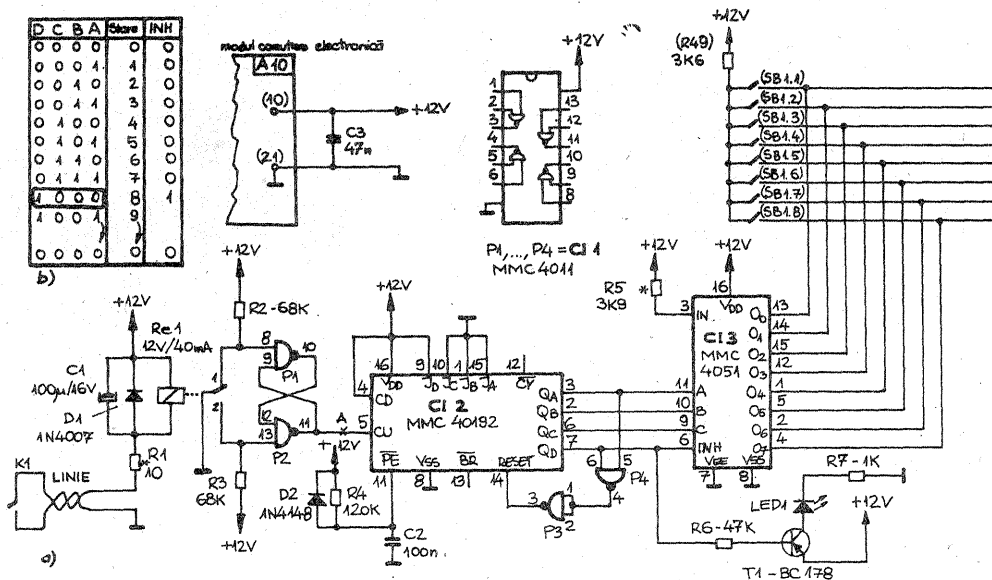


Fig. 2: a) Schema electrică a teleprogramatorului; b) tabelul stărilor

CONVERTOR ANALOGIC-NUMERIC

Ing. MILIAN OROS

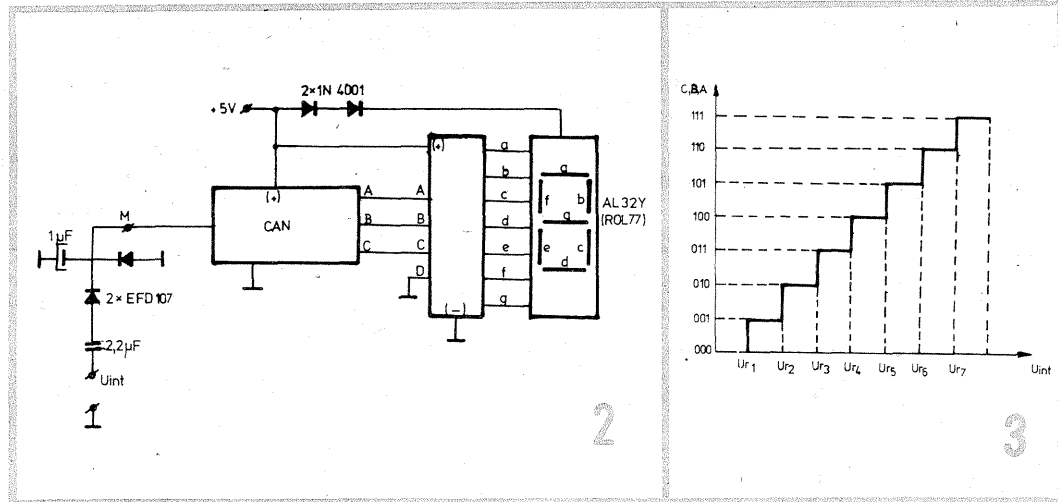
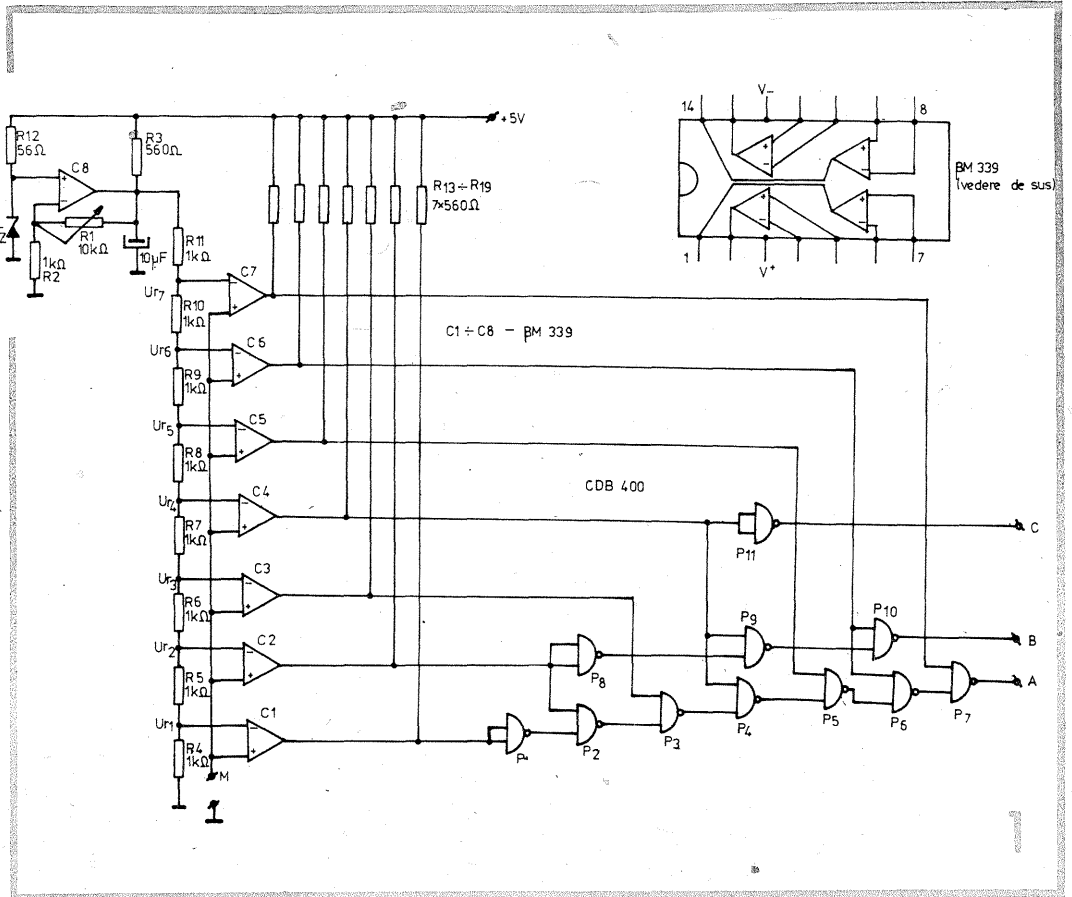
În practică, de multe ori trebuie să transformăm un semnal electric aflat sub o formă analogică într-un semnal electric numeric. Această transformare se realizează cu ajutorul convertorilor de tip analogic-numeric.

În cele ce urmează este prezentată sfera de principiu a unui convertor analogic-numeric de tip paralel cu o rezoluție de trei biți.

Schema electrică de principiu a convertorului este dată în figura 1. După cum se poate constata, ea cuprinde comparatoarele $C_1 \div C_7$ de tipul $\beta M339$, care asigură discretizarea tensiunii analogice de la intrarea convertorului și porțile $P_1 \div P_{11}$ de tipul ȘI-NU (CDB400), care asigură ieșirea numerică a convertorului.

Când la intrarea (M) a convertorului nu se află tensiune sau tensiunea este mai mică decât tensiunea de referință U_{R1} , toate comparatoarele ($C_1 \div C_7$) au ieșirea în 1 L, porțile P_7, P_{10} și P_{11} (adică A, B, C) au ieșirile în 0 L.

Să presupunem că nivelul de la intrare a crescut. Când se atinge nivelul de referință U_{R1} , comparatorul C_1 comută, ieșirea lui trece în 0 L, iar poarta P_7 comută în 1 L. Ieșirile B și C rămân neschimbate și deci se obține cifra 1 în binar (001). Mărind și mai mult nivelul de la intrare, la atingerea nivelului de referință U_{R2} , comparatorul C_2 își trece și el ieșirea în 0 L, iar poarta P_7 comută în 0 L, P_{10} în 1 L și P_{11} rămâne în 0 L; se obține astfel cifra 2 în binar (010).



Mărind în continuare nivelul semnalului de la intrare, odată cu comutarea comparatoarelor C_3, C_4, C_5, C_6 și C_7 în 0 L se obțin la ieșire secvențele binare corespunzătoare cifrelor 3, 4, 5, 6 și 7, respectiv secvențele: 011; 100; 101; 110 și 111. La micșorarea nivelului semnalului de la intrare tensiunea este inversă.

Tensiunea de referință necesară comparatoarelor este asigurată de o sursă de tensiune reglabilă, stabilizată electronic cu comparatorul C_8 tot de tipul $\beta M339$.

Din potențiometrul R_1 se poate varia rezoluția convertorului. Rezoluția la un convertor analogic-numeric se definește ca fiind egală cu variația tensiunii de la intrare necesară pentru a schimba două secvențe numerice consecutive de la ieșire.

O primă aplicație a acestui convertor este dată în figura 2; este vorba de un voltmetru numeric ce poate fi folosit cu succes ca VU-metru numeric.

În figura 3 este dată caracteristica de transfer a VU-metrului. Dacă se dorește o caracteristică logaritmică, atunci rezistențele $R_4 \div R_{10}$ vor trebui să aibă o creștere logaritmică.

TELECOMANDĂ PENTRU MAGNETOFONUL ROSTOV-105

Prof. MIHAI TODICĂ, Cluj-Napoca

Magnetofonele ROSTOV-105, comercializate în ultima vreme la noi în țară, se remarcă prin performanțe tehnice deosebite, calitate asigurată de o concepție tehnică modernă. Printre soluțiile tehnice adoptate amintim folosirea a trei motoare pentru antrenarea benzii și

folosirea comenzilor electromagnetice pentru toate funcțiile mecanice. Acest lucru face posibilă comanda de la distanță a magnetofonului, prin cablu.

Dispozitivul de telecomandă, comercializat sub denumirea EVRIKA, asigură toate comenzile mecanice, precum și căutarea și selectarea unei anumite melodii. Din această cauză dispozitivul are o schemă electronică mai complexă.

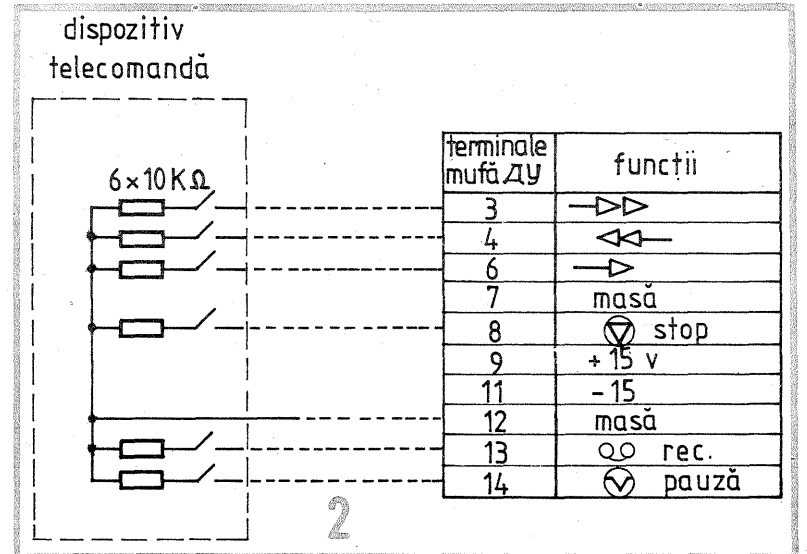
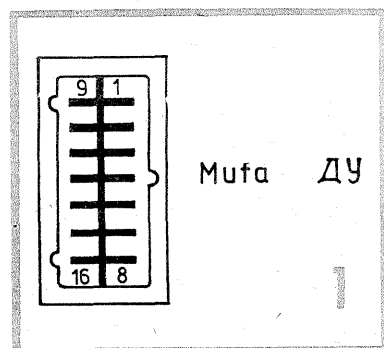
Dacă se urmărește numai comanda funcțiilor mecanice, atunci se poate realiza un dispozitiv de telecomandă foarte simplu, care să conțină numai niște întrerupătoare cu un singur contact, de tip buton (fără reținere). Acest lucru este posibil deoarece toate funcțiile magnetofonului se comută electronic, prin blocuri special concepute, astfel încât comanda lor să se facă printr-un simplu microswitch.

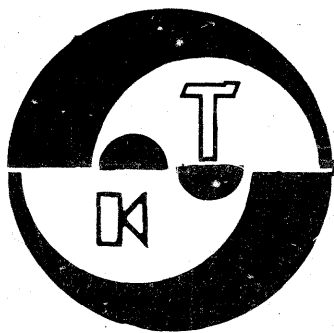
Accesul din exterior la blocurile de comandă se face prin interme-

diul mușei ΔY de telecomandă.

În figura 1 este prezentată mufa de telecomandă cu numerotarea terminalelor, iar în figura 2 modul de conectare a dispozitivului și funcțiile comandate. Se vor folosi întrerupătoare cu un singur contact, de tip buton. Legătura cu magnetofonul se face printr-un cablu multifilar, nu neapărat ecranat.

Având în vedere faptul că magnetofonele ROSTOV se comercializează în general fără telecomandă, considerăm că sugestiile prezentate vor fi utile multor posesori ai acestor aparate.





EGALIZOR PARAMETRIC

Ing. AURELIAN MATEESCU

Egalizoarele grafice sînt larg utilizate de cître amatorii de muzică pentru corecția semnalelor audio după preferință.

Egalizoarele parametric sînt mai puțin cunoscute, deși reprezintă instrumente deosebit de eficiente pentru corecția semnalului audio. Ambele tipuri de egalizoare utilizează filtre de bandă active pentru egalizare. Dacă egalizoarele grafice utilizează un număr de filtre de bandă cu domeniile de lucru prestabilite, egalizoarele parametric sînt filtre de bandă acordabile, în domeniul de

- Raportul între lărgimea minimă și maximă a benzii de trecere: 1:10
- Panta de tăiere: 15 dB/octavă
- Nivelul de tăiere inferior: -23 dB
- Nivelul de tăiere superior: +18 dB
- Dinamica: 100 dB
- Raport S/z: 90 dB
- Distorsiuni: 0,005% (măsurate la cîștig maxim și lățime maximă a benzii)
- Nivelul semnalului de intrare: 100 ÷ 700 mV
- Tensiune de alimentare: ±15 V.

CI3 un filtru trece-jos. Ieșirea lui CI2 este introdusă într-un etaj amplificator realizat cu CI4, R6, R9 și P3.

Centrul frecvenței egalizorului parametric este determinat de P2, R5, R10, C2 ÷ C7. Domeniul de frecvență este selectat prin conectarea unei perechi de condensatoare prin intermediul comutatorului cu două secțiuni notat cu K. Selectarea frecvenței în interiorul domeniului ales este efectuată cu ajutorul potențiometrului P2 și este determinată de elementele R5, R10 și P2.

de frecvență cuprins între 2 kHz și 20 kHz, C3 și C6 domeniul 200 Hz ÷ 2 kHz, iar perechea C4 și C7 domeniul cuprins între 20 Hz și 200 Hz. Reglajul în interiorul domeniilor este efectuat cu P2, potențiometrul dublu. Frecvența cea mai înaltă în interiorul domeniului corespunde poziției extreme a potențiometrului P2, cînd valoarea acestuia este nulă în ecuația de mai sus. R5 și R10 stabilesc capătul de sus al domeniului de lucru. Cînd P2 este în poziție extremă anterioară, valoarea sa în ecuație este de 100 kΩ și determină capătul de jos al domeniului de lucru.

Mărimea domeniului de trecere al filtrului, pe care-l vom nota cu Q, depinde de relația dintre R2, R4 și P1, prezentată mai jos:

$$\frac{R4 + P1}{R2} = 3Q - 1$$

Prin explicitare obținem:

$$Q = \frac{1 + \frac{R4 + P1}{R2}}{3}$$

Înlocuind în relația dată valorile celor două rezistențe, ca și valorile extreme ale potențiometrului P1, vom obține:

$$Q_{max} = 10;$$

$$Q_{min} = 1.$$

Etajul de amplificare realizat cu CI4 asigură capacitatea egalizorului de a reduce sau mări amplificarea frecvențelor pe care este acordat egalizorului. P3 asigură nivelul amplificării. Condensatoarele C8 și C9 suprimă zgomotul de înaltă frecvență transmis pe linia de alimentare.

Pentru înțelegerea funcționării egalizorului se vor urmări figurile 2-8, ce prezintă influența schimbării parametrilor asupra răspunsului în frecvență al circuitului.

Figurile reprezintă schimbarea parametrilor de acord asupra unui domeniu fix de frecvență cuprins între 2,6 kHz și 7,5 kHz.

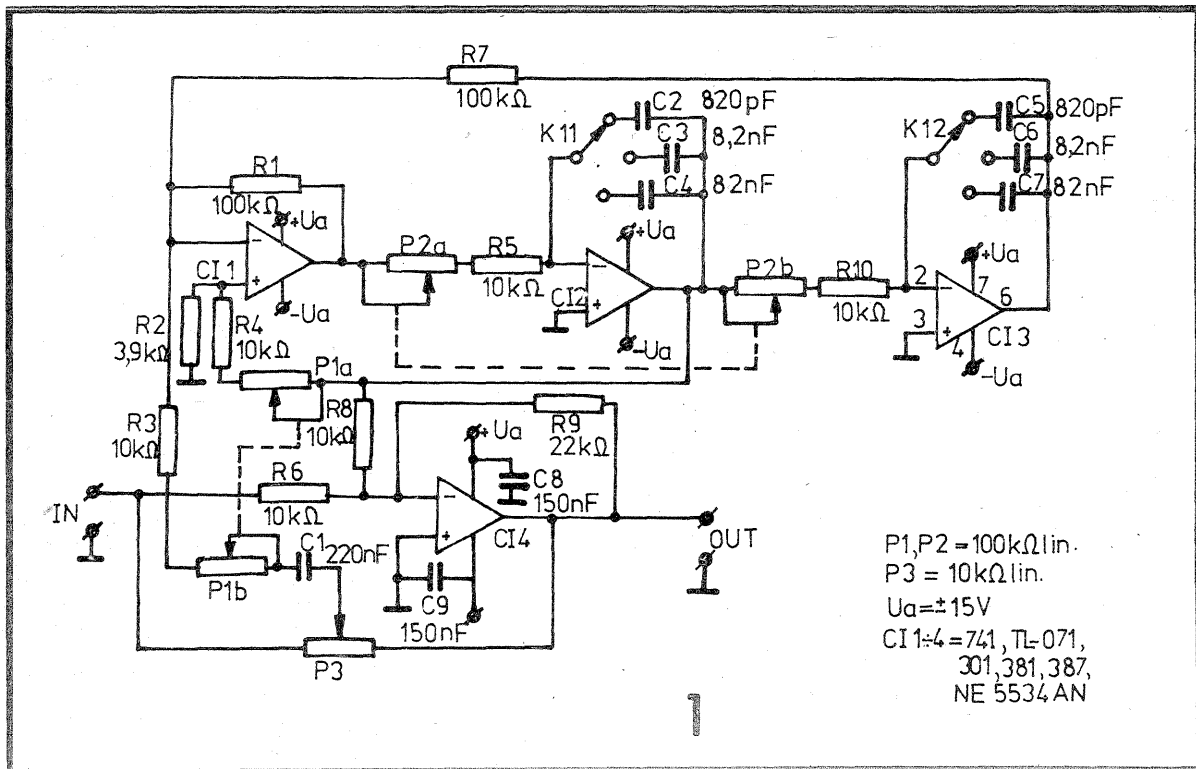
Figurile 2 și 3 prezintă efectul mutării centrului frecvenței de acord la un capăt sau la celălalt al domeniului de lucru.

Figurile 4 și 5 prezintă efectul modificării parametrului Q, îngustarea și respectiv lățirea domeniului de trecere.

Figurile 6, 7 și 8 prezintă capacitatea circuitului de a reduce sau mări amplificarea în cadrul domeniului de lucru.

Detalii constructive. Cablajul imprimat este prezentat în figura 9 și corespunde variantei în care se utilizează AO cu pini corespunzător „bătrînului” 741 în capsulă DIL8.

Se recomandă utilizarea unor AO de calitate, tip TL071 sau echivalente. Se pot utiliza, cu modificări de cablaj, NE5534AN, βM301 și chiar 741 (cu un nivel de zgomot și dis-



lucru. Aceasta permite o utilizare mai eficientă, reducîndu-se numărul de benzi de lucru. Se poate lucra cu un număr mic de module care acoperă complet și continuu domeniul de lucru, de exemplu 20 Hz ÷ 20 kHz.

PERFORMANȚELE MONTAJULUI
— Domeniul de lucru: 20 Hz ÷ 20 kHz

Modul de funcționare. Schema electrică a egalizorului parametric este prezentată în figura 1. După cum am menționat, montajul se bazează pe utilizarea unor filtre active; în cazul de față, filtrele active sînt construite cu AO, notate CI1, CI2 și CI3. CI1 și componentele aferente formează un filtru trece-sus, CI2 formează un filtru trece-bandă, iar

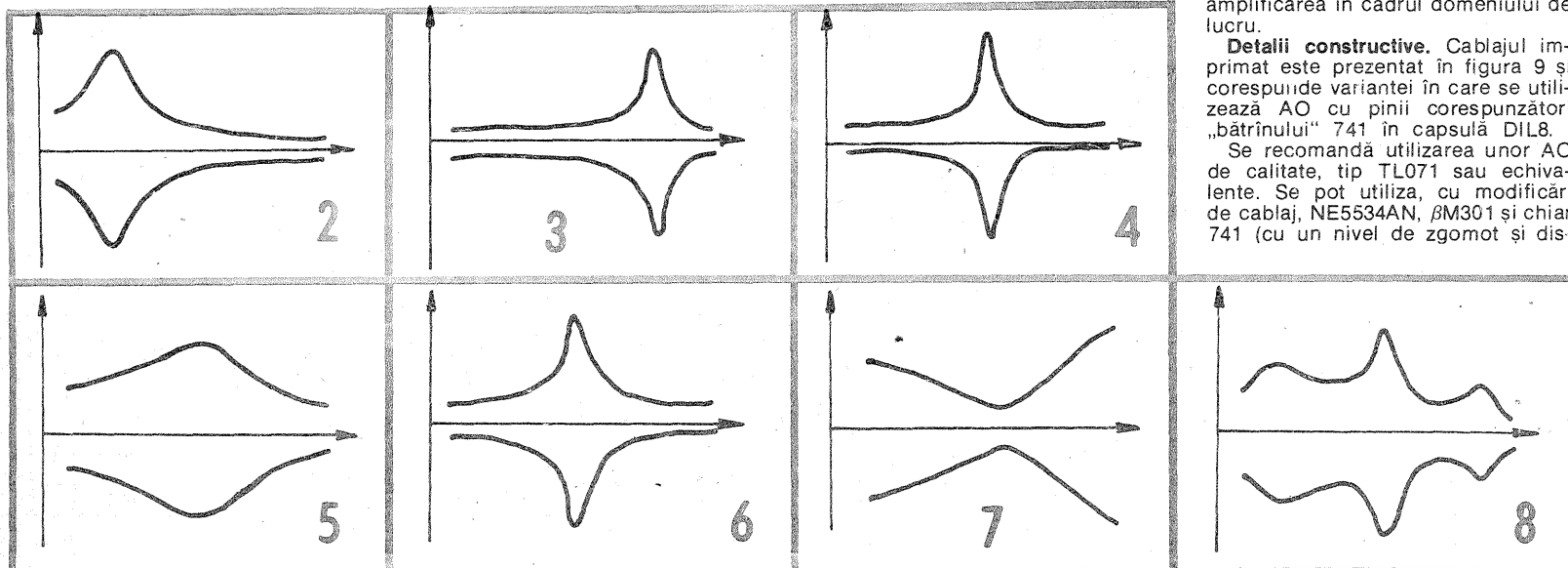
Ecuația care definește centrul frecvenței este:

$$f_c = \frac{1}{2} (P2 + R5) Cx$$

unde $Cx = C2, C3, C4$.

Aceeași ecuație se poate scrie pentru elementele R10, C5, C6, C7, constituind perechea ecuației precedente.

C2 și C5 corespund domeniului



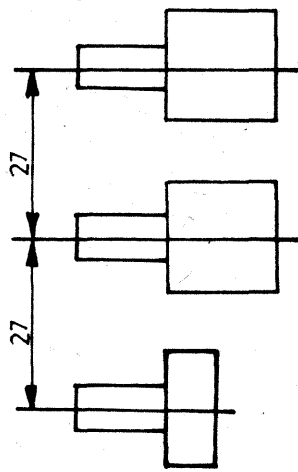
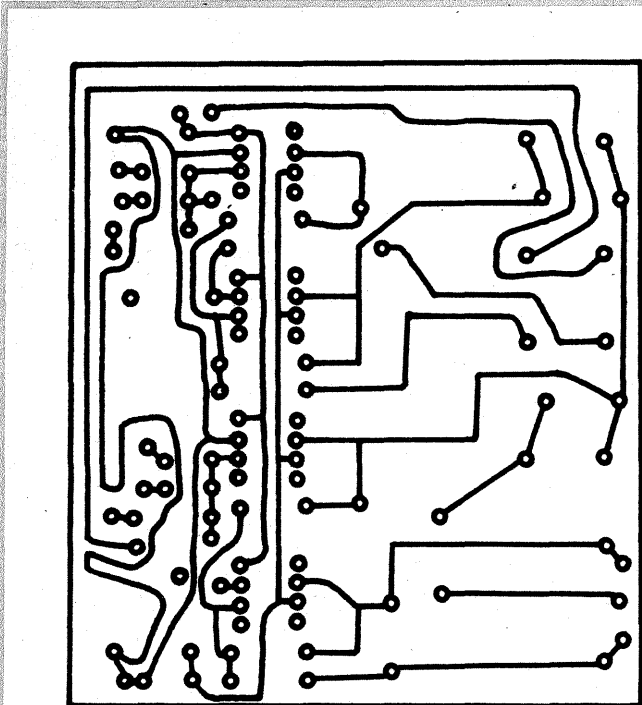
torsiuni mai ridicate).

Potențiometrele sînt de tipul liniar, cu pini pentru montare pe cablaj. Se preferă utilizarea rezistoarelor cu peliculă metalică și a condensatoarelor cu stiroflex sau multistrat.

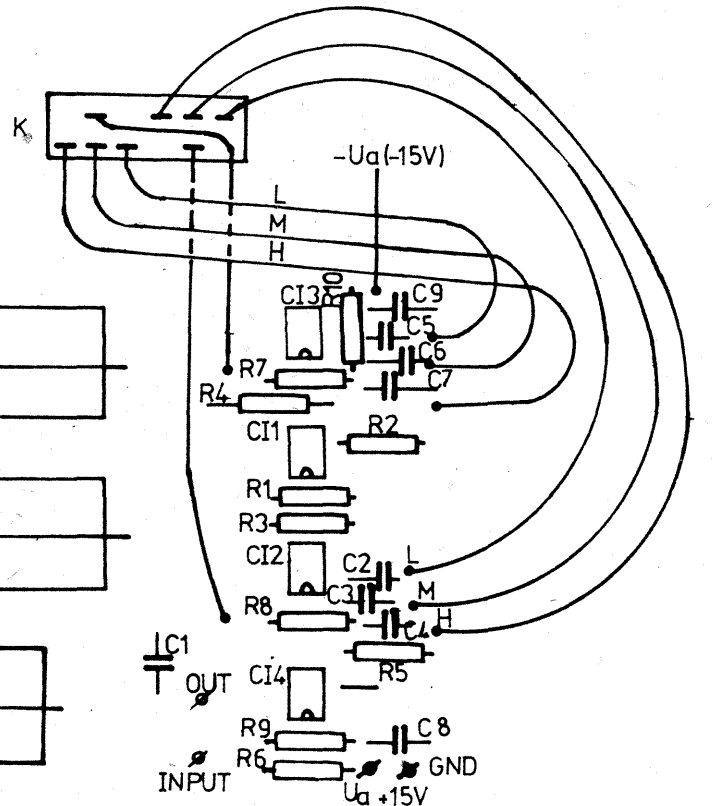
Utilizare. Circuitul se poate utiliza în cadrul unui lanț audio în locul unui corector de ton tip Baxendall clasic, avînd posibilități superioare. Pentru extinderea domeniului de lucru se va utiliza un lanț de 3-4 egalizatoare parametriche conectate în se-

rie. În acest caz se va avea în vedere ca primul modul să nu aibă un Q sau un cîștig prea ridicat, valabil și pentru celelalte module. În acest fel se înlătură pericolul ca, datorită unei amplificări excesive, semnalul să fie distorsionat.

BIBLIOGRAFIE
Practica electronistului amator, colectiv de autori, Editura „Albatros”
Colecția revistei „Tehnum”
ETI, vol 11/1988



L - low (joase)
M - midrange (medii)
H - high (înalte)



PĂSTRAREA PE TIMP ÎNDELUNGAT A ÎNREGISTRĂRILOR PE BENZI MAGNETICE

M. AUREL

Iubitorii de muzică ce au înregistrările pe benzi magnetice își doresc ca fondul aflat în păstrare pe acestea să poată fi conservat în perfectă stare o perioadă cât mai îndelungată.

Factorii care afectează păstrarea în bune condiții a înregistrărilor pe benzi magnetice au fost studiați de experții elvețieni, care au publicat recent concluziile lor asupra acestor factori. Experimentările s-au desfășurat pe o perioadă de peste un an, iar pentru experimentări s-au utilizat următoarele tipuri de casete cu bandă magnetică:

- tip I — casetele conțin bandă magnetică avînd stratul activ din pulberi de oxid de fier;
- tip II — stratul activ este format din pulbere de dioxid de crom;
- tip IV — stratul activ este format din pulberi metalice (Fe, Cr, Ni, Co etc.).

Reamintim că, în funcție de componența stratului activ, Comisia Internațională de Electrotehnică a împărțit benzile magnetice în 4 tipuri. Benzile magnetice de tip III corespund benzilor avînd stratul activ compus din două straturi cu compoziție diferită: un strat de bază din pulberi de oxizi de fier și un strat mai subțire din pulbere de dioxid de crom. În prezent, aceste tipuri de benzi au o circulație foarte restrînsă, majoritatea producătorilor renunțînd la fabricarea lor.

În cursul experimentărilor de lungă durată s-a urmărit efectul scurgerii timpului asupra conservării nivelului inițial la care s-a efectuat înregistrarea. A fost urmărit domeniul de frecvență 31 Hz ÷ 20 000 Hz. S-a constatat că înrăutățirea calității înregistrării s-a datorat următoarelor cauze:

— efectul de copiere care apare între straturile de bandă vecine, datorită grosimii mici a stratului suport, efect ce afectează raportul semnal-zgomot în medie cu 5 dB în primele 10 zile după

înregistrarea benzii. Acest proces continuă și după primele 10 zile de la înregistrare, dar raportul semnal-zgomot este afectat în medie cu 1,5 dB/an;

— influența cîmpurilor magnetice exterioare, între care cel mai pregnant efect îl au cîmpurile magnetice generate de sistemele acustice de difuzoare (incintele acustice).

Influența cea mai puternică a cîmpurilor magnetice externe a fost observată asupra benzilor de tip I (cu oxizi de fier). Înrăutățirea raportului semnal-zgomot atinge 1,5 dB la frecvențe joase și pînă la 5 dB la frecvențe înalte.

În cazul benzilor cu pulberi metalice și cu dioxid de crom, efectul produs de cîmpurile magnetice exterioare s-a dovedit a fi mult mai redus, ceea ce le recomandă pentru păstrarea îndelungată a înregistrărilor de înaltă calitate. Aceste tipuri de benzi necesită un cîmp magnetic puternic la înregistrare și în consecință numai un cîmp magnetic exterior puternic poate produce demagnetizarea lor și deci deteriorarea raportului semnal-zgomot și a dinamicii înregistrării.

S-a constatat că atît efectul de copiere, cît și influența cîmpurilor magnetice exterioare sînt potențate de creșterea temperaturii mediului ambiant.

În ceea ce privește benzile magnetice destinate utilizării pe magnetofon, s-au înregistrat aceleași efecte, cu precizarea că efectul de copiere este mai redus deoarece suportul acestor benzi este mult mai gros decît la banda destinată utilizării în casete.

În urma observațiilor proprii pe parcursul timpului, am constatat că la benzile magnetice DOUBLE PLAY, avînd grosimea totală de circa 27 μm, efectul de copiere este ușor de sesizat în pauzele dintre înregistrări și mult mai puțin evident în cazul benzilor LONG PLAY, benzi avînd

grosimea totală de circa 35 μm.

În cele ce urmează vom prezenta recomandările făcute de producătorii de benzi magnetice pentru păstrarea timp nelimitat a calităților benzilor și deci o bună conservare a înregistrărilor pe care le conțin:

— se recomandă ca păstrarea benzilor magnetice să fie făcută în ambalajul producătorului, în încăperi ferite de umiditate și la temperaturi de 15°—20° C;

— se vor feri benzile de variații bruște de temperatură, ce produc, prin dilatare-contrații, desprinderea stratului magnetic de pe suport;

— se va evita contactul benzilor cu praful, substanțele chimice de orice fel;

— se vor feri benzile magnetice de cîmpuri magnetice create de aparatura electrocasnică, incintele acustice, conductoare de forță, electro-magneți etc.;

— după o stocare îndelungată se recomandă derularea rapidă a benzii de cîteva ori înainte de întrebuițare. În acest fel se obține o reîmprospătare a elasticității suportului și stratului magnetic, iar la casetele cu bandă se obține și o reducere a efectului de copiere cu 1 ÷ 2 dB; benzile de magnetofon ce nu sînt utilizate se recomandă a fi derulate de minimum două ori pe an;

— în funcție de tipul stratului activ, pentru păstrarea unor înregistrări de calitate se recomandă utilizarea, în ordine, a următoarelor tipuri de benzi magnetice:

a) pentru casetofoane se va prefera utilizarea casetelor cu durată de 60 min, cu strat activ din pulberi metalice (tip IV), dioxid de crom (tip II) sau oxizi de fier (tip I);

b) pentru magnetofoane se va prefera banda cu grosimea de 25—27 μm (DOUBLE PLAY) sau 35—37 μm (LONG PLAY), avînd indicativele funcție de compoziția stratului activ:

— EE (EXTRA EFFICIENCY) — strat activ dublu din oxizi de fier și un strat subțire de dioxid de crom (asemănător benzilor tip III pentru casetofon); acest tip de bandă este de 2,5—3 ori mai scump decît o bandă de calitate cu strat de oxizi de fier;

— LH — benzi cu strat activ din oxizi de fier, de zgomot mic și nivel mare;

— LN — benzi cu strat activ de oxid de fier cu zgomot propriu mic.

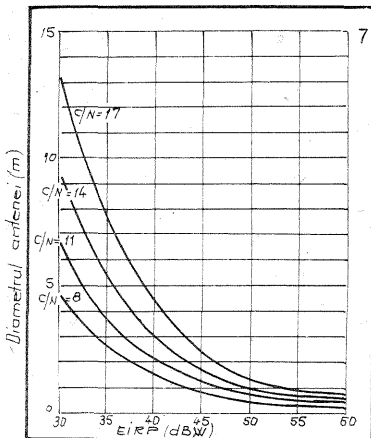
BIBLIOGRAFIE
Colecția revistei „Radio”—U.R.S.S., 1987—1988

RECEPȚIA ÎN BANDA SHF

Dr. fiz. DRAGOȘ FĂLIE

(URMARE DIN NR. TRECUT)

Pentru a putea aprecia rapid diametrul antenei necesar recepționării unui semnal cu un anumit raport purtătoare-zgomot, se poate folosi graficul din figura 7. Pe ordonată este reprezentat diametrul antenei, iar pe abscisă nivelul EIRP.



La realizarea graficului s-a presupus că atenuarea spațiului liber este de -205,8 dB, eficacitatea antenei este de 60%, banda de zgomot a receptorului este de 27 MHz, iar temperatura de zgomot a sistemului este de 240 K. De exemplu, dacă nivelul EIRP este de 45 dB, atunci pentru un raport C/N de 8 dB, la recepție este suficientă o antenă cu un diametru de aproximativ 80 cm. Pentru un C/N = 8 dB și o antenă de 80 cm diametru sistemul nu are nici un fel de margine de siguranță. În cazul în care condițiile atmosferice se vor înrăutăți, mărindu-se atenuarea spațiului cu 1 dB, se va produce o degradare puternică a imaginii recepționate. În acest caz, pentru exemplul dat se recomandă o antenă cu un diametru de 1,2 m, pentru care se poate obține un C/N de 11 dB.

PRINDEREA POLARĂ

Poziționarea antenei cu o prindere de tipul azimut-elevație nu asigură o trecere ușoară de la un satelit la altul, pentru această operație fiind necesară re poziționarea antenei prin două mișcări.

De foarte mult timp este cunoscută o montură care permite redirecționarea antenei doar printr-o singură rotație. Acest sistem de poziționare a fost imaginat de către astronomi pentru a urmări stelele de pe bolta cerească, compensând mișcarea de rotație a Pământului

printr-o rotire a antenei în jurul unei axe paralele cu axa de rotație a Pământului.

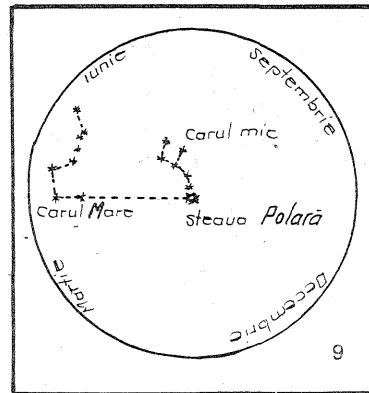
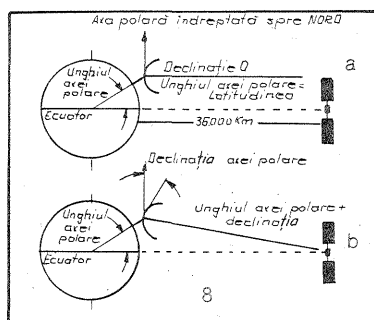
Datorită faptului că sateliții artificiali sînt situați la o distanță destul de mică față de Pământ în comparație cu stelele, prinderea polară a antenelor parabolice trebuie puțin modificată față de montura polară a telescoapelor.

În figura 8a este reprezentată prinderea polară clasică. Suprafața antenei parabolice este situată într-un plan paralel cu axa de rotație a Pământului. Dacă sateliții ar fi situați la infinit sau dacă antena ar fi situată într-un punct de pe Ecuator, atunci pentru a re poziționa antena pentru un alt satelit geostaționar trebuie să rotim antena în jurul unei axe paralele cu axa de rotație a Pământului. După cum se poate vedea și în figura 8b, dacă antena nu este situată pe Ecuator, planul ei trebuie înclinat față de axa Pământului cu un anumit unghi, numit unghi de declinație, pentru ca ea să vizeze un satelit geostaționar. Unghiul de declinație se calculează, în funcție de longitudinea locului unde este situată antena, cu ajutorul relației:

$$\text{Unghiul de declinație} = d = \arctg \left[\frac{\sin L}{(D/R + 1 - \cos L)} \right]$$

unde: L — latitudinea locului;
D — distanța de la satelit la suprafața Pământului;
R — raza Pământului; D/R = 5,6256.

În concluzie, axa în jurul căreia se rotește antena trebuie să fie poziționată astfel încît să fie paralelă cu axa de rotație a Pământului; ea trebuie să formeze cu suprafața Pământului un unghi egal cu latitudinea locului. În cazul în care antena se află pe Ecuator, ea se va roti în jurul unei axe paralele cu suprafața Pământului. Axa polară a antenei trebuie apoi să fie orientată pe direcția N—S; pentru aceasta ea trebuie să fie îndreptată spre Steaua Polară. Dacă pe axa polară se montează o lunetă, în centrul imaginii văzute prin aceasta trebuie



să se afle Steaua Polară. Pentru a putea identifica Steaua Polară se poate folosi desenul din figura 9.

Sistemul de prindere a antenei trebuie să fie astfel conceput încît să poată permite reglarea azimutului și elevației axei polare a antenei. Aceste reglaje se vor efectua doar o singură dată în momentul poziționării antenei.

Antena se va prinde pe un suport care să permită reglarea unghiului pe care îl face axa polară cu suprafața antenei, în jurul valorii unghiului de declinație.

Acest sistem de prindere polară nu permite o vizare fără eroare a tuturor direcțiilor de pe Ecuator. Dacă eroarea de poziționare a prinderii este zero, atunci eroarea de vizare a unor puncte de pe orbita geostaționară este de maximum 0,1 grade.

Dacă unghiul de declinație se reglează astfel încît punctul de pe orbita geostaționară aflat pe meridianul locului să fie vizat fără eroare, atunci celelalte puncte se vor situa puțin mai sus față de direcția de vizare. Pentru punctele aflate la limita de vizibilitate a antenei, eroarea de vizare va fi de 0,1 grade. Dacă unghiul de declinație se reglează astfel încît punctele extreme să fie vizate fără eroare, atunci punctele din jurul meridianului locului se vor afla puțin mai jos decît direcția de vizare. Din nefericire, nu există nici o modalitate de a elimina complet inacuratețea de poziționare.

PRINDEREA POLARĂ MODIFICATĂ

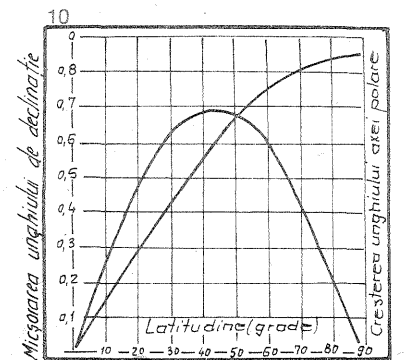
Eroarea de poziționare de 0,1 grade se poate reduce la 0,05 grade dacă se utilizează o prindere polară modificată. Prinderea polară modificată este identică cu prinderea polară, din punct de vedere meca-

nic, îmbunătățirea preciziei de poziționare realizându-se prin corectarea unghiului de declinație și a înclinării axei polare.

Să presupunem că unghiurile au fost corect reglate în conformitate cu prinderea polară convențională. Se crește ușor unghiul pe care îl face axa polară cu orizontala; în mod normal această axă este paralelă cu direcția N—S. După această operație se reduce cu aceeași cantitate unghiul de declinație. În felul acesta punctul de pe orbita geostaționară aflat în dreptul meridianului locului este vizat cu aceeași precizie. În momentul în care antena este rotită către est sau vest, cu același unghi ca în cazul în care axa polară ar fi vizat exact direcția N—S, micșorarea unghiului de declinație face ca antena să vizeze puțin mai sus decît în cazul normal, micșorîndu-se eroarea de vizare a prinderii polare clasice.

Dacă prinderea polară se modifică cu datele din figura 10, atunci punctele de pe orbita geostaționară aflate la extrem est sau vest vor fi vizate fără eroare, la fel ca și punctul corespunzător cu meridianul locului; eroarea de vizare a celorlalte puncte în acest caz nu va fi mai mare de 0,05 grade.

De cele mai multe ori, poziționarea elementelor prinderii polare nu se poate face cu eroarea scontată,



dar toate reglajele imprecise făcute inițial pot fi corectate în momentul în care se pot recepționa mai mulți sateliți geostaționari. Toate corecțiile ce trebuie făcute sînt foarte ușor de înțeles dacă se urmăresc desenele din figura 11. Pentru a obține poziționarea corectă, toate reglajele trebuie repetate de 4—5 ori.

Figura 12 ilustrează o prindere polară clasică. Pe figură sînt repre-

TABELUL 6

Calitatea recepției și pragul receptorului (pragul ales este de 8 dB)

RAPORTUL SEMNAL/ZGOMOT (dB)	CALITATEA IMAGINII
5	Extrem de zgomotoasă; multe liniuțe (peștișori); zgomot în audio
6	Ceva mai bună; multe liniuțe
7	Vizionabilă, dar sînt și liniuțe
Pragul (8)	Puține liniuțe
9	Imagine bună; apar liniuțe doar pe culorile saturate
10	Calitatea unei casete video
11	Calitatea unei imagini de „studio“

TABELUL 7

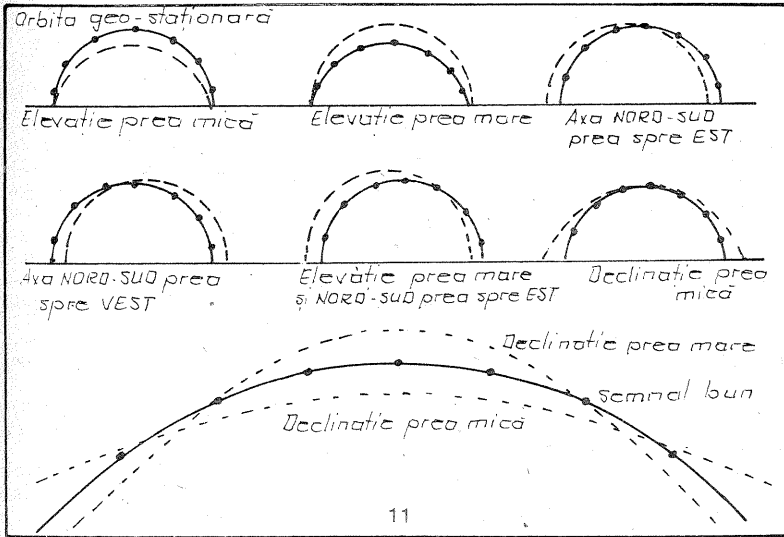
Solicitările la vînt ale unei antene nepăforate
Viteza vîntului = 160 km/h
Azimut = 60 grade
Elevație = 20 grade

FORȚE ȘI MOMENTE (kgf) (kgf.cm)	DIAMETRUL ANTENEI (m)				
	1,0	1,2	1,8	2,4	3
Forța axială	747	1 078	2 437	4 306	6 728
Forța laterală	-24	-33	-77	-134	-212
Forța verticală	-269	-390	-877	-1 554	-2 429
Torsiunea	-826	-1 448	-4 663	-13 327	-29 672
Momentul față de axă	18	505	4 328	13 327	29 672
Momentul față de planul reflectorului	-265	-456	-1 548	-3 638	-7 134

TABELUL 8

Solicitările la vînt ale unei antene 25% perforate
Viteza vîntului = 160 km/h
Azimut = 60 grade
Elevație = 20 grade

FORȚE ȘI MOMENTE (kgf) (kgf.cm)	DIAMETRUL ANTENEI (m)				
	1,0	1,2	1,8	2,4	3
Forța axială	370	534	1 204	2 134	3 333
Forța laterală	71	104	231	410	642
Forța verticală	-53	-168	-377	-668	-1 043
Torsiunea	1 182	1 929	5 800	12 897	24 244
Momentul față de axă	397	895	4 140	11 078	45 869
Momentul față de planul reflectorului	282	489	1 660	3 902	7 650



TABELUL 9

Torsiunea maximă
Viteza vîntului = 160 km/h
Azimut = 120 grade
Elevație = 20 grade

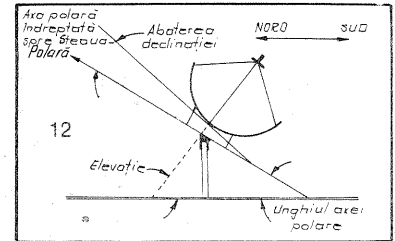
TORSIUNEA MAXIMĂ (kgf.cm)	DIAMETRUL ANTENEI (m)				
	1,0	1,2	1,8	2,4	3
Neperforată	3 157	5 243	16 823	38 525	73 869
Perforată 25%	2 813	4 696	14 866	33 962	64 978

zentate toate unghiurile ce trebuie reglate.

Cele mai multe probleme care apar la orientarea antenei sînt datorate incorectei poziționări a axei N-S. Alinierea direcției de vizare a antenei cu orbita geostaționară este de fapt problema suprapunerii a două semicercuri. Pe unul din semicercuri sînt poziționați sateliții, iar celălalt corespunde direcției de vizare a antenei.

În afară de problema de poziționare a antenei trebuie avut în vedere faptul că tot sistemul de prindere și reglare a antenei trebuie să reziste la bătaia vîntului. Pentru a preveni deteriorarea sistemului de prindere datorită forței vîntului, aceasta trebuie luată în calcul la proiectarea și realizarea sistemului de prindere.

Dacă în unele situații sîntem îngăduitori în ceea ce privește deteriorarea imaginii datorită elasticității și jocurilor sistemului de prindere, ce poate să apară pe durata unor rafale de vînt, trebuie să avem în vedere faptul că forța vîntului poate smulge antena cu totul dacă



sistemul de prindere nu este dimensionat corespunzător.

În tabelul 7 sînt date valorile diferitelor solicitări ce apar la o viteză a vîntului de 160 km/h, care este cea mai mare viteză a vîntului în localitățile urbane din țara noastră.

Datele tabelate au fost calculate pentru diferite diametre de antene, pe baza unor teste efectuate pe un model redus, într-un tunel aerodinamic.

La calculul momentului s-a considerat că distanța dintre axa pilonului și apexul reflectorului este de 15 cm.

Convertorul SHF

Folosirea sateliților artificiali pentru telecomunicații a fost imaginată pentru prima dată în anul 1945 de către englezul Arthur C. Clarke. Un astfel de satelit recepționează emisiunile transmise de către un emițător aflat pe Pămînt și le retransmite pe o altă frecvență către o anumită zonă de pe suprafața Pămîntului sau către un alt satelit. Următorul satelit poate retransmite emisiunea primită către alte regiuni geografice ale Pămîntului, invizibile pentru primul satelit.

În primul rînd, putem constata avantajele economice ale comunicațiilor prin satelit. În ciuda costului ridicat al sateliților și al rachetei purtătoare, avantajele economice sînt evidente dacă avem în vedere următoarele fapte: că o rachetă poate, în momentul de față, să pună pe orbită cinci sateliți, un satelit poate difuza aproximativ 12 canale de televiziune și mai multe programe de radio, durata de viață a unui satelit este de aproximativ zece ani, cele 12 canale pot funcționa 24 de ore din 24, deoarece energia necesară este preluată de la Soare, zonă geografică acoperită este mult mai mare decît în cazul emițătoarelor terestre, nu apar probleme de propagare datorită reliefului etc.

Pentru transmisiile TV terestre, recepția la mare distanță nu este posibilă datorită curburii Pămîntului și datorită formelor de relief care se interpun în calea undelor. Chiar dacă se crește puterea emițătoarelor, distanța maximă pe care se asigură recepția nu poate fi mărită peste o anumită limită tocmai datorită curburii Pămîntului. Există posibilitatea recepției de la mare distanță în cazul în care undele nu vin direct, ci se reflectă de straturile atmosferice superioare, puternic ionizate. Aceste transmisiile la mare distanță sînt însă sporadice și nu pot fi luate în considerare cînd este vorba de recepție constantă.

Deoarece transmisiile de pe satelit se fac în banda Ku (10,95—12,75 GHz), antenele de recepție pot fi

realizate cu un câștig de peste 30 dB, mai mare decît cel al antenelor de televiziune obișnuite. Zgomotul termic captat de antena este mult mai mic decît în cazul unei antene de televiziune obișnuite, deoarece aceasta este îndreptată spre cer. Acest fapt, cuplat cu factorul de zgomot deosebit de mic al amplificatorului de intrare, ajută de asemenea, foarte mult la realizarea legăturii. În cazul televiziunii prin satelit se folosește, atît pentru transmiterea semnalului video-complex cît și a sunetului, modulația de frecvență. Folosind modulația de frecvență se poate obține aproximativ aceeași calitate a transmisiei cu o putere de o sută de ori mai mică decît în cazul modulației în amplitudine.

Un satelit geostaționar are o orbită circulară situată în planul ecuatorial, avînd o viteză unghiulară egală cu viteza de rotație în jurul axei sale, din care cauză el pare nemîșcat dacă ar fi privit de către un observator aflat pe Pămînt.

Majoritatea sateliților geostaționari de televiziune ale căror emisiuni pot fi recepționate în Europa folosesc pentru emisie următoarele benzi de frecvențe:

1. Banda de frecvențe de la 10,95 GHz pînă la 11,7 GHz, care a fost inițial alocată telecomunicațiilor cu caracter profesional ce includ: convorbiri telefonice, programe de radio și televiziune. În momentul de față se extinde din ce în ce mai mult recepția emisiunilor difuzate în această bandă cu instalații particulare, cu toate că nivelul semnalului recepționat este mult mai mic decît cel prevăzut pentru transmisiile D.B.S. (Direct Broadcasting System).

2. Banda de frecvențe dintre 11,7 și 12,5 GHz (SHF sau supraînaltă frecvență) este alocată pentru difuzarea programelor de radio și televiziune direct din satelit (D.B.S.).

3. Banda imediat următoare, de la 12,5 la 12,75 GHz, este folosită pentru comunicații profesionale ce includ convorbiri telefonice, transmisiile

de date, programe de radio și difuziune.

Emisiunile de televiziune și radio din benzile de comunicații profesionale se pot recepționa cu antene parabolice cu un diametru de 1,5—3 m, în timp ce emisiunile D.B.S. care se vor difuza în banda 11,7—12,5 GHz se vor recepționa cu antene al căror diametru este doar de 50—90 cm.

În banda SHF de la 11,7 GHz pînă la 12,5 GHz se vor transmite 40 de canale TV. Lărgimea de bandă alocată unui canal este de 27 MHz, iar ecartul în frecvență dintre canale este de 19,18 MHz. Canalele se întrepătrund, însă emisiunile de pe două canale învecinate nu se perturbă între ele deoarece ele se transmit cu polarizări diferite. Undele radio sînt transmise cu polarizare circulară stînga sau dreapta. Sistemul de recepție poate să separe undele polarizate circular stînga față de cele polarizate circular dreapta și astfel se recepționează doar semnalele cu polarizarea dorită.

Frecvența primului canal este de 11 727,48 MHz, iar frecvența canalului 40 este de 12 475,50 MHz. Frecvența unui canal oarecare (j) se poate determina cu relația:
 $f(j) = 11 727,48 \text{ MHz} + (j-1) \cdot 19,18 \text{ MHz}$

Pentru țara noastră sînt rezervate canalele 2, 6, 10, 14 și 18, pe un satelit cu poziția orbitală 1 grad W. Acest satelit se prevede să fie operativ în anul 1992.

Purtătoarea canalelor transmise este modulată în frecvență cu o deviație maximă de 13,5 MHz.

Stabilitatea poziției sateliților față de verticala locului este de maximum 1,5 grade pe orice direcție.

Valoarea minimă a puterii pe suprafață este -103 dBW/m².

Pentru a putea recepționa în condiții bune aceste emisiuni, trebuie să se asigure un raport purtătoare/zgomot de 10 dB. Dacă folosim o antenă parabolică cu diametrul de 1,5 m, a cărei suprafață este de 1,77 m² și cu un randament de 0,6, rezultă că puterea recepționată în aceste condiții va fi de aproximativ -103 dBW.

Puterea recepționată = -103. (Suprafața antenei. Randamentul) dBW. Puterea zgomotului receptorului este în funcție de factorul de zgomot al acestuia. Dacă se cunosc factorul de zgomot al receptorului și lărgimea de bandă a acestuia, atunci puterea zgomotului termic raportată la intrare se poate calcula cu relația:

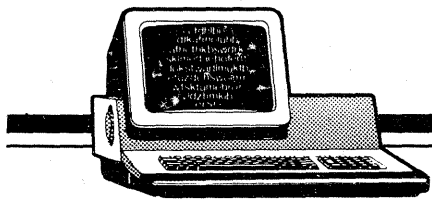
$$P_n = 10 \cdot \log_{10} \{ k \cdot B \cdot 290 \cdot [10(F/10) - 1] \}$$

unde: k este constanta lui Boltzmann, $k = 1,38062 \cdot 10^{-23} \text{ J/K}$, B este banda de frecvență a receptorului, în Hz, F este factorul de zgomot al receptorului, în dB.

Dacă lărgimea de bandă a receptorului este de 30 MHz, iar factorul de zgomot este de 10 dB, atunci puterea zgomotului generat în această bandă de frecvență este de -119,6 dBW. În această situație rezultă că raportul purtătoare/zgomot va fi de (119,6—103) dB=16 dB. În acest caz rezultă că recepția se poate realiza folosind un convertor simplu cu mixer direct, fără a utiliza un amplificator de intrare cu zgomot mic, care este deosebit de dificil de realizat. În cazul în care radioamatorul dorește să experimenteze și să regleze receptorul său folosind semnalul de la unul din sateliții existenți, atunci situația este puțin mai dificilă. Cel mai puternic semnal ce se poate recepționa în țara noastră în banda Ku este transmis de transponderul nr. 8 de pe satelitul ECS 1 și are intensitatea de -118 dBW/m². În această situație, dacă factorul de zgomot al receptorului este de 7 dB, atunci raportul purtătoare/zgomot obținut la recepție este de 5,2 dB. Dacă se realizează un receptor cu un prag de demodulare de 6 dB, atunci se poate obține în aceste condiții o imagine cu multe defecte. Situația se poate îmbunătăți într-o anumită privință dacă se îngustează banda de frecvență a receptorului.

Realizarea unui convertor cu mixer direct al cărui factor de zgomot să fie de maximum 7 dB este destul de dificilă.

(CONTINUARE ÎN NR. VIITOR)



INFORMATIA

CALCULATORUL ELECTRONIC INTRE DOUA GENERAȚII

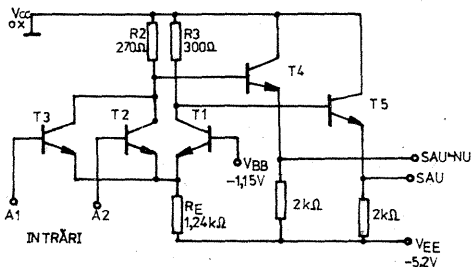
COMPONENTE-TEHNOLOGII

Ing. MIHAELA GORODCOV

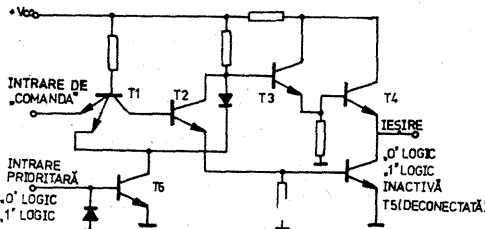
(URMARE DIN NR. TRECUT)

Fără a insista prea mult asupra lor, trebuie totuși să amintim pe scurt și alte familii importante de circuite integrate, dintre care ECL (Emitter Coupled Logic), PMOS și NMOS, CMOS și altele. Familia ECL se caracterizează, în principal, prin faptul că saturația este evitată prin funcționarea în clasă A a tranzistoarelor, motiv pentru care circuitele ECL au o bună comportare la frecvențe de ordinul gigahertzilor, față de 100 MHz pentru Schottky sau 10 MHz pentru MOS.

PMOS și NMOS (NMOS cu viteză de lucru aproape dublă față de PMOS) prezintă, față de celelalte familii, mai multe avantaje: consum de putere mai redus, structură mai simplă, suprafață mai mică de siliciu necesară, densitate mai mare; mai mult decât atât, familiile MOS se pretează la un mod de funcționare de „neconcepțut” pentru TTL sau ECL (bipolare): funcționarea dinamică, ce face apel la o caracteristică proprie acestor circuite, capacitatea internă; aceasta permite o stocare temporară a informației, ceea ce le recomandă cu succes pentru circuite de memorie (după cum vom vedea mai târziu). Există, de ase-



1. Un exemplu de poartă ECL



2. Principiul unei porți TTL „three states”.

menea, chiar și variante NMOS, dintre care, una dintre acestea, VMOS (Vertical MOS), prezintă un câștig remarcabil de viteză.

CMOS (Complementary MOS) bate toate recordurile în materie de consum de energie și se caracterizează prin faptul că în interiorul unei astfel de porți sînt legate între ele 2 tranzistoare de tip NMOS și PMOS; un dezavantaj important îl reprezintă viteza de lucru destul de scăzută. Cu ajutorul familiei CMOS se pot atinge frecvențe de lucru destul de ridicate (comparabile cu cea a bipolarelor Schottky), dacă se utilizează un substrat izolant (safir), tehnologie numită, de altfel, și SOS (Silicon On Sapphire); ea se caracterizează prin faptul că tranzistoarele sînt formate tot din siliciu depus sub forma unor „însule” pe substratul de safir.

²L, o tehnologie ceva mai recentă (Integrated Injection Logic), are în vedere logica bipolară. Structura porții fundamentale este foarte simplă și consumul foarte scăzut, deci oferă posibilitatea unei densități mari de integrare.

Alte tehnologii notabile, pe care le vom trece în revistă pe scurt, deoarece pe parcursul serialului nostru ne vom mai referi la ele, sînt: implantarea

ionică, logica „3 stări”, circuitele cu transfer de sarcină etc.

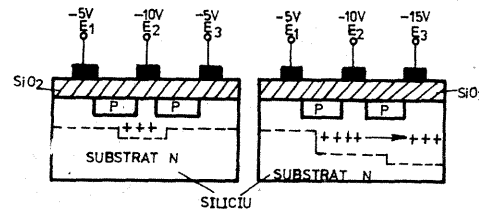
Implantarea ionică are în vedere faptul că doparea cu impurități nu se efectuează prin difuzie la temperatură ridicată, ci prin „bombardarea” substratului de siliciu cu impurități sub formă de ioni. Avantajul major constă în aceea că se câștigă mult în precizia profilului dopajului, fapt important la densități mari de împachetare.

Logica „3 stări” („three states”) se caracterizează prin faptul că poarta propriu-zisă a fost modificată, conferindu-i-se încă o stare — inactivă — în afara celor „standard”, „0” logic și „1” logic. În figura 2 se poate vedea o poartă TTL modificată; scopul acestei tehnologii este de a putea conecta mai multe „ieșiri” la aceeași linie de magistrală. Același principiu poate fi aplicat și circuitelor bazate pe tranzistoare MOS.

Circuitele cu transfer de sarcină (CTD = Charge Transfer Devices) au o structură foarte simplă, comparativ cu celelalte, avînd 2 electrozi metalici într-un substrat de siliciu N; polarizația aplicată celor 2 electrozi conduce la apariția unor sarcini electronice în substratul de siliciu; variind succesiv polarizația, se realizează o deplasare a sarcinilor, o tehnică standard utilizînd 3 faze de comandă. În acest caz, sarcinile puțin și decalate la comandă, se obține un registru capabil de a funcționa ca o memorie dinamică. Este motivul pentru care aceste circuite sînt folosite mai ales la memorii.

Aceasta a fost o foarte sumară trecere în revistă a unora dintre cele mai importante familii și tehnologii de circuite integrate.

În numerele următoare vă propunem o scurtă incursiune în operațiile aritmetice și logice, pentru a înțelege mai bine „mecanismul” de funcționare a unui microcalculator.



3. Principiul de comandă al CCD

(URMARE DIN NR. TRECUT)

SPECTUM PRINTER 7040 MACRO-80 3.36 17-Mar-80 PAGE 1

```

TITLE SPECTUM PRINTER 7040
.Z80
;
;
; SPECTUM PROM #0800 TO #0FFF
; FOR THE LRC 7040 PRINTER I/F
; *****
;
.PHASE 0800H
CLADDR EQU 0E9BH
BREAK EQU 1F54H
PRN EQU 0FBH
DEFS 0EACH-800H
COPY: DI ; copy screen
LD B,24 ; 24 lines
COPY1: PUSH BC
CALL CLADDR
LD DE,256
CALL CPLINE
PDP BC
DJNZ COPY1
JR CPEND
BRKEX: EI ; BREAK-cont repeats
CALL CLRPB
RST 08
DEFB 0CH
CPCONT: DEC L
OR L ; con't from CPLINE
INC A
JP NZ,PCHR ; check for line end
RET
;
SPARE1: DEFS 0ECDH-SPARE1
;
COPYBF: DI ; copy printer buffer
LD HL,5600H
LD DE,32
CALL CPLINE
CPEND: EI
SPARE2: REPT 0EDFH-SPARE2
NOP
ENDM
OED8 00 +
OED9 00 +
OEDA 00 +
OEDB 00 +
OEDC 00 +

```

INTERFAȚĂ ZX-PRINTER PENTRU HC-85

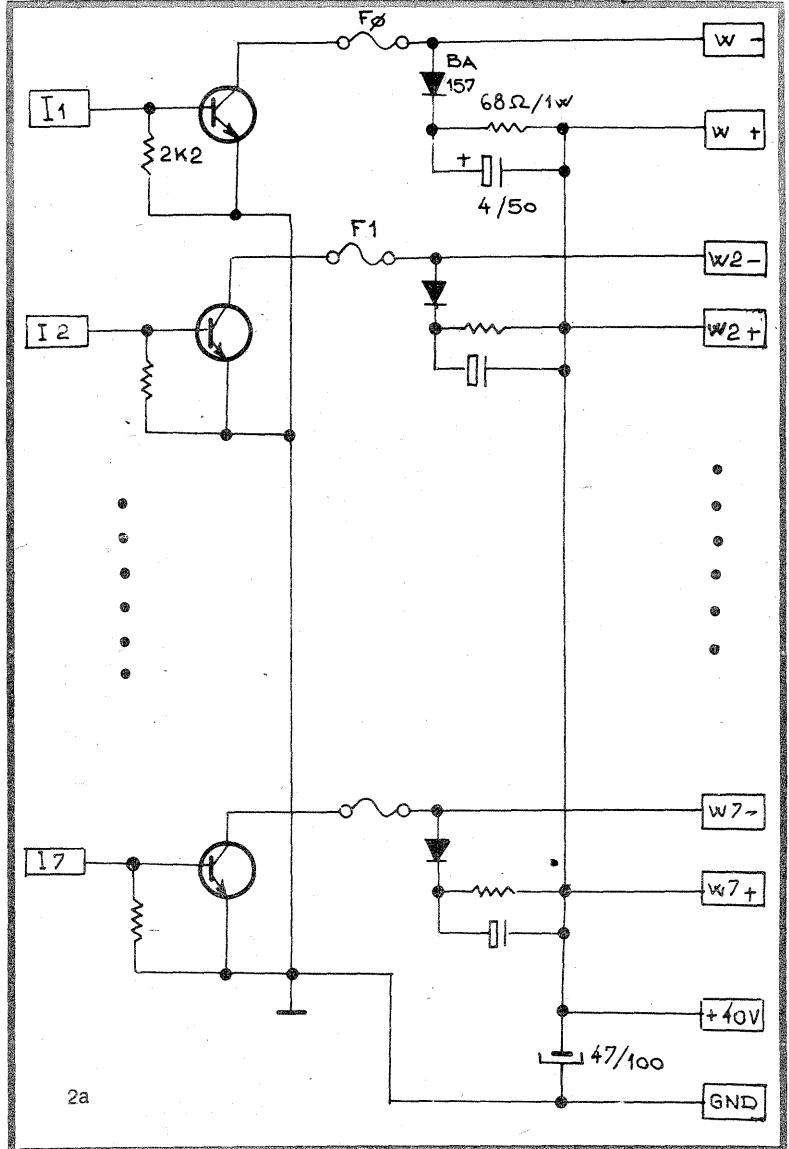
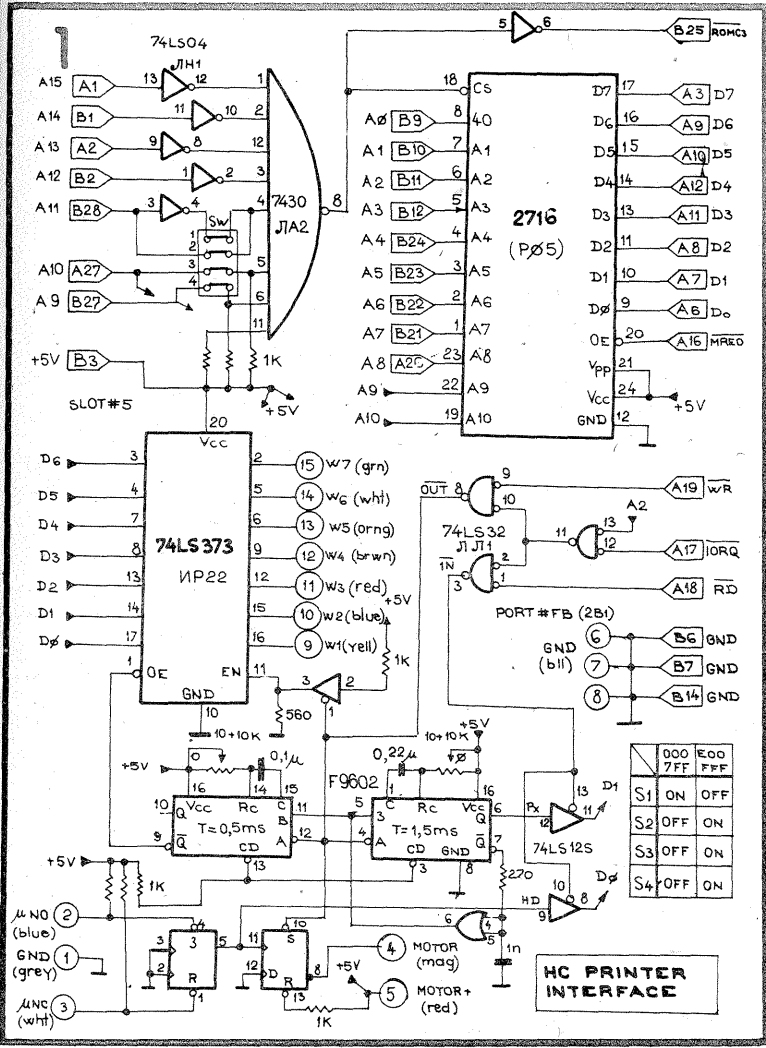
Ing. C. COLONATI

SPECTUM PRINTER 7040 MACRO-80 3.36 17-Mar-80 PAGE 1-1

```

OEDD 00 +
OEDE 00 +
O010
OEDF 21 00 5B FD
OEE3 75 46 AF 47
OEE7 77 23 10 FC
OEEB FD CB 30 8E
OEEF 0E 21 C3 D9
OEF3 0D
O00A
OEF4 01 001F
OEF7 09
OEF8 19
OEF9 CD 1F54
OEF0 30 C0
OEF1 DB FB
OEF2 E6 01
OEF3 28 FA
OEF4 AF
OEF5 D3 FB
OEF6 DB FB
OEF7 E6 01
OEF8 20 FA
OEF9 0E 08
OEF0 ES
OEF1 CB 0E
OEF2 1F
OEF3 19
OEF4 10 FA
OEF5 1F
OEF6 47
OEF7 DB FB
OEF8 E6 02
OEF9 20 FA
OEF0 78
OEF1 D3 FB
OEF2 E1
OEF3 0D
OEF4 20 E8
OEF5 3E E0
OEF6 C3 OEC4
OEF7
OEF8
OEF9
OFC0
SPARE3: DEFS 1000H-SPARE3
.DEPHASE
END

```



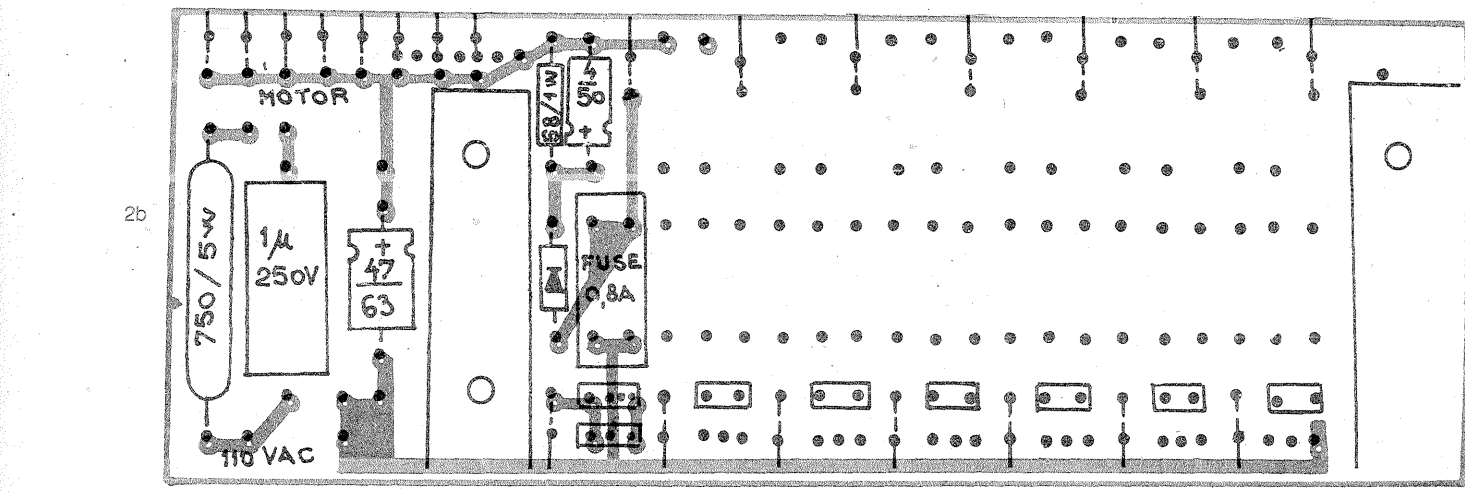
SPECTUM PRINTER 7040 MACRO-80 3.36 17-Mar-80 PAGE 5

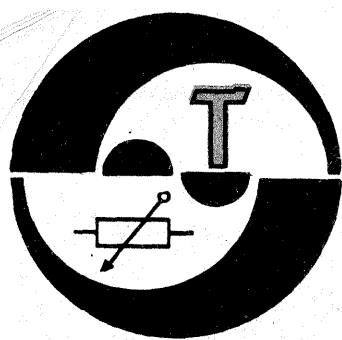
Macros:
 Symbols:
 BREAK 1F54 BRKEX OE8E CLADDR OE9B CLRPB OEDF
 COPY OEAC³ COPY1 OEAF COPYBF OECD CPDNT OEC4
 CPEND OED7 CPLINE OEF4 HEAD1 OEFE HEAD2 OF07
 PBYTE OF0F PCHR OF0D PIXEL OF12 PRN OOFB
 SPARE1 OECB SPARE2 OED8 SPARE3 OF2C WAITPX OF1A

No Fatal error(s)
 A>TYPE B:LRC.PRN

```

DUMP B:LRC.PRN
0000 FF FF FF FF FF FF FF FF FF FF FF FF FF FF FF FF
0010 FF FF FF FF FF FF FF FF FF FF FF FF FF FF FF FF
0020 FF FF FF FF FF FF FF FF FF FF FF FF FF FF FF FF
0030 FF FF FF FF FF FF FF FF FF FF FF FF FF FF FF FF
0040 FF FF FF FF FF FF FF FF FF FF FF FF FF FF FF FF
0050 FF FF FF FF FF FF FF FF FF FF FF FF FF FF FF FF
0060 FF FF FF FF FF FF FF FF FF FF FF FF FF FF FF FF
0070 FF FF FF FF FF FF FF FF FF FF FF FF FF FF FF FF
0080 FF FF FF FF FF FF FF FF FF FF FF FF FF FF FF FF
0090 FF FF FF FF FF FF FF FF FF FF FF FF FF FF FF FF
00A0 FF FF FF FF FF FF FF FF FF FF FF FF FF FF FF FF
00B0 FF FF FF FF FF FF FF FF FF FF FF FF FF FF FF FF
00C0 FF FF FF FF FF FF FF FF FF FF FF FF FF FF FF FF
00D0 FF FF FF FF FF FF FF FF FF FF FF FF FF FF FF FF
00E0 FF FF FF FF FF FF FF FF FF FF FF FF FF FF FF FF
00F0 FF FF FF FF FF FF FF FF FF FF FF FF FF FF FF FF
0100 FF FF FF FF FF FF FF FF FF FF FF FF FF FF FF FF
0110 FF FF FF FF FF FF FF FF FF FF FF FF FF FF FF FF
0120 FF FF FF FF FF FF FF FF FF FF FF FF FF FF FF FF
0130 FF FF FF FF FF FF FF FF FF FF FF FF FF FF FF FF
0140 FF FF FF FF FF FF FF FF FF FF FF FF FF FF FF FF
0150 FF FF FF FF FF FF FF FF FF FF FF FF FF FF FF FF
0160 FF FF FF FF FF FF FF FF FF FF FF FF FF FF FF FF
0170 FF FF FF FF FF FF FF FF FF FF FF FF FF FF FF FF
0180 FF FF FF FF FF FF FF FF FF FF FF FF FF FF FF FF
0190 FF FF FF FF FF FF FF FF FF FF FF FF FF FF FF FF
01A0 FF FF FF FF FF FF FF FF FF FF FF FF FF FF FF FF
01B0 FF FF FF FF FF FF FF FF FF FF FF FF FF FF FF FF
01C0 FF FF FF FF FF FF FF FF FF FF FF FF FF FF FF FF
01D0 FF FF FF FF FF FF FF FF FF FF FF FF FF FF FF FF
01E0 FF FF FF FF FF FF FF FF FF FF FF FF FF FF FF FF
01F0 FF FF FF FF FF FF FF FF FF FF FF FF FF FF FF FF
0200 FF FF FF FF FF FF FF FF FF FF FF FF FF FF FF FF
0210 FF FF FF FF FF FF FF FF FF FF FF FF FF FF FF FF
0220 FF FF FF FF FF FF FF FF FF FF FF FF FF FF FF FF
0230 FF FF FF FF FF FF FF FF FF FF FF FF FF FF FF FF
0240 FF FF FF FF FF FF FF FF FF FF FF FF FF FF FF FF
0250 FF FF FF FF FF FF FF FF FF FF FF FF FF FF FF FF
0260 FF FF FF FF FF FF FF FF FF FF FF FF FF FF FF FF
0270 FF FF FF FF FF FF FF FF FF FF FF FF FF FF FF FF
0280 FF FF FF FF FF FF FF FF FF FF FF FF FF FF FF FF
0290 FF FF FF FF FF FF FF FF FF FF FF FF FF FF FF FF
02A0 FF FF FF FF FF FF FF FF FF FF FF FF FF FF FF FF
02B0 FF FF FF FF FF FF FF FF FF FF FF FF FF FF FF FF
02C0 FF FF FF FF FF FF FF FF FF FF FF FF FF FF FF FF
02D0 FF FF FF FF FF FF FF FF FF FF FF FF FF FF FF FF
02E0 FF FF FF FF FF FF FF FF FF FF FF FF FF FF FF FF
02F0 FF FF FF FF FF FF FF FF FF FF FF FF FF FF FF FF
0300 FF FF FF FF FF FF FF FF FF FF FF FF FF FF FF FF
0310 FF FF FF FF FF FF FF FF FF FF FF FF FF FF FF FF
0320 FF FF FF FF FF FF FF FF FF FF FF FF FF FF FF FF
0330 FF FF FF FF FF FF FF FF FF FF FF FF FF FF FF FF
0340 FF FF FF FF FF FF FF FF FF FF FF FF FF FF FF FF
0350 FF FF FF FF FF FF FF FF FF FF FF FF FF FF FF FF
0360 FF FF FF FF FF FF FF FF FF FF FF FF FF FF FF FF
0370 FF FF FF FF FF FF FF FF FF FF FF FF FF FF FF FF
0380 FF FF FF FF FF FF FF FF FF FF FF FF FF FF FF FF
0390 FF FF FF FF FF FF FF FF FF FF FF FF FF FF FF FF
03A0 FF FF FF FF FF FF FF FF FF FF FF FF FF FF FF FF
03B0 FF FF FF FF FF FF FF FF FF FF FF FF FF FF FF FF
03C0 FF FF FF FF FF FF FF FF FF FF FF FF FF FF FF FF
03D0 FF FF FF FF FF FF FF FF FF FF FF FF FF FF FF FF
03E0 FF FF FF FF FF FF FF FF FF FF FF FF FF FF FF FF
03F0 FF FF FF FF FF FF FF FF FF FF FF FF FF FF FF FF
0400 FF FF FF FF FF FF FF FF FF FF FF FF FF FF FF FF
0410 FF FF FF FF FF FF FF FF FF FF FF FF FF FF FF FF
0420 FF FF FF FF FF FF FF FF FF FF FF FF FF FF FF FF
0430 FF FF FF FF FF FF FF FF FF FF FF FF FF FF FF FF
0440 FF FF FF FF FF FF FF FF FF FF FF FF FF FF FF FF
0450 FF FF FF FF FF FF FF FF FF FF FF FF FF FF FF FF
0460 FF FF FF FF FF FF FF FF FF FF FF FF FF FF FF FF
0470 FF FF FF FF FF FF FF FF FF FF FF FF FF FF FF FF
0480 FF FF FF FF FF FF FF FF FF FF FF FF FF FF FF FF
0490 FF FF FF FF FF FF FF FF FF FF FF FF FF FF FF FF
04A0 FF FF FF FF FF FF FF FF FF FF FF FF FF FF FF FF
04B0 FF FF FF FF FF FF FF FF FF FF FF FF FF FF FF FF
04C0 FF FF FF FF FF FF FF FF FF FF FF FF FF FF FF FF
04D0 FF FF FF FF FF FF FF FF FF FF FF FF FF FF FF FF
04E0 FF FF FF FF FF FF FF FF FF FF FF FF FF FF FF FF
04F0 FF FF FF FF FF FF FF FF FF FF FF FF FF FF FF FF
0500 FF FF FF FF FF FF FF FF FF FF FF FF FF FF FF FF
0510 FF FF FF FF FF FF FF FF FF FF FF FF FF FF FF FF
0520 FF FF FF FF FF FF FF FF FF FF FF FF FF FF FF FF
0530 FF FF FF FF FF FF FF FF FF FF FF FF FF FF FF FF
0540 FF FF FF FF FF FF FF FF FF FF FF FF FF FF FF FF
0550 FF FF FF FF FF FF FF FF FF FF FF FF FF FF FF FF
0560 FF FF FF FF FF FF FF FF FF FF FF FF FF FF FF FF
0570 FF FF FF FF FF FF FF FF FF FF FF FF FF FF FF FF
0580 FF FF FF FF FF FF FF FF FF FF FF FF FF FF FF FF
0590 FF FF FF FF FF FF FF FF FF FF FF FF FF FF FF FF
05A0 FF FF FF FF FF FF FF FF FF FF FF FF FF FF FF FF
05B0 FF FF FF FF FF FF FF FF FF FF FF FF FF FF FF FF
05C0 FF FF FF FF FF FF FF FF FF FF FF FF FF FF FF FF
05D0 FF FF FF FF FF FF FF FF FF FF FF FF FF FF FF FF
05E0 FF FF FF FF FF FF FF FF FF FF FF FF FF FF FF FF
05F0 FF FF FF FF FF FF FF FF FF FF FF FF FF FF FF FF
0600 CD 9B 0E 0E 08 C5 E5 78 E6 07 78 20 0C EB 21 E0
0610 F8 19 EB 01 20 00 30 ED 80 EB 21 E0 FF 19 EB 47
0620 E6 07 0F 0F 4F 78 04 00 54 50 36 00 13 ED 80 11 01
0630 20 DB E1 24 C1 00 20 CD 88 0E 21 E0 FF 19 EB
0640 ED 80 06 01 C5 CD 9B 0E 0E 08 C5 E5 78 E6 07 0F
0650 0F 0F 4F 78 04 00 54 50 36 00 13 ED 80 11 01
0660 07 19 3B E6 F8 47 20 E5 E1 24 C1 00 20 DC CD 88
0670 0E 62 68 13 3A 8D 50 FD CB 02 46 28 03 3A 48 5C
0680 77 0B ED D0 C1 0E 21 C9 7C 0F 0F 0F 3B F6 50 67
0690 ED 81 68 29 29 29 29 44 40 C9 3E 18 90 57 0F
06A0 0F 0F E8 60 6F 7A 64 18 F8 40 87 C9 F3 06 18 C5
06B0 CD 9B 0E 11 00 01 CD F4 0E C1 10 F3 18 13 FE CD
06C0 DF 0E 0F 0C 2D B5 3C C2 00 0F C9 04 AA F3 21 00
06D0 5B 11 20 00 CD F4 0E FB 00 00 00 00 00 00 21
06E0 00 5B FD 75 46 AF 47 77 23 10 FC FD CB 30 8E 0E
06F0 21 C3 D9 00 01 1F 00 09 19 CD 54 1F 30 0C DB FB
0700 56 01 28 FA AF D3 FB DE FB E6 01 20 FA 0E 08 E5
0710 08 07 CB 0E 1F 19 10 FA 1F 47 DB FE E6 02 20 FA
0720 78 D3 FB E1 00 20 E8 3E ED C3 C4 0E 2A 20 5C E5
0730 21 7F 10 E5 ED 73 30 9C CD D4 15 F5 16 00 FD 5E
0740 FF 21 C8 00 CD B5 03 F1 21 38 0F E5 FE 18 30 31
0750 FE 07 38 2D FE 10 38 3A 01 02 00 57 FE 16 38 0C
0760 03 FD CB 37 7E CA 1E 10 CD D4 15 5F CD D4 15 D5
0770 2A 5B 5C FD CB 07 84 CD 55 16 C1 23 70 23 71 18
0780 0A FD CB 07 86 2A 5B 5C CD 52 16 12 13 ED 53 5B
0790 5C C9 5F 16 00 21 99 0F 19 9E 19 E5 2A 5B 5C C9
07A0 09 66 6A 50 B5 70 7E CF D4 2A 49 5C FB CB 37 61
07B0 C2 97 10 CD 0E 19 CD 95 1A 7A 83 CA 97 19 85 23
07C0 4E 23 46 21 0A 00 09 4A 4D CD 05 1F CD 07 10 2A
07D0 51 5C E3 E5 3E CF CD 01 16 E1 2B FD 35 0D CD 35
07E0 18 FD 34 0F 2A 59 5C 23 25 23 24 5B 5C E1 CD
07F0 15 16 C9 FD CB 37 6E 20 68 21 49 5C CD 0F 19 18
  
```





CITITORII RECOMANDĂ

SURSĂ STABILIZATĂ

Student VALENTIN RUSU

Pentru a veni în sprijinul constructorilor amatori de sisteme logice TTL, prezentăm în continuare o sursă stabilizată de 5 V/3 A, cu schema din figura 1.

Configurația aleasă pentru această schemă este cu reacție de tip paralel-paralel. Amplificatorul este construit cu tranzistorul T1. Pentru a avea o comportare cât mai bună în impulsuri, este recomandabil ca acest etaj să fie echipat cu un tranzistor de comutație. Sarcina acestui etaj o constituie tranzistorul T2, folosit aici drept

generator de curent constant (ca sarcină activă), în paralel cu rezistența de intrare a etajului de ieșire de tip Darlington, T3 și T4, atât timp cât curentul de ieșire este sub 3 A. În această situație T5, care are rolul de protecție la supracurent, este blocat. De asemenea, se observă că rezistențele R1 și R2 în acest caz nu intervin în funcționarea schemei, deoarece tensiunea la bornele lor este practic nulă, dat fiind câștigul foarte apropiat de unitate al etajului de ieșire.

Reacția este asigurată prin dioda

Zener, polarizată la curent constant prin R5, având în vedere că aceasta este conectată în paralel cu joncțiunea BE a lui T1. Deci tensiunea de ieșire va avea valoarea:

$$V_0 = 0,7 + V_Z$$

Coefficientul termic al acestei surse este negativ și are valoarea de cca -2 mA/°C (este cauzat de coeficienții termici negativi ai joncțiunii BE a lui T1 și diodei Zener de 4,7 V).

În cazul unui scurtcircuit la ieșire intră în funcțiune protecția la supracurent realizată cu T5, R1, R2 și R3. Tensiunea BE a lui T5 este:

$$V_{BE5} = V_{R2} + V_{R3} = V_{R2} + R3 \cdot I_0$$

T5 se saturează în momentul în care $V_{BE5} = 0,6$ V. Se observă că R2 are rolul de a micșora căderea de tensiune pe traductorul de curent R3, prin aplicarea unei fracțiuni din tensiunea $V_{BE5} + V_{BE4}$. Acest lucru permite folosirea unei valori pentru R3 mai mici, deci micșorarea rezistenței de ieșire a sursei.

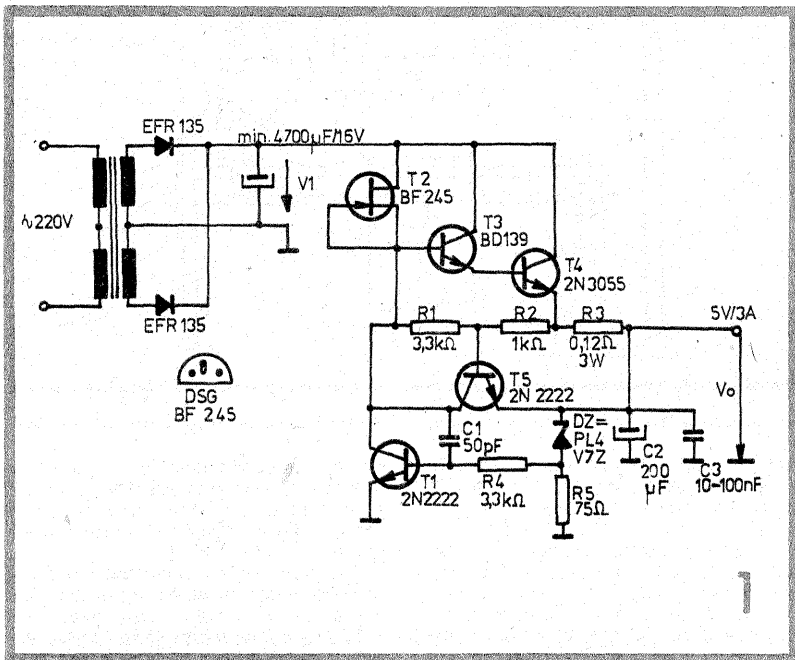
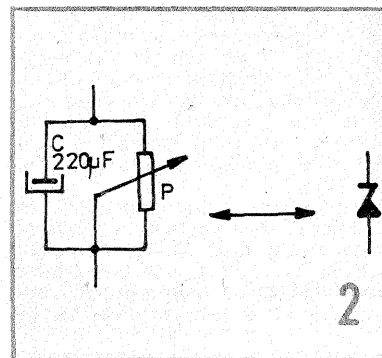
Funcționarea schemei revine la normal în mod automat după înlăturarea scurtcircuitului.

Grupul de condensatoare de la ieșire are rolul de a elimina fenomenele tranzitorii de la pornire și de a micșora rezistența de ieșire în impulsuri a sursei.

Compensarea etajului T1, având în vedere câștigul său ridicat, se face cu ajutorul rețelei R4, C1.

La realizarea practică se va avea în vedere necesitatea amplasării tranzistorului T4 pe un radiator capabil să asigure disipația de putere în cazul scurtcircuitului la ieșire. În cazul nostru acesta va avea minimum 200 cm².

Transformatorul poate fi cel utilizat în televizoarele portabile „Sport”. Diodele redresoare se vor plasa pe același radiator cu tranzistorul regulator T4, prin înșurubare directă, fără



izolație.

În încheiere, menționăm că această sursă se poate transforma ușor într-o sursă reglabilă de tensiune, autoprotejată, prin înlocuirea diodei Zener cu grupul din figura 2. Condensatorul are rolul asigurării unei rezistențe dinamice cât mai mici. În acest caz, alimentarea se poate face cu o tensiune mai mare V_1 , a cărei valoare este limitată de tensiunea de străpungeră a lui T2. Domeniul de variație al tensiunii de ieșire va fi, în acest caz, situat între $V_{min} = 0,6$ V și

$$V_{max} = V_1 - \left(0,7 + \frac{0,7 \cdot P}{R_5}\right),$$

unde P este valoarea potențiometruului.

Se va avea în vedere și redimensionarea transformatorului de alimentare în acest caz.

BIBLIOGRAFIE

Ristea I., Popescu C.A., „Stabilizatoare de tensiune”, Editura Tehnică, 1983.

ZAR ELECTRONIC

Ing. VASILE CIOBĂNIȚA, YO3APG

Cu două circuite integrate (CDB4193 și CDB400) și două tranzistoare (BC107) se poate realiza un zar electronic, diferit de cele publicate deja în revista „Tehnum”. Diferența constă în faptul că frecvența de oscilație a generatorului de tact, deci viteza de schimbare a cifrelor, scade lent în timp. Aceasta permite urmărirea vizuală a ultimelor cifre, înainte de oprire.

Porțile P1—P2 formează un oscilator astabil, a cărui frecvență de oscilație este determinată de starea de

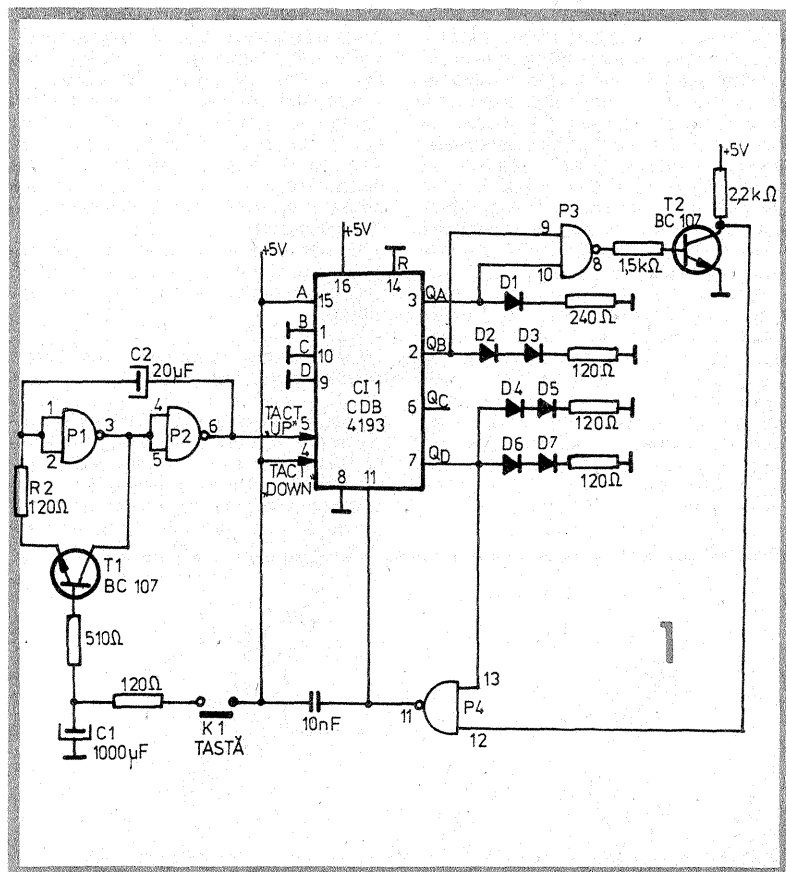
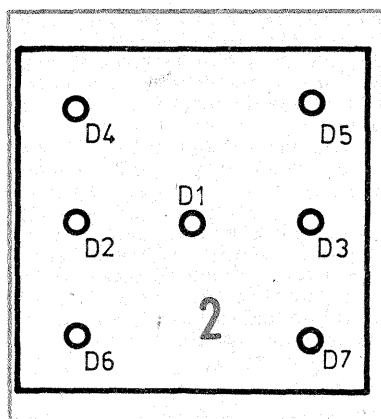
conducție a tranzistorului T1, adică de tensiunea de pe condensatorul C1. La acționarea tastei K1, acest condensator se încarcă la +5 V, iar tranzistorul T1 este complet saturat. Frecvența de oscilație este determinată de elementele R2 și C2.

Cînd tasta K1 este eliberată, condensatorul C1 începe să se descarce prin R1 și T1. Rezistența colector-emitor a tranzistorului crește, ceea ce duce la micșorarea frecvenței de oscilație. După cca 7 s tranzistorul se blochează, oscilațiile încetează și diodele vor indica un număr oarecare. Este simulată astfel mișcarea încetinită a unui zar obișnuit.

Cele șapte diode electroluminescente (MDE2101R) sînt dispuse ca în figura 2. Comanda lor este asigurată direct de circuitul CDB4193.

Informația 1000, prezentă pe intrările A, B, C și D, este încărcată pe frontul negativ al impulsurilor aplicate la pinul 11.

Cu ajutorul porților P3—P4 și al tranzistorului T2, numărătorul este comandat să numere de la 1 la 7. Starea corespunzătoare numărului 7 este menținută atît cît să aibă loc bascularea circuitelor și nu este indicată de diode. Un dezavantaj al schemei constă în faptul că numărul 3 nu este indicat pe diagonală.



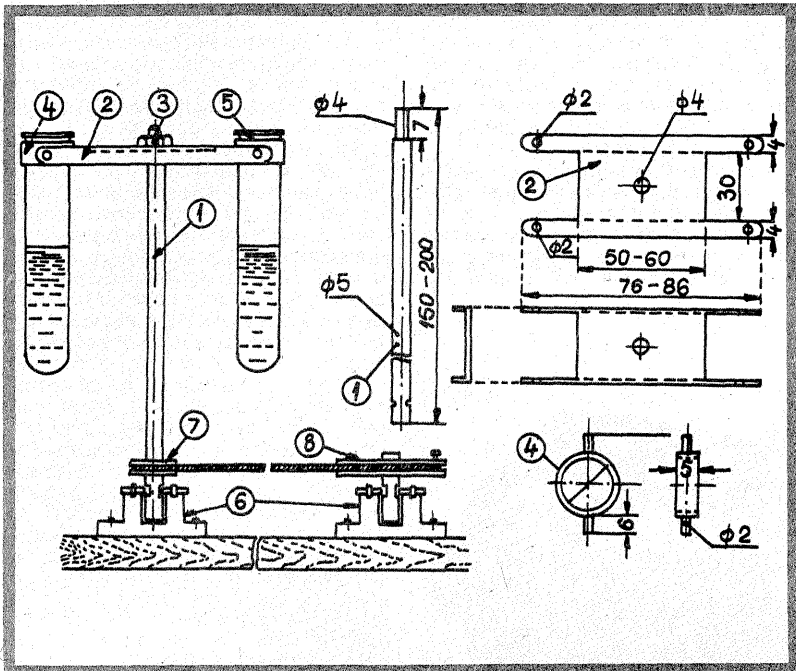
CENTRIFUGĂ DE LABORATOR

EMIL STRĂINU, Urziceni

În efectuarea unora dintre experiențele de chimie, este necesar să titrăm soluțiile care conțin impurități. În asemenea cazuri procedăm, de obicei, în două feluri: lăsăm soluția să se liniștească pînă ce s-au depus la fundul eprubetei toate impuritățile, sau trecem soluția printr-un filtru. Ambele procedee cer însă oarecare timp, ceea ce reprezintă un inconvenient, mai ales atunci cînd se cere o titrare rapidă. Metoda pe care o descriem mai jos este mult mai rapidă. Ea se bazează tot pe procedee fizice. Aplicarea acestei metode se face folosind o centri-

fugă, care se poate construi cu mijloace proprii. Eprubetele cu soluție prinse într-o astfel de centrifugă își schimbă, în timpul funcționării aparatului, poziția inițială, verticală, în poziție aproape orizontală. Datorită forței centrifuge, corpurile străine mărunte aflate în soluție se depun pe fundul eprubetelor. Cu ajutorul unei astfel de centrifuge, impuritățile se separă într-un interval de timp foarte scurt.

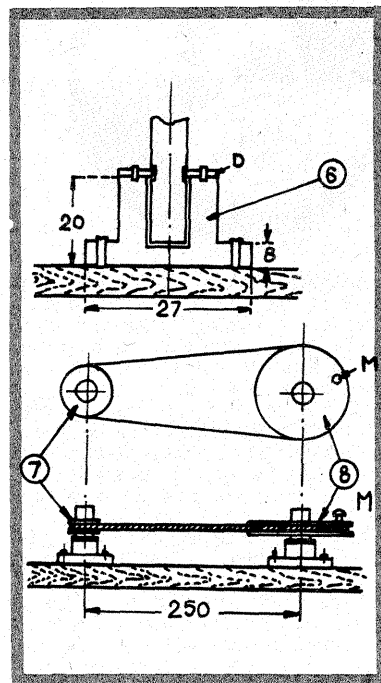
Construcția acestei centrifuge este foarte simplă, aparatul fiind compus numai din câteva piese, așa cum se vede din desenul ansamblu-



lui. Axul principal (1) se execută din oțel de 5 mm diametru și 150—200 mm lungime. Unul din capetele lui este filetat pe o lungime de 7 mm. Diametrul porțiunii filetate este de 4 mm. Piesa (2) este o traversă de care se prind eprubetele. Ea se execută din tablă de oțel de 1,5 mm grosime. Dimensiunile respective sînt indicate în figură. Distanța dintre făcile de prindere a eprubetelor se alege în raport de diametrul acestora din urmă. După ce am dat piesei (2) forma necesară, o pilim cu grijă și apoi facem la mijloc o gaură de 4 mm diametru, iar la fiecare capăt de agățare al brațelor vom face o gaură de 2 mm diametru. După aceasta îndoiți tabla după modul arătat în schiță. Inelele (4) pentru agățarea eprubetelor le confecționăm din tablă subțire de fier sau de alamă de 1 mm grosime și le lipim cu atenție. Fixăm apoi de aceste inele, prin nituire și lipire, fusuri de 2 mm grosime și 5—6 mm lungime. Inelele astfel confecționate se introduc în brațele piesei (2). Ele trebuie să se rotească cu ușurință în găurile barei purtătoare de eprubete.

Bara astfel potrivită se montează la capătul superior al axului (1). Ea se strînge bine cu ajutorul piuliței (3). Apoi se introduc prin inelele (4) eprubetele (5). Pentru susținerea axului principal construim un lagăr (6) din fier. Prin pilire se face un șanț pe ax, după cum se vede în figură. Se introduce axul în piesa (6) și apoi se prinde pe piesa (6) discul D format din două jumătăți, astfel ca axul să nu poată sări din lagăr. Piesa (6) se fixează pe un postament din lemn, cu ajutorul unor șuruburi.

Dimensiunile din figură sînt dimensiuni de orientare. Constructorul le poate schimba după posibilitățile care îi stau la îndemînă, dar trebuie să aibă grijă ca axul să se poată roti cu ușurință în lagăr. Pe ax se montează forțat o roțiță de lemn (7) cu diametrul de 20 mm și grosimea de 8 mm. La o distanță de 250 mm pe postamentul de lemn se montează un lagăr identic cu precedentul (6), în care se montează un ax de 5 mm diametru și de 40 mm



lungime, de care se fixează o roată din lemn (8) de 100 mm diametru și 8 mm grosime. Pe roată, aproape de marginea ei, se fixează un mîner M. Cele două roți sînt legate printr-o curea subțire de transmisie. La nevoie cureaua poate fi înlocuită cu o sfoară. Pentru ca sfoara sau cureaua să nu cadă de pe roți, marginile lor sînt prevăzute cu cite un șanț, așa cum se vede în desene. Pentru o bună funcționare, punem în cele două lagăre citeva picături de ulei mineral. Pentru a vedea dacă dispozitivul funcționează în bune condiții, adică dacă eprubetele se ridică în timpul rotirii spre poziția orizontală, umplem eprubetele cu apă și învîrtim la manivelă. După ce am încercat funcționarea, putem trece la executarea experiențelor noastre. Construit din materiale recuperate, aparatul se va dovedi foarte util lucrărilor de laborator.

TRABANT: PORNIREA CU AJUTORUL UNUI MONTAJ ELECTRONIC

În condițiile unor acumuloare descărcate sau de frig excesiv, pornirea motoarelor cu aprindere prin scînteie se face mai greu.

Corectarea acestui neajuns este comodă dacă se apelează la serviciile unor montaje electronice.

În acest scop s-au creat montaje la care, în timpul apariției scînteii la bujie, aceasta să nu fie de ordin singular, ci sub forma unui număr mare de scînteii care facilitează o aprindere bună a amestecului carburant.

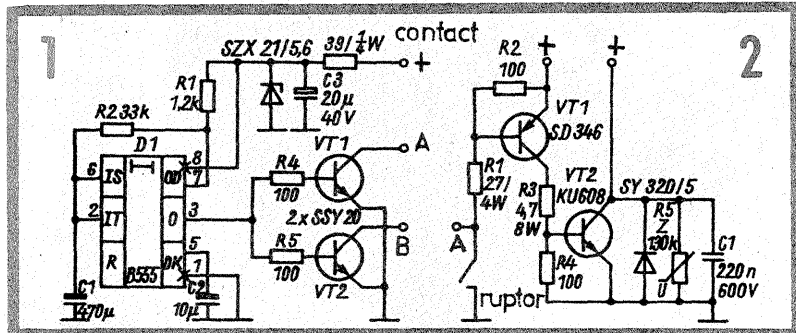
Posesorilor de autovehicule „Trabant” le recomandăm un montaj electronic care îndeplinește tocmai cerințele anterior exprimate.

În figura 1 un circuit integrat din

seria 555 lucrează ca oscilator și comandă două tranzistoare VT1 și VT2 care, la rîndul lor, comandă partea electronică montată în primarul fiecărei bobine de inducție (fig. 2).

Aici ruptorul stabilește prin tranzistorul SD346 închiderea sau deschiderea tranzistorului de putere KU608 montat în primarul bobinei de inducție. Cele două tranzistoare SSY20 sînt montate în paralel pe ruptor, transmițînd bazei tranzistoarelor SD346 trenul de impulsuri ce provoacă multitudinea de scînteii din corpul cilindrului.

Tranzistorul SSY20 are ca echivalent pe BSV52, SD346 = BD324; KU608 = BUX30.



PROTEJAREA PIESELOR CONTRA COROZIUNII

Chimist CORNEL DUMITRESCU

Alumiul este unul din metalele cu utilizarea cea mai mare în electrotehnică. Avantajul utilizării acestui metal constă în rezistența mare pe care o are față de agenții corosivi. Astfel, alumiul se oxidează la aer, oxidul format fiind superficial, ceea ce împiedică coroziunea în profunzime. Oxidarea superficială a alumiului poate fi observată în timp prin pierderea luciului metalic, oxidul format (Al_2O_3) fiind insolubil, deci foarte rezistent față de agenții corosivi.

Colorarea chimică

Piesele din alumiul și duralumiul se curată mai întîi cu benzină pentru degresare (urme de vaselină, ulei, smoală etc.). Se prepară o soluție de hidroxid de sodiu (sodă caustică) prin dizolvarea a 15—25 g hidroxid de sodiu într-un litru de apă rece. Deoarece la dizolvare are loc o mare degajare de căldură, vasul de sticlă (paharul Berzelius), pentru a nu se sparge, se va introduce într-un alt vas mai mare (o cratiță sau oală) în care s-a pus apă răcită cu cubulețe de gheață preparate la frigider. În acest fel, pereții exteriori ai paharului Berzelius vor fi

răciți în permanență. Pentru ca dizolvarea să se producă normal, se va turna în cantități mici apă pînă la dizolvarea completă a hidroxidului de sodiu.

La introducerea pieselor de alumiul sau duralumiul în soluția de hidroxid de sodiu se degajă hidrogen, creînd pericolul de explozie la orice scînteie. Acest pericol poate fi îndepărtat printr-o bună aerisire a camerei în care se lucrează și în absența focului, iar dacă este timp frumos se recomandă să se lucreze afară, în aer liber.

În urma acestui tratament al pieselor cu soluția de hidroxid de sodiu se vor obține suprafețele cu asperități, care vor prezenta un aspect frumos. Culoarea pieselor va fi alb-mat. Concentrațiile mai mici, precum și durata de menținere a pieselor în soluție vor fi cele ce vor ajuta la obținerea unor nuanțe dorite de alb. Pentru ca piesele să capete un aspect și mai frumos, se vor cufunda apoi într-o soluție concentrată de oțet (9°), caldă, menținîndu-se aici 3 minute, după care se vor spăla cu multă apă și se vor șterge imediat cu o bucată de pînză uscată.

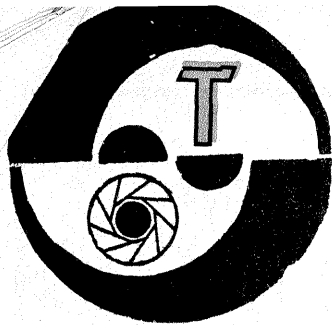


Fig. GH. BĂLUȚĂ

Aparatul **Minolta 7000**, lansat pe piață în 1985, este un reprezentant tipic al camerelor fotografice moderne, care înglobează — pe lângă optica și mecanica de precizie — o electronică avansată.

Corpul camerei este confecționat din plastic negru și cântărește 555 g (fără baterii și obiectiv). Capacul din spate este detașabil și poate fi înlocuit cu două variante de „program back” având funcții multiple.

Aparatul folosește film de 35 mm în casete uzuale (tip 135), pe care obține maximum 36 de imagini. Seizează codificarea DX pe casetă și reține astfel sensibilitatea peliculei în domeniul 25—6400 ASA. Un reglaj manual este de asemenea posibil.

Transportul peliculei este asigurat de un motor încorporat, cu viteza de 2 imagini/secundă în cazul timpilor scurți de expunere. Rebobinarea în casetă se face tot cu ajutorul motorului, la comanda fotografului. Controlul de imagini este electronic, numărul de cadre fiind afișat pe ecranul cu cristale lichide situat pe latura superioară a camerei.

Vizarea este reflex, cu prismă nedetașabilă. Geamul mat are suprafața constituită dintr-un mozaic de microlentile conice, fapt ce conferă o luminizitate sporită imaginii din vizor. Patru variante de geam mat sînt disponibile.

mului se face automat, în funcție de distanța focală folosită, chiar pentru zoom-uri care cuprind două sau toate domeniile indicate.

În plus, este posibilă o modificare manuală a programului, în sensul translatații drepte respective paralel cu ea însăși, pentru cazuri speciale. O supra sau subexpunere voită de pînă la 4 trepte (în pași de 1/2 treaptă) este posibilă de asemenea. Un buton pentru memorarea datelor de expunere permite lucrul în situațiile în care contrastul subiect-fundal este mare (tradiționalul exemplu al pisicii negre pe zăpadă...).

Dar punctul forte al camerei îl constituie sistemul autofocus (AF) de reglare automată a clarității imaginii. Într-o mică zonă centrală (marcată printr-un dreptunghi în vizor), oglinda aparatului este semi-transparentă. Porțiunea de imagine preluată de aici este reflectată în jos de o oglindă suplimentară și, dincolo de planul focal al obiectivului,

decalajul ce există între imaginile date de lentilele de separare. În funcție de sensul și mărimea acestui decalaj, se ia decizia de rotire a unui micromotor pentru focalizare. El este situat în cameră, unde valoarea deplasării unghiulare este controlată de un disc cu fante și un traductor optoelectronic, iar acționarea inelului de focalizare al obiectivului se face printr-un cuplaj mecanic prevăzut în montură.

Pentru a minimaliza timpul de focalizare, motorul se poate roti cu patru viteze distincte. Astfel, dacă decalajul dintre poziția inițială a inelului de focalizare și cea corectă este mare, motorul se rotește mai întii cu viteză maximă, apoi din ce în ce mai mică, pînă cînd realizează cu finețe poziția optimă.

Pentru a funcționa corect, sistemul AF necesită existența unei diferențe de iluminare (detalii) în zona centrală a imaginii. În caz contrar se obține un semnal de avertizare în vizor. Dacă asemenea „relief optic” nu

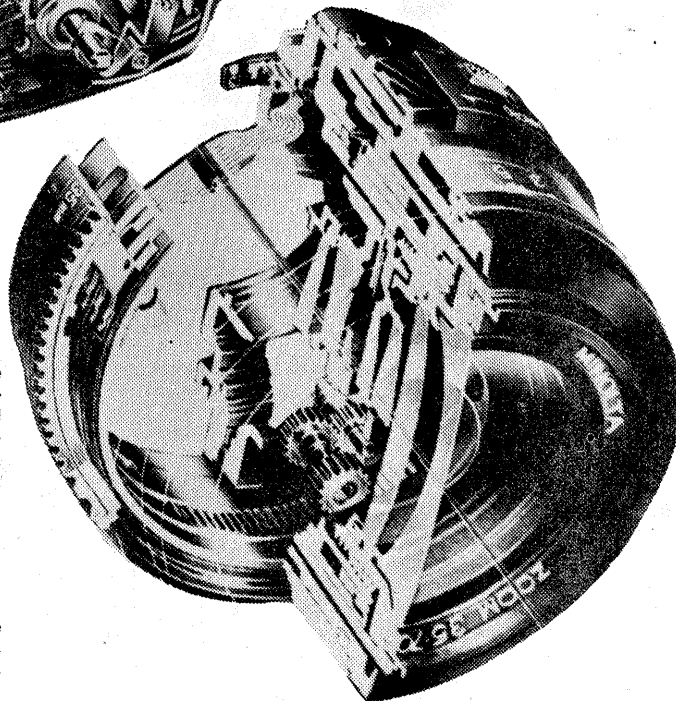
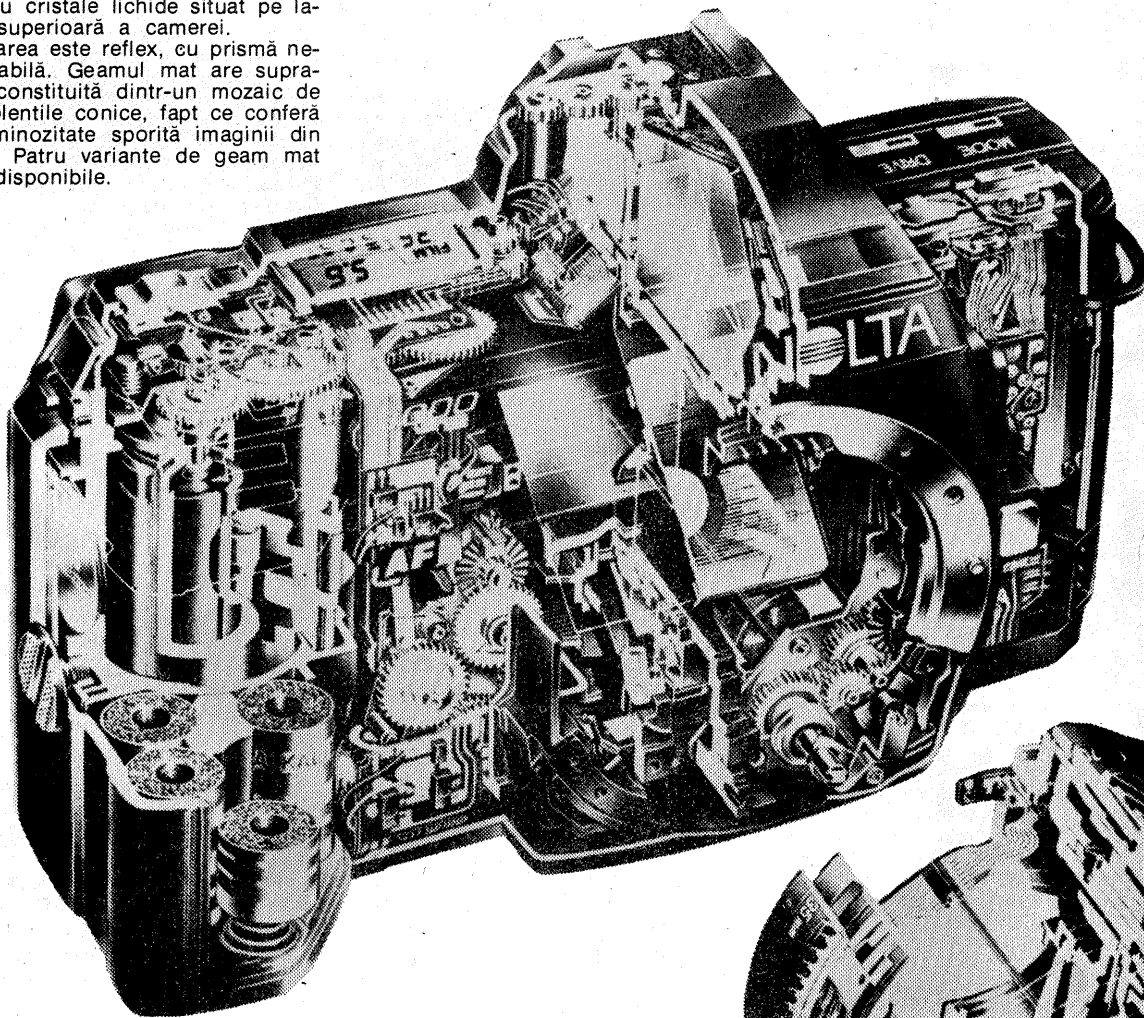
există, fotografatul schimbă încadrarea plasînd în centru un contur al subiectului, apăsă la jumătate declanșatorul — moment cînd se stabilește focalizarea corectă —, apoi reincadrează imaginea. Faptul nu trebuie să ne mire, deoarece, în fond, orice sistem telemetric clasic cere existența unor detalii în imagine pentru a le putea identifica prin suprapunere, rupere etc.

Sistemul AF lucrează pînă la iluminări de 2 EV (ceea ce corespunde, spre exemplu, unei expuneri de 1/4 s cu deschiderea f/1,4 la 100 ASA). Sistemul exponometric al camerei asigură însă expunerea corectă pînă la —4 EV. Pe intervalul —4...+2 EV se folosește focalizarea manuală, sau, la distanțe relativ reduse, se utilizează unul din bliturile speciale ale aparatului, care ajută la autofocalizare. Bliturile sînt dotate cu un LED cu emisie în infraroșu care, la apăsarea pe jumătate a declanșatorului, trimite o salvă de impulsuri „luminoase” spre subiect. În acel moment se obține informația pentru autofocus, dacă subiectul nu este mai departe de 5—7 m față de aparat.

În vizor, pe latura de jos a imaginii, trei LED-uri afișează starea sistemului de focalizare. Pe „automat”, un LED verde indică focalizarea corectă, un LED roșu semnalizează faptul că subiectul este mai aproape decît limita inferioară de punere la punct a obiectivului, iar ambele LED-uri roșii care clipește arată un contrast prea mic în zona centrală a imaginii, astfel că sistemul AF nu poate funcționa. Pe „manual” se aprinde unul din cele două LED-uri roșii (în formă de săgeată), indicînd sensul în care trebuie rotit inelul obiectivului pentru focalizare corectă, sau LED-ul verde, atunci cînd s-a ajuns la această situație.

Tot în vizor este vizibil printr-o transparentă un afișaj cu cristale lichide, ce prezintă modul de expunere (program, prioritate, manual), translatarea programului, corecțiile de expunere, sensibilitatea filmului, timpul și diafragma, descărcarea bateriilor. Cînd lumina ambientă este slabă, afișajul este automat iluminat cu ajutorul a trei becuri miniatură.

Un alt afișaj LCD, situat în partea



Obturatorul focal cu lamele avînd defilare verticală asigură timpi de expunere între 1/2 000 și 30 s, iar sincronizarea cu blitzul este posibilă pentru 1/100 s sau mai mult.

Expunerea poate fi cu program, prioritate de timp, prioritate de diafragmă sau manuală.

Sînt prevăzute trei programe (legi de variație simultană a timpului de expunere și diafragmei, în funcție de iluminarea subiectului): „standard”, „tele” și „wide”. Ele sînt adecvate pentru obiective cu focală normală (35—105 mm), teleobiective (peste 105 mm) și, respectiv, superangulare (sub 35 mm). Selecția progra-

ajunge pe două lentile separatoare. Acestea formează două imagini pe două jumătăți ale unui senzor optoelectronic tip CCD (Charge Coupled Device), compus din 128 de segmente fotosensibile. Există totdeauna un decalaj între cele două imagini dacă punerea la punct nu este corectă (asemănător cazului lupui telemetric cu rupere a imaginii de la aparatele reflex clasice). Diferența de iluminare a celor 64 de zone ale fiecărei imagini este transformată de senzor în diferență de semnale electrice. Comparînd semnalele celor 64 de perechi de senzori se obține o informație privind

de sus a carcusei, indică — pe lângă parametrii de expunere arătați mai sus — numărul de cadre expuse, durata — în cazul expunerilor lungi pînă la 99 de secunde —, modul de transport al filmului (continuu sau cadru cu cadru) și autodeclanșarea după 10 secunde.

Un semnal sonor (bip) — deconectabil la dorință — indică focalizarea corectă, semnalizează timpii lungi, cu risc de mișcare a aparatului din mînă, sfîrșitul filmului și funcționarea autodeclanșatorului.

Electronica de comandă a aparatului este complexă, echivalînd cu 150 000 de tranzistoare.

Două microprocesoare de 8 biți (CMOS) asigură controlul general al camerei și, respectiv, autofocalizarea. Ele sînt pilotate de un oscilator cu cuarț pe 4,194 MHz. La acestea se adaugă un circuit integrat specializat pentru măsurarea luminii incidente pe două fotocelule cu Si (una pentru expunere normală și alta

pentru blitz), o memorie pentru date, un circuit de comandă a display-urilor — cu un oscilator cu cuarț de 32,768 kHz — și o interfață cu servomecanismele obturatorului și diafragmei, cu flash-ul, eventuala telecomandă IR etc.

Sistemul AF utilizează, pe lângă microprocesorul specializat, un senzor CCD, o interfață cu acesta și un driver pentru motoarele de focalizare și transport al peliculei.

Alimentarea este asigurată de 4 baterii tip AAA, sau — folosind un mîner de dimensiuni mai mari — baterii tip AA (echivalent cu R6). O baterie internă cu Li (durată 10 ani) este folosită pentru memorarea datelor reglate pe aparat în cazul cînd bateriile principale sînt scoase.

Obiectivele autofocus (AF) au o montură specială (Minolta A), diferită de seriile anterioare ale firmei (MC și MD). Cinci contacte asigură cuplajul electric cu camera. În fiecare obiectiv AF există un circuit in-

tegrat — memorie ROM — ce conține datele optice și mecanice specifice: distanța focală, limitele de punere la punct și limitele de diafragmare.

O serie de 12 obiective AF, din care 6 zoom-uri, au fost lansate pe piață o dată cu camera. O mențiune pentru zoom-ul standard macro AF 35-70/4, care are doar 6 lentile și cîntărește numai 255 g. Una din lentile este asferică, formă obținută prin adăugarea unui strat de plastic transparent pe suprafața sferică a lentilei din sticlă.

„Minolta Program Back 70” este un „capac” de spate al camerei, care conține un ceas pentru comanda declanșării automate a aparatului la un timp prestabilit, la intervale anumite între expuneri sau cu deschideri îndelungate ale obturatorului (pînă la 100 de ore). Dispozitivul imprimă optic pe film 6 cifre care reprezintă la alegere: data/ora/

minutul, luna/data/anul, numărul curent al imaginii, ori un cod arbitrar.

Varianta „Super 70”, mai sofisticată, imprimă pe film datele expunerii (diafragmă, timp etc.), permite programarea cu anticipație a unor serii de declanșări cu corecții succesive de supra sau subexpunere ori cu moduri diferite de expunere și afișează pe un display LCD curba programului de expunere.

Funcționarea camerei cu blitzul „Minolta Program 4000 AF” (număr ghid 40) se face cu măsurare prin obiectiv (TTL) a luminii reflectate de subiect. Poziția reflectorului — deci lărgimea cîmpului iluminat de blitz — se reglează automat cu servomotor în funcție de distanța focală cu care se execută fotografia. Un circuit special din computerul camerei controlează folosirea blitzului ca lumină „de umplere”, cînd lumina ambiantă este intensă, dar are o direcție nefavorabilă.

REȚETE DE VIRARE

(URMARE DIN NR. TRECUT)

Ing. VASILE CĂLINESCU

ÎN ROȘU

Cunoscute sînt formulele pe bază de azotat de uraniu. O primă astfel de formulă (KODAK T17) prevede:

Soluția A Azotat de uraniu 8 g
Apă 300 ml

Soluția B Acid oxalic 4 g
Apă 300 ml

Soluția C Fericianură de potasiu 4 g
Apă 400 ml

Se amestecă soluțiile A și B, apoi se adaugă și soluția C. Soluția de lucru se obține diluînd 1:1 amestecul realizat chiar înainte de întrebuintare.

Imaginea virată trece printr-o fază inițială de brun închis, după care devine roșie. După obținerea tonului de roșu dorit, fotografia se spală cca 10 minute.

O a doua formulă cu azotat de uraniu este:

Soluția A Azotat de uraniu soluție 10% 100 ml
Oxalat neutru de potasiu soluție 10% 100 ml
Acid clorhidric 5 ml
Apă pînă la 1 000 ml

Soluția B Fericianură de potasiu 10 g
Apă 100 ml

Soluția de lucru se realizează amestecînd cele două soluții în momentul întrebuintării.

Indirect se procedează mai întîi la o albire, respectiv în soluția de albire cu clorură cuprică. După albire, se spală și se expune fotografia la lumină, introducîndu-se apoi într-una din soluțiile de mai jos:

Soluția 1 Clorură stanoasă 10 g
Acid clorhidric 1 ml
Apă 100 ml

Prin virare în această soluție se obțin tonuri de la galben la roșu date de argintul coloidal care se formează. Prin spălarea fotografiei după expunere tonurile obținute sînt roșu violet.

Soluția 2 Azotit de sodiu 10 g
Apă 500 ml

În soluția 2 se obțin tonuri roșu-violet.

ÎN GALBEN

O primă rețetă pentru virare directă în galben are la bază sulfatul de titan:

Sulfat tianic soluție 10% 100 ml
Acid oxalic soluție saturată 25 ml
Glicerină 50 ml
Alaun de potasiu soluție saturată 50 ml
Apă pînă la 1 000 ml

Culoarea obținută este galben-portocaliu. Aceeași culoare se poate obține și cu cromat de plumb, care, fiind opac, limitează aplicabilitatea formulei numai la hîrtia fotografică.

Fericianură de potasiu 12 g
Azotat de plumb 8 g
Apă (distilată) 1 000 ml

Fotografia care va fi virată se spală bine în apă distilată și apoi se introduce în soluția de virare. Se spală iarăși în apă distilată și se fixează cîteva minute într-un fixator simplu cu tiosulfat de sodiu (proaspăt). Se spală iarăși cca 10 minute și se tratează apoi într-o soluție de 10% cromat de potasiu.

Imaginea colorată astfel formată este alcătuită din cromat de plumb. Apariția unui voal galben după tratarea în soluția de azotat de plumb indică insuficienta spălare în apă distilată a fotografiei.

Indirect, virarea în galben se poate realiza printr-unul din procedeele date în continuare.

O primă baie de albire se realizează din amestecul următoarelor două soluții:

Soluția A Fericianură de potasiu 2 g
Apă 100 ml

Soluția B Iodură de potasiu 166 g^o/₁₀₀ 90 ml

Albirea durează cca 5 minute, după care fotografia se spală bine și se menține 30 s în soluția de mai jos:

Clorură mercurică 5 g
Apă 250 ml

Dat fiind caracterul toxic al clorurii mercurice, se va evita atingerea substanței, în stare solidă sau lichidă, și a ustensilelor folosite. Fotografia se manevrează exclusiv cu clestele.

Contactul este permis după o spălare abundentă.

Cantitatea de iodură de potasiu se mărește în cazul virării diazotivelor pentru a se asigura transparența imaginii colorate.

O altă soluție de albire cu ferocianură de cadmiu permite formarea de imagini galbene prin formare de sulfură de cadmiu, care, fiind opacă, limitează aplicabilitatea formulei exclusiv la hîrtia fotografică.

Citrat de sodiu 60 g
Clorură de cadmiu anhidră 10 g
Fericianură de potasiu 10 g
Amoniac 100 ml
Apă pînă la 1 000 ml

După albirea fotografiei în această soluție (cîteva minute) și o spălare eficientă în apă curgătoare, aceasta se fixează (în soluție fixatoare proaspătă) și se tratează în următoarea soluție:

Monosulfură de sodiu soluție 20% 50 ml
Apă 1 000 ml

În final fotografia se spală bine în apă curgătoare.

ÎN VERDE

O formulă de virare directă prevede realizarea soluției de virare din amestecul următoarelor două soluții, amestec care va fi făcut în momentul întrebuintării:

Soluția A: Permanganat de potasiu 2 g
Apă 1 000 ml

Soluția B: Clorură de aur 2 g
Apă 1 000 ml

Durata virării este în funcție de momentul obținerii nuanței dorite. Indirect, virarea în verde se poate realiza folosind una din următoarele trei formule.

O primă formulă cuprinde baia de albire:

Fericianură de potasiu 40 g
Amoniac 30—50 picături
Apă 1 000 ml

Virarea propriu-zisă are loc în următoarea soluție:

Sulfură de sodiu 1 g
Acid clorhidric 5 ml
Apă 1 000 ml

O a doua formulă cuprinde o baie de albire simplă:

Fericianură de potasiu 10 g
Apă 500 ml

și baia de virare următoare:

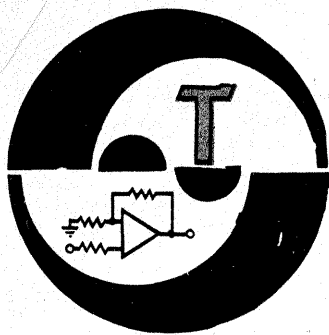
Acid clorhidric pur 5 ml
Clorură de amoniu 5 g
Clorură de vanadiu 3 g
Perclorură de fier 2,5 g
Apă 500 ml

Fotografia, bine udată, se albește și, după o spălare intermediară de cca 5 minute, se introduce în soluția de virare. În al treilea caz, fotografia se albește într-o soluție de albire cu ferocianură de potasiu sau cu fericianură de potasiu și bromură de potasiu (vezi virarea în brun).

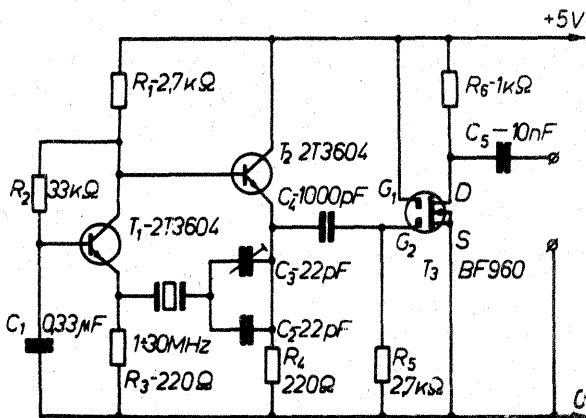
După spălarea resturilor de soluție de albire, fotografia se introduce în următoarea baie de virare:

Sulfat dublu de fier și amoniu 4 g
Bicromat de potasiu 1 g
Bromură de potasiu 1 g
Apă 200 ml

Înlăturarea colorației galbene care apare pe întreaga suprafață a fotografiei se face într-o soluție slabă de acid clorhidric (35 ml la 1 000 ml apă).



OSCILATOR

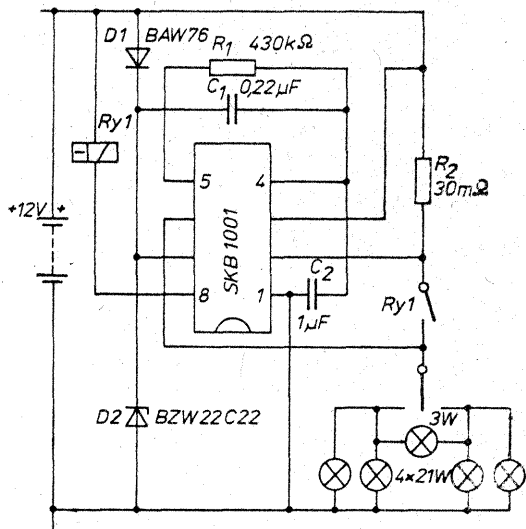


Montajul permite obținerea semnalelor de la cristale de cuarț cu frecvența proprie cuprinsă între 1 și 30 MHz.

Acest montaj este util și pentru verificarea stării de funcționare a cristalelor de cuarț.

ELEKTOR, 8/1982

SEMNALIZATOR

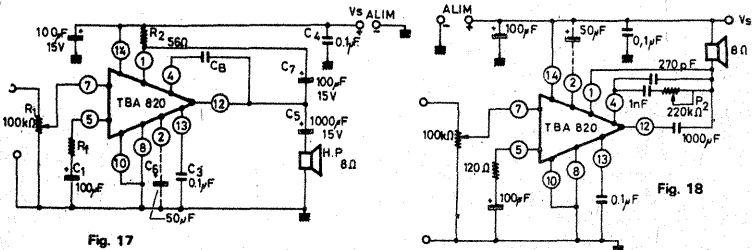


Clasicul sistem pentru semnalizarea direcției beneficiază acum de avantajele circuitelor integrate. În acest scop este folosit circuitul integrat SKB1001 sau VAA1040.

Se observă că în serie cu becurile sunt montate contactul releului și un rezistor de valoare foarte mică pentru protecție.

ELECTRONIZATIA, 12/1981

TBA 820

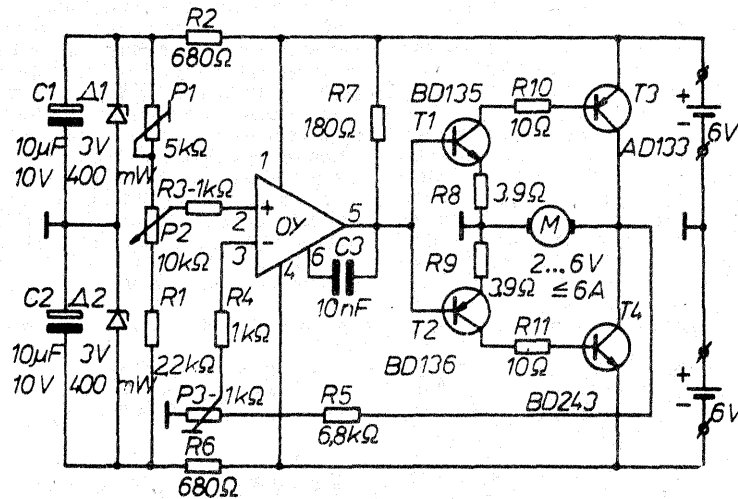


Circuitul integrat TBA820 este amplificator de putere în audiofrecvență, putând debita o putere maximă de 2 W pe o sarcină de 8 Ω când este alimentat cu 12 V. Alimentat cu 9 V, circuitul dezvoltă o pu-

tere de 1,6 W pe 4 Ω și 1,2 W pe 8 Ω. De remarcat faptul că la o alimentare de numai 3,5 V se obține o putere de 220 mW pe 4 Ω.

LE HAUT-PARLEUR, 1478

REGULATOR

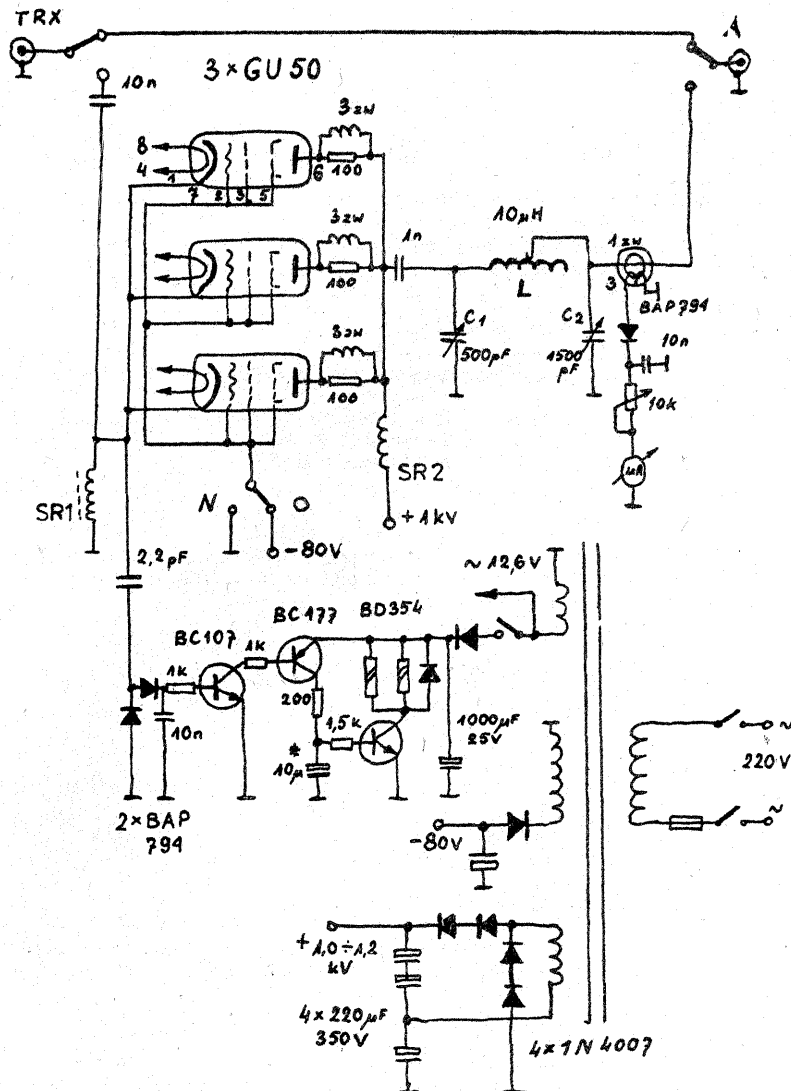


Schimbarea sensului de rotație a motoarelor de la modele se poate face pe cale electronică. Circuitul integrat de comandă este de tipul 741; trecerea de la un

sens de rotație la altul se face prin poziție de zero, situație foarte avansată și tajoasă pentru motor.

MLAD KONSTRUKTOR, 3/1986

PA 250 W



Montajul prezentat este un amplificator linear care utilizează trei tuburi de tipul GU50 (P50) montate în paralel cu grila la masă. La anoda fiecărui tub este montat un șoc RF format din 3 spire CuEm 0,6 bobinate pe un rezistor de 100 Ω. Socul SR1 are 20 de spire din

CuEm 0,3 bobinate pe un miez cu diametrul de 3 mm, iar șocul SR2 are 150 de spire CuEm 0,3 bobinate pe un suport fără miez, cu diametrul de 15 mm și lungimea de 100 mm.

PZK — BULETIN, 3/1988

ANTENĂ TV FIF-UIF

IULIAN POPOVICI, YO7DJ

Acolo unde se pot recepționa două programe TV transmise de două stații de televiziune din același loc sau din locuri diferite, dar apropiate între ele la aproximativ 15-30°, recomand utilizarea antenei descrise mai jos, care este o antenă combinată FIF-UIF, fără a fi însă de bandă largă.

Antena a fost experimentată în zone cu recepție dificilă, satisfăcând pe deplin așteptările și în momentul de față face parte din echipamentul meu de recepție TV.

Detalii constructive

Așa cum apare în schemă, antena

este calculată pentru canalele 10 și 24.

Toate elementele secțiunii de FIF sînt construite din bară sau teavă de aluminiu cu diametrul de 10 mm, care sînt prinse pe traversa de susținere prin șuruburi Ø3 mm.

Ultimul element director al secțiunii de FIF, notat în schemă cu D₁₁₋₅, este situat în originea unghiului de 100° pe care îl formează ansamblul reflector al secțiunii de UIF.

Toate elementele secțiunii de FIF sînt legate galvanic, constructiv, la traversa de susținere.

Secțiunea de UIF începe de la reflectorul R₁, care conține 8 elemente, plus ultimul element din antena de FIF, situat în originea un-

ghiului de 100°. La subansamblul R₁₁ toate elementele sînt prinse cu șuruburi și au contact galvanic; tot cu șurub direct de traversă este prins și elementul director notat „E.I.C.”, adică element de compensare. Celelalte elemente ale secțiunii de UIF, începînd cu vibratorul V₁₁ și D₁₁₋₁ ÷ D₁₁₋₁₂, nu au contact galvanic cu traversa, fiind bine izolate; constructiv ele se plasează pe niște mici plăcuțe din teflon sau fibră de sticlă, conform desenului din schemă. La centrul plăcuței se introduce un șurub Ø3 mm care se prinde de traversa suport.

Funcționarea antenei

a) Secțiunea de FIF

La semnal de televiziune în banda III-FIF (canalele 6-12 OIRT), antena funcționează în întregime, adică funcționează și secțiunea de UIF, ca directori de FIF, astfel: radiația de FIF excită primul element D₁₁₋₁₂ care, conform configurației

din desen, transferă energia captată spre următoarele elemente pînă la elementul D₁₁₋₁ apoi depășește aceste elemente cît și elementul V₁₁, dar excită elementul D₁₁₋₅ pînă la V₁₁, ce transferă această energie cablului coaxial, care este direct legat la vibratorul V₁₁, fără transformator de adaptare-simetrizare, întrucît acesta nu este necesar, avînd în vedere faptul că acesta are impedanța de 70 Ω, determinată prin calcul și construcție.

Reflectorul R₁ este situat de așa manieră în spatele vibratorului V₁, încît nu permite pătrunderea semnalelor venite din partea opusă stației pe care dorim s-o recepționăm și este constructiv astfel realizat încît o parte din energia de înaltă frecvență este concentrată pe vibratorul V₁.

b) Secțiunea de UIF

În această porțiune antena este capabilă să recepționeze semnalele UIF între canalele 21 și 35 fără a fi de bandă largă, pentru că acest lucru este determinat de construcția electrică a lui V₁₁ și de lungimea electrică a buclei de simetrizare care se atașează la V₁₁. Aici ea este calculată pentru canalul 24.

Antena funcționează numai de la R₁₁ pînă la D₁₁₋₁₂.

În schemă se mai observă elementul de compensare notat cu „E.I.C.”, care are rolul de a adapta corect impedanța antenei la impedanța cablului coaxial; prin urmare, el poate fi mișcat cîtiva milimetri în dreapta și în stînga punctului indicat pe schemă, pînă cînd se optimizează semnalul. Din teste făcute a rezultat că poate fi adus pînă la aproximativ 10 mm de V₁₁, cînd semnalul este maxim, dar nu mai mult pentru că poate introduce „umbre” sau dublări de imagine. El este singurul element, în afara lui R₁₁, care este lipit la traversă, adică are contact galvanic.

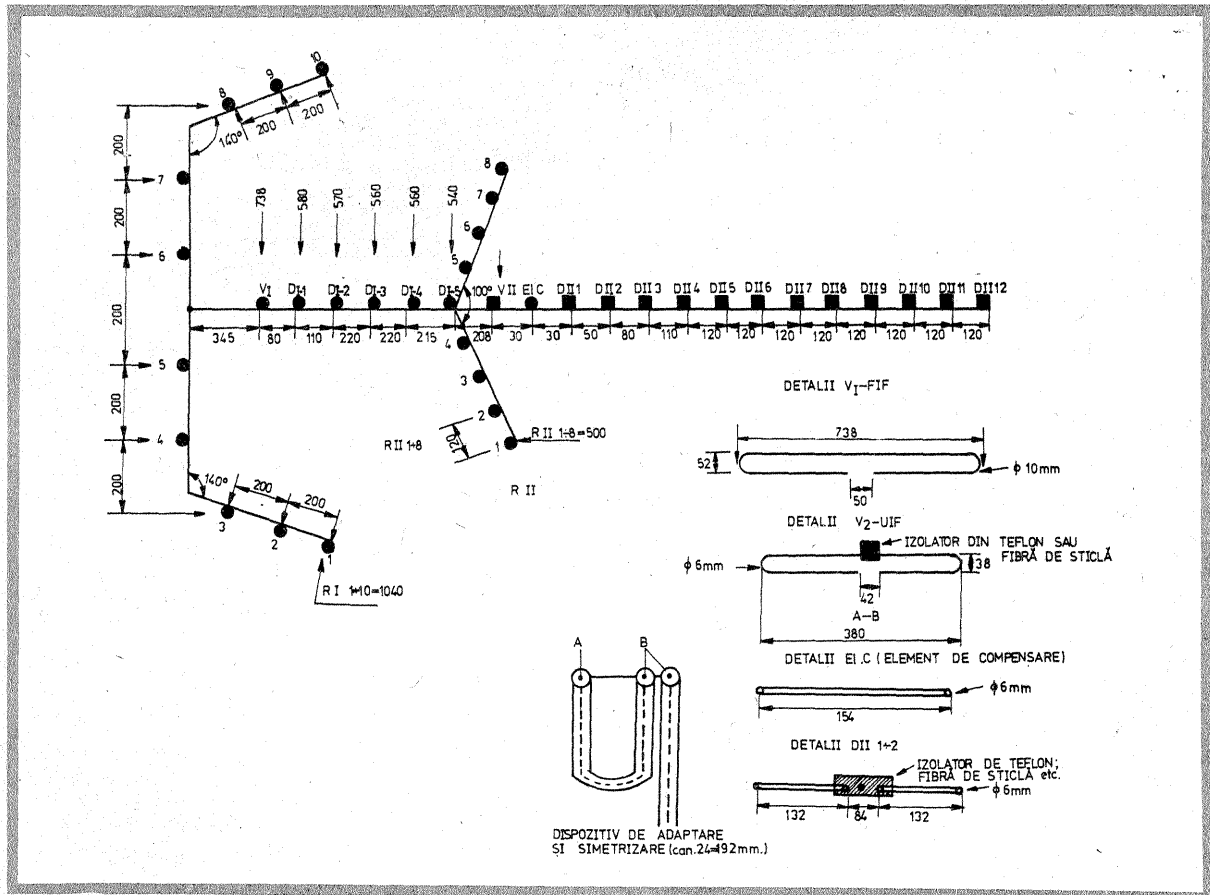
Performanțe

În banda de FIF (III — canal 10) antena are un câștig de 14 dB, iar în UIF are câștigul de aproximativ 17 dB.

Antena are o pronunțată directivitate, determinată de configurația reflectoarelor și a elementelor active, ceea ce îi conferă posibilitatea recepționării semnalelor Dx-TV. Împreună cu amplificatorul FIF-UIF publicat în „Tehnum” nr. 4/1988, această antenă echipează posibilitățile mele de recepție Dx-TV.

BIBLIOGRAFIE

WISI DOKUMENT, 1985;
KATHERINE ANTENNA BOOK, 1984.



AUDIȚIE ÎN CĂȘTI

Televizoarele nu sînt, în general, prevăzute cu o mufă exterioară destinată audiției la cască, din motive lesne de înțeles. Există însă situații particulare care ar putea beneficia de pe urma unei astfel de facilități, cum ar fi, de exemplu, audiția unui concert simfonic, redat mult mai fidel în căști (mai ales în cazul modelelor HI-FI) decît de către difuzorul de serie, adeseori puțin performant, al receptorului TV.

Adaptarea necesară în acest scop, ilustrată schematic în figură, este deosebit de simplă. De la ieșirea de difuzor a amplificatorului final AF ce echipează televizorul se întrerupe firul „cald” (c) care merge la difuzor și se conectează la borna centrală a unui comutator basculant (K) cu două poziții. Pe una din pozițiile comutatorului (borna D), semnalul AF este distribuit difuzorului, iar pe cealaltă poziție (C), semnalul este

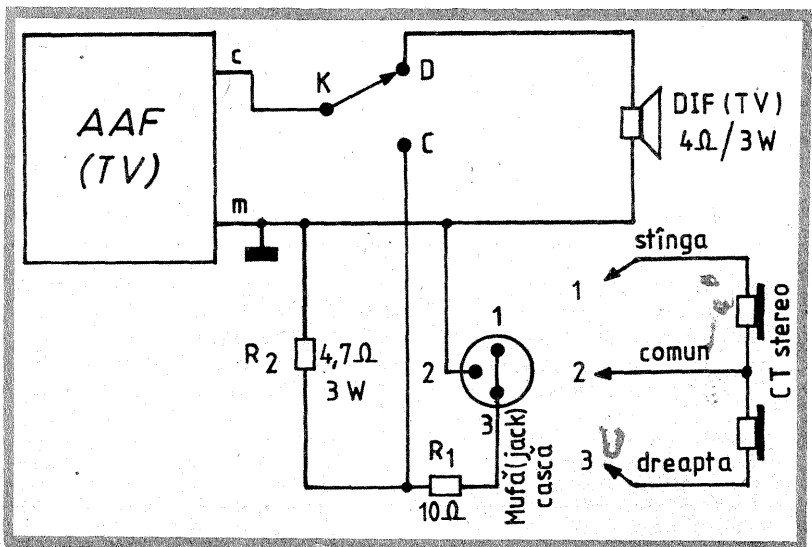
dirijat spre mufa de cască, prin intermediul unei rezistențe de limitare, R₁. În paralel cu mufa de cască se mai montează însă obligatoriu un rezistor R₂, care va „simula” impedanța difuzorului original (se știe, pe de o parte, că amplificatoarele AF nu trebuie lăsate cu ieșirea „în gol”, fără un consumator adaptat, iar pe de altă parte, nu putem conta în acest sens pe grupul R₁ plus cască, în mod normal căștile avînd impedanța internă mult mai mare ca difuzoarele, de la zeci de ohmi pînă la cîtiva kilohmi). De exemplu, dacă difuzorul aparatului este de 4Ω / 3 W, îl putem simula foarte bine printr-un rezistor de 4,7Ω / 3 W.

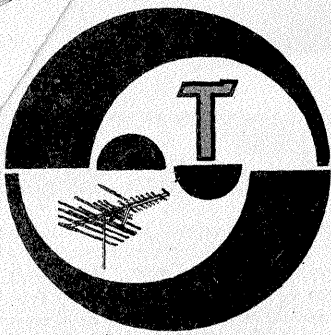
Varianta din figură corespunde unor căști stereo (HI-FI), care în acest caz se leagă în paralel, audiția asigurată fiind, bineînțeles, monofonică.

Comutatorul K și mufa mamă

pentru casca (mufă de microfon sau de tip jack, în funcție de mufa tată de la cordonul căștilor) se vor

monta pe unul din pereții laterali ai televizorului, cu marcarea corespunzătoare a pozițiilor comutatorului.





DRAGOMIRESCU ION — Alexandria

Modificarea amplificatorului de 10 W la care vă referiți, respectiv în-

locuirea tranzistoarelor finale, trebuie făcută respectând tensiunile și curenții admiși de noile tranzistoare.

Modificările amatoricești ale unui produs industrial rar conduc la o optimizare a funcționării acestuia și de cele mai multe ori la defectarea sa.

ION CONSTANTIN — București

IONESCU CEZAR — Roman

Casetofonul B 303 produs „Unitra” reproduce o bandă de frecvență cuprinsă între 60 și 10 000 Hz la o putere de 1 W, cu o neuniformitate de ±2%.

Alimentarea se face din baterii (6 buc. R20) cu 9 V, consumul de curent fiind 150 mA. Etajul preamplifi-

Adresați-vă librăriei „Cartea prin poștă”.

ROMAN ION — jud. Bacău

Verificați consumul de curent pe etajul final (cu un ampermetru) și stabiliți starea acestuia.

Un consum mare de curent va arăta defectarea acestui etaj și se impune înlocuirea sa. Un curent mic va atrage atenția asupra alimentatorului.

Nu deținem schemele solicitate.

DRĂGUȚ SERGIU — Ploiești

Căutați un alt afișaj și refaceți calculatorul.

MATYAS PETRU — jud. Harghita

Scoateți câte 3 spire de la fiecare bobină de acord și reaccordați circuitele.

FEDIUC LIVIU — Brăila

Folosind un cap magnetic cu impedanța mai mică decât impedanța capului original, nivelul semnalului va fi mult mai mic; încercați cu un cap magnetic stereo și legați bobinele în serie. Nu încercați să modificați partea electronică.

CHERCIU ȘTEFAN — Cluj-Napoca

Luați semnal audio de la potențiometrul de volum.

I. M.

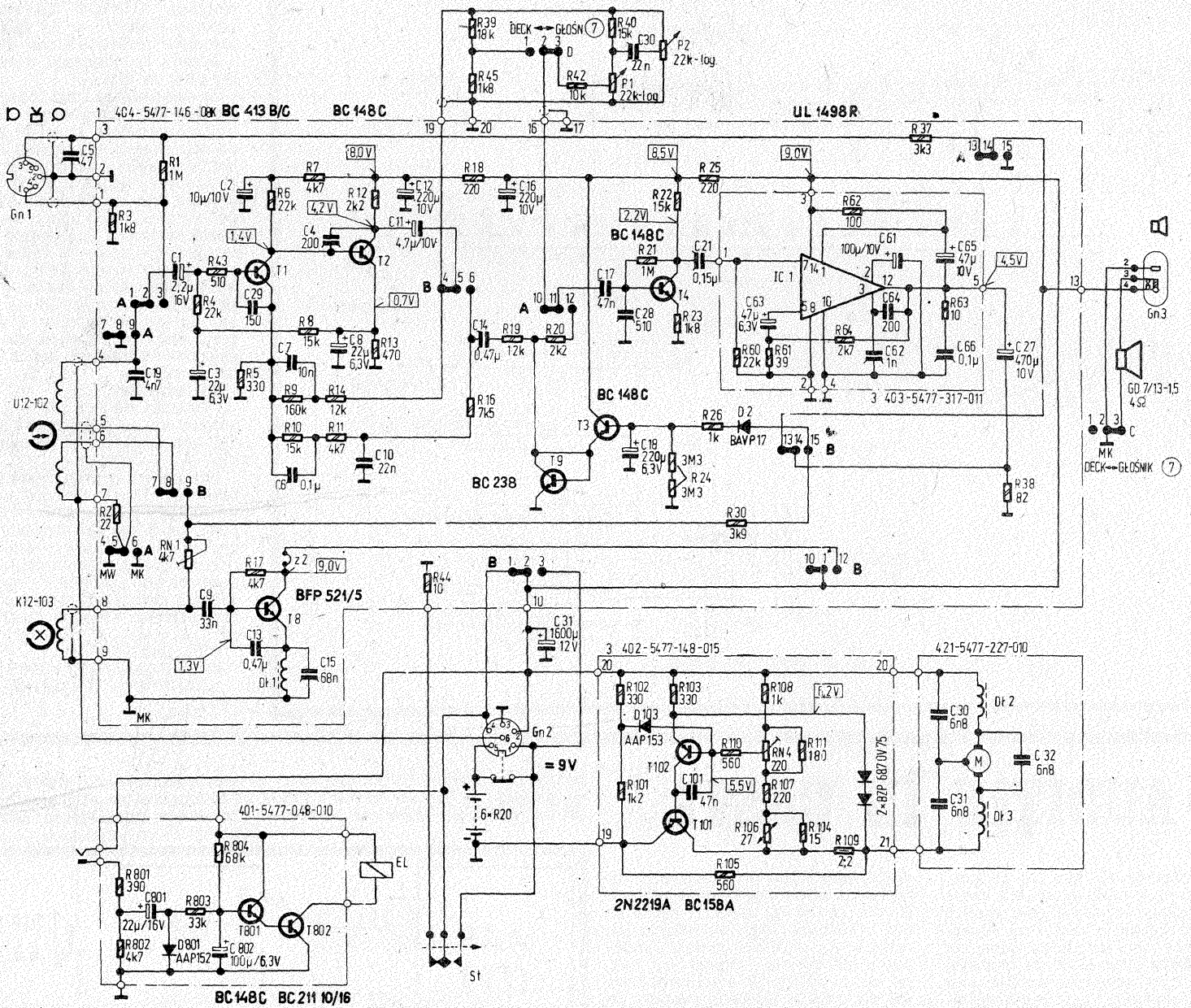
B 303

ator folosește un tranzistor BC413 cu zgomot mic și un tranzistor BC148. Tranzistorul T4 are rol de amplificator în tensiune ce asigură un nivel necesar etajului de putere realizat cu circuitul integrat UL1498. Acest casetofon este prevăzut și cu reglaj automat al nivelului de înregistrare, funcție obținută din D2, T3 și T9.

Tranzistorul T8 este folosit pentru obținerea semnalului de ștergere și premagnetizare. Tranzistoarele T101 și T102 formează etajul de control automat al vitezei de rotație a motorului.

Acest casetofon este dotat și cu sistem de stop automat, funcție asigurată de tranzistoarele T801 și T802.

R	80180232	1R1.803.4804.435	17	6.910	8.7	11.14	12.13	44	16.18.39.45	19	20	42	40. P1.101.102.21.P2.22.34.103.25.26.05.10.30.60.106.107R.4.108.610.4.116.4.109.64	37	63	38				
C	5	19.801	1	3.9802	2.2913	6.7	15	4.8	10	12.11	14	16	31	17.28.18.30	101.21	63	62.64.61	30.31.65.66	27	32



Redactor-șef: ing. IOAN ALBESCU
Redactor-șef adj.: prof. GHEORGHE BADEA
Secretar responsabil de redacție: ing. ILIE MIHĂESCU
Redactor responsabil de număr: fiz. ALEXANDRU MĂRCULESCU

Administrația
Editura Știința

INDEX 44212

CITITORII DIN STRĂINĂTATE SE POT ABONA PRIN „ROMPRESFILATELIA” — SECTORUL EXPORT-IMPORT PRESĂ, P.O. BOX 12-201, TELEFON 10376, PRȘFIR BUCUREȘTI, CALEA GRIVIȚEI NR. 64-66.

Tiparul executat la
Combinatul Poligrafic «Casa Științei»